



الجمهورية الجزائرية الديمقراطية الشعبية  
رقم الترتيب:  
وزارة التعليم العالي والبحث العلمي  
رقم التسلسل:  
جامعة الشهيد حمزة لخضر الوادي  
كلية علوم الطبيعة والحياة  
قسم البيولوجيا

## مذكرة تخرج

لنيل شهادة ماستر أكاديمي  
ميدان: علوم الطبيعة والحياة  
شعبة: علوم بيولوجية  
تخصص: التنوع الحيوي وفسيولوجيا النبات  
الموضوع

مساهمة في دراسة مورفوفسيولوجية وفيتوكيمائية  
لأوراق صنفي الزيتون (*Olea europaea* L.) شمال وسيقواز  
النامية في مناطق جغرافية مختلفة

من إعداد: صفية طواهرية وحية سعيد

نوقشت يوم .... 06/2021 من طرف لجنة المناقشة:

الحفناوي العائز	أستاذ محاضر (ب)	رئيسا	جامعة الوادي
إسماعيل عسيلة	أستاذ محاضر (أ)	مؤطرًا	جامعة الوادي
جهرة علي بوتليليس	أستاذ محاضر (أ)	مناقشًا	جامعة الوادي

الموسم الجامعي: 2020/2021

بِسْمِ اللّٰهِ الرَّحْمٰنِ الرَّحِيْمِ  
الْحٰمِدُ لِلّٰهِ الْعَظِيْمِ

# شكر وتقدير

الحمد لله الذي تتم بنعمته الصالحات والصلاحة والسلام على أشرف الأنبياء نبينا محمد عليه أزكي الصلوات وأسمى التسليم صل الله عليه وسلم. الحمد لله القائل في كتابه (وأشكروا لي ولَا تكُفُّرون) سبحانه الذي أنارنا بالعلم وزيننا بالحلم ويسر ووفق وأuan في إتمام هذه الدراسة فله الحمد والشكر وهو الرحمن المستعان.

وعلِّفنا بالمساعدات التي قدمت حتى يخرج هذا العمل إلى النور نقدم بجزيل الشكر والتقدير والعرفان إلى كل من:

- الأستاذ الفاضل الدكتور: عسيلة إسماعيل، الذي قبل تواضعاً وكرامة الإشراف على هذا العمل نتقدم له بالشكر الوافر والإمتنان الغير منقطع والذي لم يدخل علينا بتوجيهاته وإرشاداته القيمة والثمينة طوال مراحل إنجازنا لهذا العمل المتواضع، ونصائحه القيمة ظاهرة في مذكرتنا.
- إلى أعضاء لجنة المناقشة: الدكتور العائز الحفناوي رئيساً، والدكتور جهرة علي بوتيليس مناقشاً على قبولهم لمناقشة المذكرة وإثرائها بخبراتهم العلمية ومكتسباتهم الثرية والقيمة.
- الأستاذ تواتي السعيد الذي قدم لنا يد العون فله الشكر والتقدير.
- كما نشكر طالبات الدكتوراه غراسيه نورة، علية فاطمة، العايب إبتسام، بوصبيع عايدة.
- ولا يفوتنا توجيه الشكر والتقدير لمسؤولية المخابر بكلية علوم الطبيعة والحياة قويبي سناء والشكر أيضاً موصول لمسؤول مخبر بيولوجيا النبات خنوفة عمر ومسؤول مخبر علم التسمم قدوري عبد الباسط.
- وإلى كل من مد لنا يد العون ولو بكلمة طيبة مشجعة، إلى كل هؤلاء نقول شكرًا جزيلاً.

## إهداء

إلى سر الكيان، نبع الحنان إلى أغلى إنسان إلى من تحت قدميها الجنان، إلى من قد  
وصاني بها الرحمن

أمي الغالية

إلى أغلى إنسان، صدر الحنان، سند الحياة أبي العزيز

رحمه الله وجعل مثواه الجنة

إلى أخوتي الأعزاء وأخواتي العزيزات، إلى الأقارب والصديقات

إلى أساتذتي الأكارم أستاذاتي الكريمات، إلى كل من ساندني ورافقني في مساري  
الدراسي إلى كل من ساعدني وأسعدني

إلى كل من حفظم قلبي ورفقاء دربي

صفية



إهداء

إلى من علماني أبجدية الوجود..

أبي وأمي

إلى من علمني أبجدية الحياة..

جدي رحمه الله

إلى من علموني أبجدية الحب..

إخوتي وأخواتي

إلى من علموني أبجدية البحث عن الحقيقة

صديقاتي

إلى صديقتي في المذكرة

صفية

إلى كل من وسعتهم ذاكرتي ولم تسعهم مذكرتي.

حياة



# الملخص

Résumé

Abstract

### الملخص

بهدف تحديد بعض خصائص التكيف والمحتوى من المواد الفعالة لأوراق صنفي الزيتون *Olea europaea* L. شمال وسيقواز النامية في مناطق جغرافية مختلفة، تمت دراسة عدة معايير مورفوفسيولوجية وفيتوكيميائية لأوراق صنفي الزيتون المأخوذة من مناطق مختلفة من الشرق الجزائري: الوادي، سطيف وباتنة. أظهرت النتائج المتحصل عليها للخصائص المورفوفسيولوجية لأوراق صنفي الزيتون شمال وسيقواز للمناطق الوادي، سطيف وباتنة أن التباين كان عالي المعنوية من حيث مؤشر شكل الورقة (FF) بيضاوية متطاولة لكل من الصنفين شمال وسيقواز على التوالي، في حين كانت الفروقات غير معنوية للمساحة الورقة (LA)، كثافة النسيج الورقي (D)، الوزن النوعي للورقة (SLW)، أيضاً في المساحة النوعية (SLA)، كما بينت نتائج المحتوى من صبغات التمثيل الضوئي وجود تباين غير معنوي في محتوى الأوراق من الكلورو菲لات (Chl a, Chl b, Chl a+b) أيضاً في المحتوى من الكاروتينويدات (Car(x+c)). أوضحت نتائج الخصائص الفيتوكيميائية لأوراق صنفي الزيتون شمال وسيقواز للمناطق الوادي، سطيف وباتنة وجود تباين غير معنوي لكل من محتوى الأوراق من الفينولات الكلية (PPT)، المحتوى من الفلافونويدات (TFC) والمحتوى من التانينات (TTC)، في حين كان التباين جد عالي المعنوية في النشاطية الكابحة للجذر الحر DPPH لمستخلصات أوراق صنفي الزيتون شمال وسيقواز للمناطق الوادي، سطيف وباتنة. على ضوء النتائج المتحصل عليها، فإن أوراق صنفي الزيتون شمال وسيقواز للمناطق الوادي، سطيف وباتنة ذات خصائص مورفوفسيولوجية هامة تمكّنها للتأقلم مع مناطق جغرافية مختلفة، ومن جهة أخرى تعتبر أوراق صنفي الزيتون المدرّسة ذات خصائص فيتوكيميائية هامة يمكن استغلالها كمصدر حيوي للمواد الفعالة ببيولوجيا.

**الكلمات المفتاحية:** أوراق الزيتون *Olea europaea* L., شمال، سيقواز، التكيف، المواد الفعالة.

## Résumé

---

### Résumé

Afin de déterminer des quelques caractéristiques d'adaptation et la teneur en substances bioactives des feuilles des deux cultivars d'olivier *Olea europaea* L. Chemlal et Sigoise développés dans des zones géographiques différentes, plusieurs paramètres morphophysiologiques et phytochimiques ont été étudiés pour les feuilles des deux cultivars d'olivier provenant de différentes régions de l'est algérien : El-Oued, Sétif et Batna. Les résultats obtenus pour les caractéristiques morphophysiologiques des feuilles des deux cultivars d'olivier, Chemlal et Sigoise pour les trois régions étudiées, ont montré que la variance était très significative en termes d'indice de forme foliaire (FF), ovale-allongé pour les deux cultivars respectivement, Chemlal et Sigoise, respectivement ; tandis que les différences n'étaient pas significatives pour la surface foliaire (LA), la densité de tissus foliaire (D), le poids spécifique du feuille (SLW), ainsi que la surface spécifique du feuille (SLA). Concernant la teneur en pigments photosynthétiques, les résultats ont montré une différence non significative pour la teneur des feuilles en chlorophylles (Chl a, Chl b, Chl a+b) également pour la teneur en caroténoïdes (Car x + c). Les résultats des tests phytochimiques des feuilles des deux cultivars d'olivier Chemlal et Sigoise pour les régions : El-Oued, Sétif et Batna ont montré une variation non significative des propriétés de teneur des feuilles en phénols totaux (PPT), teneur en flavonoïdes (TFC) et teneur en tanins (TTC) ; tandis que la variance était très hautement significative pour l'activité inhibitrice des radicaux libres (DPPH) des extraits de feuilles des deux cultivars d'olivier, Chemlal et Sigoise, pour les trois régions étudiées. Sur la base des résultats obtenus, les feuilles des deux cultivars d'olivier Chemlal et Sigoise, des différentes régions étudiées présentent des caractéristiques morphophysiologiques importantes qui leur permettent de s'adapter à différentes zones géographiques. D'autre part, les feuilles des deux variétés d'olivier étudiées ont des propriétés phytochimiques importantes qui peuvent être exploitées comme une biorésource riche en substances bioactives.

**Mots clés :** feuille d'olivier *Olea europaea* L., Chemlal, Sigoise, adaptation, substances bioactives.

# **Abstract**

---

## **Abstract**

In order to determine some adaptation characteristics and the bioactive substances content in the leaves of two olive (*Olea europaea* L.) cultivars Chemlal and Sigoise developed in different geographical areas, several morphophysiological and phytochemical parameters were studied for the leaves of two olive cultivars from different regions of eastern Algeria: El-Oued, Sétif and Batna. The obtained results for the leaves morphophysiological characteristics of the two olive cultivars, Chemlal and Sigoise for the three studied regions, showed that the variance was very significant in terms of leaf form index (FF), oval-elongated for the Chemlal and Sigoise, respectively ; while the differences were not significant for leaf area (LA), leaf tissue density (D), leaf specific weight (SLW), as well as leaf specific area (SLA). Regarding the photosynthetic pigments content, the results showed a non-significant difference for the leaves content in chlorophylls (Chl a, Chl b, Chl a + b), also for the carotenoids (Car x + c) content. The results of the phytochemical tests of the leaves of two olive cultivars Chemlal and Sigoise for the regions: El-Oued, Sétif and Batna showed a non-significant variation in the leaves properties: total phenols content (PPT), flavonoid content (TFC) and tannin content (TTC) ; while the variance was very highly significant for the free radical inhibitory activity (DPPH) of the leaf extracts of Chemlal and Sigoise varieties, for the three studied regions. Based on the obtained results, the leaves of the two olive cultivars Chemlal and Sigoise, from the different studied regions, exhibits important morphophysiological characteristics that allow them to adapt to different geographical areas. On the other hand, the leaves of the two varieties of studied olive tree have important phytochemical properties, which can be exploited as a bioresource rich in bioactive substances.

**Key words:** olive leaf *Olea europaea* L., Chemlal, Sigoise, adaptation, bioactive substances.

# الفهرس

الملخص

فهرس المحتويات

فهرس الأشكال

فهرس الجداول

قائمة الاختصارات

المقدمة

### الجزء النظري

#### الفصل الأول: عموميات حول شجرة الزيتون *Olea europaea* L.

6	..... 1.I. أصل شجرة الزيتون <i>Olea europaea</i> L.
6	..... 2.I التصنيف النباتي
7	..... 3.I التوزيع الجغرافي لشجرة الزيتون
9	..... 4.I أهمية شجرة الزيتون
10	..... 5.I شجرة الزيتون <i>Olea europaea</i> L.
14	..... 6.I مميزات صنفي شجرة الزيتون <i>Olea europaea</i> L. شمال وسيقواز
	<b>الفصل الثاني: أوراق الزيتون <i>Olea europaea</i> L.</b>

19	..... 1.II. مورفولوجيا أوراق الزيتون
19	..... 1.1.II. الشكل الورقي
19	..... 2.1.II. خصائص سطح الورقة
20	..... 2.2.II. فسيولوجيا شجرة الزيتون
20	..... 1.2.II. المتطلبات البيئية
22	..... 2.2.2.II. مقاومة شجرة الزيتون للجفاف
25	..... 4.2.II. التركيب التشريحي لأوراق الزيتون
27	..... 3.II. فيتوكيميا أوراق الزيتون
27	..... 1.3.II. التركيب الكيميائي لأوراق الزيتون
29	..... 2.3.II. المركبات الفعالة في أوراق الزيتون
32	..... 3.3.II. تثمين أوراق الزيتون
33	..... 4.3.II. الاستخدامات العلاجية

### الجزء التطبيقي

#### الفصل الثالث: المواد وطرق الدراسة

37	..... 1.III. المواقع الجغرافية لمناطق الدراسة
----	---

## **فهرس المحتويات**

37 .....	1.1.III . الموقع الجغرافي لمنطقة الوادي.....
37 .....	1.2.III . الموقع الجغرافي لمنطقة سطيف.....
38 .....	1.3.III . الموقع الجغرافي لمنطقة باتنة.....
39 .....	2.III . مواد و طرق الدراسة.....
39 .....	2.1.III . الأدوات، الأجهزة و المحاليل المستعملة.....
40 .....	2.2.III . طرق الدراسة وجمع العينات.....
49 .....	1.III . الدراسة الإحصائية.....
<b>الفصل الرابع: النتائج والمناقشة</b>	
51 .....	1.IV . النتائج.....
51 .....	1.1.IV . المعايير المورفوفسيولوجية لأوراق الزيتون.....
56 .....	2.1.IV . المعايير الفيتوكميائية لأوراق الزيتون.....
62 .....	2. المناقشة.....
62 .....	1.2.IV . الخصائص المورفوفسيولوجية لأوراق الزيتون صنفي شمال وسيقواز.....
63 .....	2.2.IV . الخصائص الفيتوكميائية لصنفي أوراق الزيتون شمال وسيقواز.....
67 .....	خلاصة عامة.....
70 .....	قائمة المراجع.....
83 .....	الملاحق.....

فهرس الأشكال

الصفحة	العنوان	الشكل
08	التوزيع الجغرافي لشجرة الزيتون في العالم	I.1
09	التوزيع الجغرافي لشجرة الزيتون في الجزائر	I.2
11	<i>Olea europaea</i> L.	3.I
14	شجرة الزيتون صنف سيقواز	4.I
15	مميزات مورفولوجية لصنف سيقواز	5.I
16	شجرة الزيتون صنف شمال	6.I
17	مميزات مورفولوجية لصنف شمال	7.I
24	المراحل الفينيولوجية لشجرة الزيتون	1.II
26	صورة بالمجهر الإلكتروني للسطح المحوري لأوراق الزيتون	2.II
26	صورة بالمجهر الإلكتروني للأوراق الصغيرة، للسطح السفلي (Ps, peltées, balances) trichomes والثغور (St، المراحل الأولى من التطور)	3.II
27	قطع لورقة الزيتون	4.II
30	الصيغة الكيميائية لل oleuropein	5.II
31	الصيغة الكيميائية لمختلف أنواع الفلافونويدات	6.II
34	بعض المنتجات المستخلصة من أوراق الزيتون	7.II
37	الموقع الجغرافي لمنطقة الوادي	III.1
38	الموقع الجغرافي لمنطقة سطيف	III.2
38	الموقع الجغرافي لمنطقة باتنة	3.III
40	<i>Olea europaea</i> L.	III.4
43	خطوات تحضير مستخلص أوراق الزيتون	5.III
48	التركيب الكيميائي لجذر DPPH قبل وبعد التفاعل مع الفينولات	6.III

## فهرس الأشكال

<b>51</b>	<i>Olea europeae</i> L. لصنفي أوراق الزيتون شمال وسيقواز في مناطق (الوادي، سطيف وباتنة)	<b>1.IV</b>
<b>52</b>	مساحة الورقة (cm <sup>2</sup> ) LA لأوراق صنفي الزيتون <i>Olea europeae</i> L. شمال وسيقواز في مناطق (الوادي، سطيف وباتنة)	<b>2.IV</b>
<b>53</b>	كثافة النسيج الورقي (D) لأوراق صنفي الزيتون <i>Olea europeae</i> L. شمال وسيقواز في مناطق (الوادي، سطيف وباتنة)	<b>3.IV</b>
<b>54</b>	المساحة النوعية للورقة (SLA) لأوراق صنفي الزيتون <i>Olea europaea</i> L. شمال وسيقواز في مناطق (الوادي، سطيف وباتنة)	<b>4.IV</b>
<b>55</b>	الوزن النوعي للورقة (SLW) لأوراق صنفي الزيتون <i>Olea europeae</i> L. شمال وسيقواز في مناطق (الوادي، سطيف وباتنة)	<b>5.IV</b>
<b>56</b>	محتوى الأوراق من الكلوروفيلات الكلية و الكاروتينoids لأصناف أوراق الزيتون ( <i>Olea europeae</i> L.) شمال وسيقواز في المناطق (الوادي، سطيف وباتنة)	<b>6.IV</b>
<b>57</b>	مردود المستخلصات الميثانولية لأوراق الزيتون <i>Olea europaea</i> L. لصنفي شمال وسيقواز في المناطق (الوادي، سطيف وباتنة)	<b>7.IV</b>
<b>58</b>	المحتوى الإجمالي لعديدات الفينول PPT لأوراق صنفي الزيتون <i>Olea europaea</i> L. شمال وسيقواز في المناطق (الوادي، سطيف وباتنة)	<b>8.IV</b>
<b>59</b>	محتوى الفلافونويدات الكلية TFC لأوراق صنفي الزيتون <i>Olea europaea</i> L. شمال وسيقواز في المناطق (الوادي، سطيف وباتنة)	<b>9.IV</b>
<b>60</b>	المحتوى الإجمالي للتلانينات TTC في أوراق صنفي الزيتون <i>Olea europeae</i> L. شمال وسيقواز في المناطق (الوادي، سطيف وباتنة)	<b>10.IV</b>
<b>61</b>	تبين في القدرة المثبتة إعتمادا على تركيز مستخلصات الميثانولية لأوراق صنفي الزيتون <i>Olea europaea</i> L. شمال وسيقواز في المناطق (الوادي، سطيف وباتنة)	<b>11.IV</b>

## فهرس الجداول

### فهرس الجداول

الصفحة	العنوان	الجدول
21	المعايير الحرارية لشجرة الزيتون	1.II
28	التركيب الكيميائي العالمي لأوراق الزيتون (معبراً عنه بالg لكل 100 g)	2.II
39	الأدوات، الأجهزة، المحاليل و الكواشف المستخدمة	III.1
57	نتائج اختبارات الكشف الفيتوكميائي لأوراق صنفي الزيتون <i>olea europaea L.</i> شمال و سيقواز في مناطق (الوادي، سطيف و باتنة)	1.IV
62	النشاطية المضاد للأكسدة لتشبيط الجذر الحر DPPH للمستخلصات الميثانولية لأوراق صنفي الزيتون شمال و سيقواز للمناطق الوادي، سطيف وباتنة	2.IV

قائمة الاختصارات

$A_0$	: امتصاصية الشاهد	-
<b>AAO</b>	: الفعالية المضادة للأكسدة	-
$A_i$	: امتصاصية العينة المدروسة	-
$b+a)$ <b>Chl</b>	: الكلوروفيل (أ + ب)	-
$a$ <b>Chl</b>	: الكلوروفيل (أ)	-
$b$ <b>Chl</b>	: الكلوروفيل (ب)	-
<b>Car(x+c)</b>	: كاروتينويدات	-
<b>cm</b>	: سنتيمتر	-
<b>cm<sup>2</sup></b>	: سنتيمتر مربع	-
<b>cm<sup>2</sup>/mg</b>	: سنتيمتر <sup>2</sup> /مليغرام	-
<b>DPPH</b>	: 1,1-diphenyl-2-picrylhydrazyl	-
<b>EC/g</b>	: ملي مكافئ كاتشين/غرام	-
<b>EQ/g</b>	: ملي مكافئ كرستين/غرام	-
<b>FF</b>	: شكل الورقة	-
<b>FM</b>	: الوزن الطري	-
<b>IC<sub>50</sub></b>	: التركيز المثبط 50 %	-
<b>IF</b>	: عرض الورقة	-
<b>Km</b>	: كيلومتر	-
<b>Km<sup>2</sup></b>	: كيلومتر مربع	-
<b>LA</b>	: مساحة الورقة	-
<b>LF</b>	: طول الورقة	-
<b>MAT</b>	: محتوى النيتروجين الكلي	-
<b>mg/mg</b>	: ميليغرام / ميليغرام	-
<b>mg/ml</b>	: ميليغرام / مليلتر	-
<b>Ms</b>	: ميليغرام مكافئ حمض الغاليك/غرام مادة جافة	-
<b>EQ/g</b>	: ميليغرام مكافئ كيرستين/غرام	-

## قائمة المختصرات

<b>mg EC/g</b>	-
<b>ml</b>	-
<b>MF</b>	-
<b>MG</b>	-
<b>MS</b>	-
<b>mg/cm<sup>2</sup></b>	-
<b>nm</b>	-
<b>P</b>	-
<b>PPT</b>	-
<b>SLA</b>	-
<b>SLW</b>	-
<b>TFC</b>	-
<b>TTC</b>	-
<b>μg/g MF</b>	-
<b>μg/ml</b>	-
<b>μl</b>	-
<b>%</b>	-
<b>ن = 46</b> : ثنائية الصيغة الصبغية= 46 صبغي	-

# **المقدمة**

شجرة الزيتون *Olea europaea* L. لها انتشار جغرافي كبير في مناطق البحر الأبيض المتوسط منذ آلاف السنين منها المزروعة والبرية (Gharabi, 2018)، تزرع عالمياً في المناطق الاستوائية وشبه الاستوائية (Fereshteh *et al.*, 2020). يتميز التراث الوراثي العالمي للزيتون بتنوع الأصناف (Muzzalupo *et al.*, 2014) ويضم حوالي 30 جنساً و 600 نوعاً، يشمل جنس *Olea* L. أكثر من 30 نوعاً موزعاً في جميع أنحاء العالم (Alireza, 2020). سمح التباين الكبير للمناخات في الجزائر باختيار عدد كبير من الأنواع الجينية للزيتون التي تكيف جيداً مع كل الظروف المناخية (Abdessemed, 2015)، تتركز زراعة الزيتون الجزائري بشكل رئيسي في الجزء الشمالي من البلاد حيث توجد معظم البساتين (80%) في المناطق الجبلية ذات التربة الطينية (Abdessemed, 2017)، وقد زاد هذا المجال بشكل واضح من خلال إنشاء البرنامج الوطني لتنمية الزراعة المكثفة للزيتون في المناطق ما قبل الصحراء الكبرى والصحراء (مسيلة، بسكرة، الوادي ...).

شجرة الزيتون *Olea europaea* L. لها أهمية غذائية، اقتصادية وبيئية. حسب Gomes وأخرون (2012) هناك أكثر من 805 مليون شجرة زيتون حول العالم 98% منها تتركز على سواحل البحر الأبيض المتوسط، تميز المناظر الطبيعية بشكلها المميز وهي شجرة مباركة و مقدسة مذكورة في الكتب السماوية (Breton *et al.*, 2006).

قال تعالى: «﴿أَنَّهُ نُورٌ السَّمَاوَاتِ وَالْأَرْضُ مَثَلُ نُورَةٍ كَمِشْكَوَةٍ فِيهَا مِصْبَاحٌ أَمْصَبَاحٌ فِي رُجَاجَةٍ إِلْرُجَاجَةُ كَانَهَا كَوْكَبٌ دُرْرِيٌّ يُوقَدُ مِنْ شَجَرَةٍ مُبَرَّكَةٍ رَبِّيُّونَةٌ لَا شَرْقِيَّةٌ وَلَا غَرْبِيَّةٌ يَكَادُ رَيْثَهَا يُضَعِّفُ وَلَوْلَمْ تَمْسَسْهُ نَارٌ نُورٌ عَلَى نُورٍ يَهْدِي إِلَهُ لِنُورَةٍ مَنْ يَشَاءُ وَيَضْرُبُ إِلَهُ الْأَمْثَلَ لِلنَّاسِ وَاللهُ بِكُلِّ شَيْءٍ عَلِيمٌ﴾» سورة النور (34-35).

في السنوات الأخيرة، أطلقت الجزائر خطة لتنمية القطاع من أجل زيادة إنتاج الزيتون وزيت الزيتون، يمكن أن تؤدي إلى نتائج إيجابية بمساهمة قطاع الزيتون في مكافحة انبعاث غازات الاحتباس الحراري. بالإضافة إلى ذلك فإن شجرة الزيتون بحكم طول عمرها الاستثنائي وجزئها الهاوائي مع الأوراق مستديمة الخضرة والجزء الهاوائي الذي يحافظ على التربة ويحميها من التعرية والتصرّح في المناطق الصحراوية (Loussert and Brousse, 1978). ونظراً للاهتمام الكبير بمضادات الأكسدة الطبيعية ذات الأصل النباتي لتحمل محل الاصطناعية، تعتبر شجرة الزيتون من بين الأشجار التي تحتوي على أعلى نسبة من مضادات الأكسدة تتركز في الزيت، الثمار والأوراق (Salah *et al.*, 2017).

بالإضافة إلى الزيتون وزيته، لفتت أوراق الزيتون وخصائصها المفيدة المختلفة انتباه العديد من الباحثين مؤخراً و لها استخدامات في طب الأعشاب بهدف الوقاية و علاج عدة أمراض (Nilüfer A, 2020). أظهرت العديد من الدراسات أن أوراق الزيتون تحتوي العديد من المركبات النشطة ببولوجيا ومنها مركب الأوليوروبين الذي يدخل في تركيب مجموعة واسعة من الأدوية المعززة للصحة بما في ذلك الخصائص المضادة للتشنج، المناعة، منبه وقائي للقلب، خافض ضغط الدم وللإفراط السكري، مضاد للالتهابات، تأثيرات مضادة للأكسدة ومضادة للتخرّ (Hassen, 2015) بالإضافة إلى مركب التريتربان كحمض الأولينوليك الذي يستخدم كمادة حافظة (Castellano *et al.*, 2015). كما تستغل أوراق الزيتون كبدائل للنظائر الصناعية والوقود الأحفوري (Gilani, 2010). ركزت الأبحاث أن المركبات الفينولية توجد أكثر في أوراق الزيتون التي تستخدم في العديد من المجالات بما في ذلك المستحضرات الصيدلانية والتجميلية والصناعات الغذائية (De Bock *et al.*, 2013).

بناء على ما سبق سنقدم دراسة مقارنة للخصائص المورفوفسيولوجية والفيتوكييمائية لأوراق صنفي الزيتون *Olea europaea* L. شمال وسيقواز في مناطق الوادي، سطيف و باتنة بهدف تحديد مختلف الفروقات المميزة بين أوراق الصنفين المدروسين للمناطق محل الدراسة. ومن خلال هذا المنطلق نطرح الإشكال التالي:

لله ما مدى تأثير اختلاف الأصناف على مورفوفسيولوجيا وفيتوكييماء أوراق الزيتون؟  
لله ما مدى تأثير اختلاف المناطق على مورفوفسيولوجيا وفيتوكييماء أوراق الزيتون؟  
حيث قسمت دراستنا إلى جزئين:

### ✓ جزء نظري

يشمل فصلين، الفصل الأول تطرقنا إلى عموميات حول شجرة الزيتون *Olea europaea* L.، أما الفصل الثاني مخصص لأوراق الزيتون *Olea europaea* L.

### ✓ جزء تطبيقي

تمحور حول دراسة عملية موجزة في فصلين، فصله الأول أدرجت فيه كافة المواد والطرق المتتبعة كما تم عرض مختلف المعايير المورفوفسيولوجية والفيتوكييمائية لأوراق صنفي الزيتون شمال وسيقواز في المناطق الوادي، سطيف و باتنة، أما الفصل الثاني تطرقنا إلى تحليل النتائج ومناقشتها. كما لخصت جميع النتائج في خلاصة عامة.

# الجزء النظري

# الفصل الأول

عموميات حول شجرة الزيتون

*Olea europaea L.*

**1.I. أصل شجرة الزيتون *Olea europaea* L.**

يرتبط تاريخ وجود شجرة الزيتون ارتباطاً وثيقاً بالحضارات التي نشأت حول حوض البحر الأبيض المتوسط (الإغريق، الفينيقيون، القرطاجيون والإتروسكيون) (Palamarev, 1989).

شجرة الزيتون (*Olea europaea* L.) من أقدم الأنواع النباتية المزروعة في البحر الأبيض المتوسط، والذي يضم 35-40 نوعاً موزعاً على المناطق الاستوائية، جنوب إفريقيا، جنوب آسيا، شرق أستراليا، كاليدونيا الجديدة ونيوزيلندا (Zoray and Hopf, 1993). تمت الزراعة لأول مرة منذ حوالي 3200 إلى 3800 قبل الميلاد وتوجد حالياً دراسات في علم الآثار البيولوجي والجيني تشير إلى أن الفينيقيين في الآونة الأخيرة أدخلوا زراعنة شجرة الزيتون إلى شبه الجزيرة الأيبيرية، ثم طور الرومان زراعة شجرة الزيتون لأن الزيت كان شائعاً جداً في روما. مع الفتوحات العربية تم تعزيز الزراعة وتنوع استيراد أصناف جديدة مما يفسر أهمية شجرة الزيتون في جنوب إسبانيا (Gaussorgues, 2009).

وفقاً ل Artaud (2008) فإن شجرة الزيتون موطنها آسيا الصغرى لكن انتشرت بعد ذلك زراعة أشجار الزيتون في الولايات المتحدة، أمريكا الجنوبية و اليابان.

**2.I. التصنيف النباتي**

تم تسمية النوع *Olea europaea* L. من قبل Linnaeus نسبة لمنطقته الجغرافية وهو النوع الوحيد من حوض البحر الأبيض المتوسط الذي يمثل جنس *Olea*، والتي تحمل الثمار الموجهة للغذاء وتتواجد في المناطق ذات المناخ المتوسطي (Green and Wickens, 1989). بحيث العدد الكبير من الكروموسومات (2n = 46) يعتبر خاصية مميزة لجميع أنواع جنس *Olea* (De la Rosa et al. ) (2003).

التصنيف النباتي لشجرة الزيتون وفقاً لـ (De la Rosa *et al.*, 2003)

Plantae	المملكة:
Tracheobionta	تحت المملكة:
Spermaphytes	الشعبة:
Angiospermes	تحت الشعبة:
Magnoliopsida	القسم:
Asteridae	تحت القسم:
Scrophulariales	الرتبة:
Oleaceae	العائلية:
<i>Olea</i>	الجنس:
<i>Olea europaea</i> L.	النوع:

### I. التوزيع الجغرافي لشجرة الزيتون

#### I.1. التوزيع الجغرافي لشجرة الزيتون في العالم

زراعة شجرة الزيتون منذ القدم ويتزامن امتدادها مع امتداد الحضارات المتعاقبة في حوض البحر الأبيض المتوسط. وفقاً لـ Loussert and Brousse (1978) تعود زراعة شجرة الزيتون إلى عصور ما قبل التاريخ، من بين أقدم آثار أوراق الزيتون التي تم العثور عليها في العصر الحجري القديم على شكل طبقات ورواسب بمنطقة (فيوسين مونتاردينو) بإيطاليا، بالإضافة إلى آثار نواة الزيتون في العصر الحجري الحديث والعصر البرونزي في إسبانيا.

تزرع شجرة الزيتون اليوم في جميع مناطق العالم الواقعة بين دائري عرض  $30^{\circ}$  و  $45^{\circ}$  من نصف الكرة الأرضية لأمريكا الشمالية والجنوبية (كاليفورنيا، المكسيك، البرازيل، الأرجنتين، تشيلي)، في أستراليا و الصين مروراً باليابان وجنوب إفريقيا لدينا حالياً أكثر من 900 مليون شجرة زيتون مزروعة في جميع أنحاء العالم، و ما يقرب 95% من بساتين الزيتون في العالم (Benhayoun et Lazzeri, 2007)

في شمال إفريقيا كانت زراعة شجرة الزيتون موجودة قبل وصول الرومان، لأن البربر كانوا يعرفون كيفية تطعيم أشجار الزيتون (Camps-Fabrer, 1953). ومع ذلك قام الرومان بتوسيع الحقول إلى المناطق الأكثر جفافاً والتي كانت تعتبر حتى ذلك الحين غير متاحة لهذه الزراعة- (Dubur- Jarrige, 2001). بالإضافة إلى ذلك، فإن مجموعة من الآثار الموجودة في تونس والجزائر تشهد على أهمية شجرة الزيتون في الحضارة الرومانية. كما ساهم الاستعمار الفرنسي في انتشار زراعة الزيتون في شمال إفريقيا، مثل بستان الزيتون في صفاقس (تونس)، وسيغ في الجزائر وبساتين الزيتون بين مكناس وفاس في المغرب .(Loussert and Brousse, 1978)



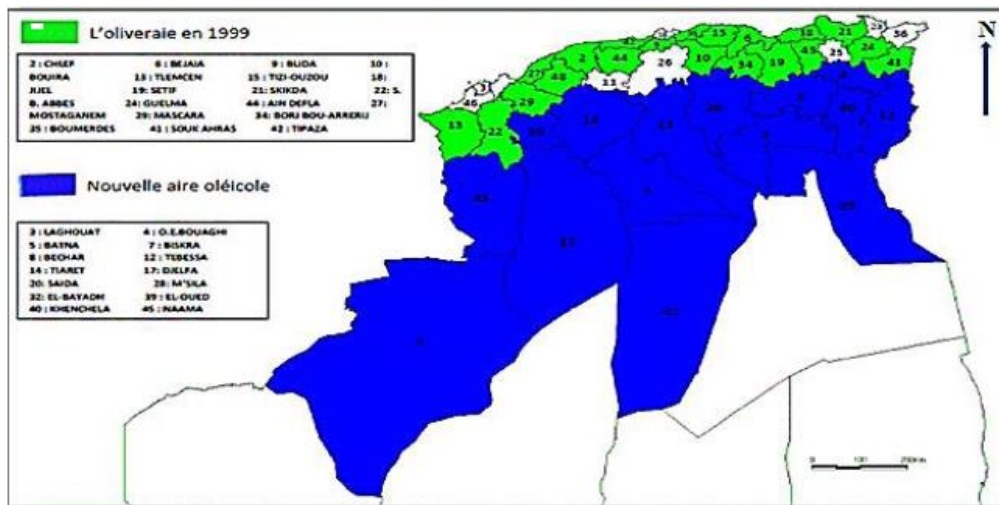
الشكل I.1. التوزيع الجغرافي لشجرة الزيتون في العالم (Onfaa, 2016)

### 3.2.I. التوزيع الجغرافي لشجرة الزيتون في الجزائر

تزرع شجرة الزيتون بشكل رئيسي في المناطق الساحلية من البلاد على مسافة 8 إلى 100 km من البحر الأبيض المتوسط والتي تجد فيها الظروف الملائمة لنموها، قدرت المساحة المزروعة عام 2009 ب 310.000 هكتار والتي كانت موزعة على المناطق الجزائرية كما هو موضح في (الشكل I.2).

توجد بساتين الزيتون الرئيسية والأقدم في مناطق الجبال والتلال التي تغطي مساحة 195000 هكتار، وكذلك في السهول الغربية للبلاد (معسكر، سيج، غليزان ..) وفي الوديان مثل الصومام. وقد زاد

هذا المجال بشكل واضح من خلال إنشاء البرنامج الوطني لتنمية الزراعة المكثفة للزيتون في مناطق السهوب والصحراء (مسيلة، بسكرة، غرداية ...) (Abdessemed, 2016).



الشكل I.2. التوزيع الجغرافي لشجرة الزيتون في الجزائر ([www.itafv.dz](http://www.itafv.dz))

#### I.4. أهمية شجرة الزيتون

##### I.4.1. أهمية شجرة الزيتون في العالم

زراعة شجرة الزيتون لها أهمية كبيرة في منطقة البحر الأبيض المتوسط والتي استخدمت منذ العصور القديمة لإنتاج الزيتون وزيت الزيتون، في الواقع إنه إحدى أهم الأنشطة الزراعية أي تغطي 8 ملايين هكتار ما يقرب من 98% من المحصول والتي توفر 90% من إنتاج زيت الزيتون في العالم. يقدر عدد أشجار الزيتون عالميا بـ 900 مليون شجرة بكثافات تتراوح بين 17 و 400 هكتار (C.O.I., 2015).

##### I.4.2. أهمية شجرة الزيتون في الجزائر

تعتبر شجرة الزيتون في الجزائر من أهم أنواع الثمار في المنطقة التي تمتد على أكثر من ثلث المساحة المخصصة لأشجار محاصيل الفاكهة والتي تقدر ب 34.09%， مع 32 مليون شجرة موزعة على مساحة تبلغ حوالي 328884 هكتار (FAOSTAT, 2013).

وفقاً ل Chaux in Sekour (2012) تتركز زراعة شجرة الزيتون في ثلاثة مناطق رئيسية: الوسط 54% والشرق 29% والغرب 17%. أما الجنوب مع 18000 شجرة (إحصائيات من وزارة

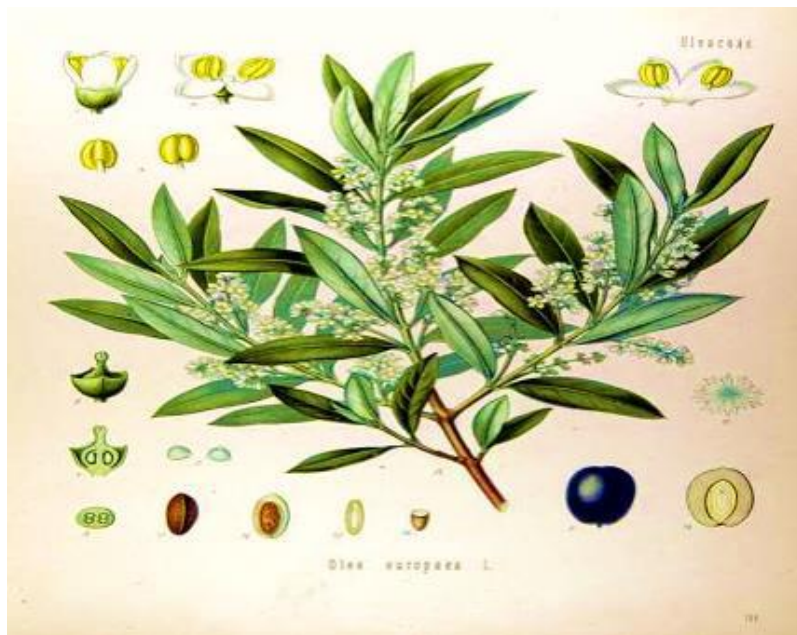
الزراعة، 2005). تعتبر منطقة القبائل الأكثر إنتاجاً للزيتون بنسبة 90%，إما عن طريق التطعيم أو عن طريق زرع الشتلات الطبيعية. هناك أيضاً مناطقان رئيسيتان لإنتاج الزيتون الأوروبي الذي يشكل 40% من الزيتون الجزائري، بشكل رئيسي في منطقة القبائل، مركز ميلوت ومتيبة وشلف (28%)، في منطقة قسنطينة 63% إلى 70% وفي وهران 80% إلى 98%.

### 5.I. شجرة الزيتون *Olea europaea* L.

#### 1.5.I. الوصف النباتي لشجرة الزيتون

شجرة الزيتون من عائلة *oleacea* والتي يمكن أن يصل ارتفاعها إلى 15 متراً لها خشب بني فاتح مع بقع داكنة. ولها عدد كبير من الفروع المنتشرة، متشابكة مع بعضها وشكلها يختلف حسب الظروف المناخية (التعرض للشمس، خصوبة التربة وتتنوعها) نتيجة تكيفها مع الظروف البيئية القاسية (Merah, 2016).

وتعتبر من الأنواع المعمرة التي تنمو في المناطق المعتدلة، تتميز بصلابتها الكبيرة ولديونتها مما يسمح لها بالتطور بشكل مختلف في الظروف البيئية، ويبلغ قطرها من 1.5 إلى 2 m (Loussert et 1977, Brousse, 1977) يتأثر نمو الشجرة بالعديد من العوامل الداخلية والخارجية خصوصاً معدل إنتاج العقد والأوراق وتتوسعها والنمو الأولي (استطالة العقد الداخلية) والنمو الثاني (سماكة البراعم واستطالة الجذر بتوفير الماء ودرجة الحرارة، النشاطات البستانية، الإمكانيات المتنوعة وطريقة التحكم المعتمدة في هذه العوامل تجعل استجابة الشجرة أكثر تعقيداً، ويعتمد هذا أيضاً على التوازنات الهرمونية التي تحكم في كيفية ظهور الأعضاء الجديدة وكيفية نموها (Masmoudi et al., 2015).



(Köhler et al., 1887) *Olea europaea* L. 3.I

## 2.5.I. أجزاء شجرة الزيتون *Olea europaea* L.

### 1.2.5.I. المجموع الجذري

يمتد جذر شجرة الزيتون بين 15-20 cm بعمق يصل إلى 100 cm. بعد ذلك تمتد جذور شجرة الزيتون إلى حد كبير، حتى تتشابك مع أشجار الزيتون المجاورة.

يتم امتصاص الماء والمواد المغذية في المناطق الأصغر سناً من الجذور، المناطق الواقعة خلف قمم الجذور مباشرةً، من خلال الأوبار الماصة. تتجدد الجذور الفتية باستمرار. في الصيف في الظروف الجافة، يبلغ طول الجذور الجانبية الفتية لشجرة زيتون 10 cm (Civantos, 1998).

### 2.2.5.I. الجزء الهوائي

#### 1.2.2.5.I. الجذع

شكله مستقيم دائري، في الجذع يمكن تمييز جزأين، الجزء السفلي أكثر سماكة، على مستوى الأرض (القاعدة)، والجزء العلوي، الذي يبدأ من القاعدة وينقسم إلى فروع. يحدث نمو إضافي للجذع في الربيع، ثم يتبعه توقف في الصيف وينمو مرة أخرى في الخريف (Ghedira, 2008).

## I.2.2.2.5.I الأوراق

حسب Polese (2015) الأوراق دائمة و سميكة، ترتيبها متعاكس على الفرع و يشار إلى أن شكل و حجم الأوراق يختلف اختلافاً كبيراً حسب الصنف، قد تكون بيضاوية أو متراوحة. تختلف أبعاد الورقة من 3 إلى 8 cm طولياً و عرضها من 1 إلى 2.5 cm. ت العمر أوراق الزيتون حوالي ثلات سنوات و تعتبر مكاناً لمختلف التركيبات العضوية الحيوية، و هي مؤشر جيد لتنوع الشجرة و حالتها الصحية (Varille, 1984).

## I.3.2.2.5.I الأزهار

الأزهار في الزيتون نوعين: ذكرية و ختنى، و تختلف نسبة كل منهما إلى الأخرى باختلاف الصنف و العوامل البيئية و تغذية الشجرة.

يتتألف العنقود الذهري في الزيتون (نورة عنقودية مركبة) من 8-25 زهرة تخرج من إبط الأوراق المقابلة على نورات عمرها سنة واحدة، الزهرة الكاملة (الختنى) لها صيغة زهرية بسيطة للغاية: 4 سبلات، 4 بتلات، 2 سداة، 2 كرابيل ( $4S + 4P + 2E + 2C$ ) و تتكون من كأس يتكون من 4 أوراق كاسية ملتحمة و توهج أنبوبى الشكل ناتج عن التحام الأوراق التويجية الأربع و يوجد في أعلىه أربعة أسنان تدل على عدد البتلات، إلى الداخل منها توجد سداتين (عضو التذكير) و يحتل المركز مبيض لونه أبيض رصاصي يعلوه قلم قصير و سميكة ينتهي بمسم عريض، في حين تتكون الزهرة المذكورة من المحيطات الثلاثة الأولى و يختزل فيها المبيض، و المبيض يتكون من حجرين في كل منها يوجد بويضتين و تتفتح و تتمو بويضة واحدة لتكون الجنين فيما تختفي البوopies الثلاثة الأخرى (Martin et al., 1994).

## I.4.2.2.5.I الثمار

الزيتون عبارة عن ثمرة صغيرة ذات شكل بيضاوي إلى كروي تحوي بذرة واحدة، و حسب Fantanazza (1988) تتكون من ثلاثة أنسجة رئيسية:

- الطبقة الخارجية Epicarpe: و هي جلدية رقيقة، و تمثل 1.5% إلى 2% من الوزن الإجمالي للثمرة.
- الطبقة الوسطى Mésocarpe: سميكة لحمية غنية بالعصاراة، و تمثل 65% إلى 83% من إجمالي وزن الثمرة.

- الطبقة الداخلية **Endocarpe**: سميكة خشبية قاسية تحيط بالبذرة، و تمثل 13 إلى 30% من إجمالي وزن الثمرة.

الزيت: يمثل 15 إلى 30% من الوزن الكلي للثمرة.

عندما تنضج الثمرة، يكون الزيتون أسود أو أرجواني مسود أو مائل إلى الحمراء و في كثير من الحالات، يتم حصادها في وقت مبكر (María et José, 2013).

#### 5.2.2.5.I

حسب (Halfaoui et Kana, 2002) فإن البذرة تأخذ شكل الثمرة و صفاتها للتفرقة بين أصناف الزيتون، هذه الصفات تقوم على أساس شكل النواة و بناء سطحها الخارجي. و لكن في البذرة أو الجنين، يتزامن مع تكوين الثمرة تشكل البوبيضة التي تتطور لتشكيل الجنين الذي يحتل حجم البذرة بالكامل تقريباً. الغطاء المنوي المشتق من الغلاف يمثل النسيج الرئيسي للبوبيضة، فهو رقيق و صلب. يكون الجنين مستقيماً و يظهر بنية نموذجية: فلقتين، جذير وريشه. يقع الجذير نحو الطرف السفلي للمحور الجنيني ويتافق مع نظام الجذر.

#### 6.2.2.5.I

يمكن تمييز نوعين من الفروع التي تتكون منها شجرة الزيتون منها: الرئيسية (تبداً مباشرة من الجذع، تحدد شكل الشجرة و تطور الغطاء النباتي) والفروع الثانوية (تنتطور بشكل رئيسي، تفرع العديد من الفروع لتشكيل تاج الشجرة). تنتج الفروع من البراعم التي عمرها عام واحد، و يكون الإنتاج النباتي من العام السابق، و الفرع الذي لا يوجد دائماً يكون مزود بأوراق قليلة وبراعم مبكرة، تميل إلى الإنتاج في براعم أخرى في العام التالي، حيث يكون على قاعدة الشجرة أو على الفروع الأم. الفروع المختلطة أقل نشاطاً، في جزء منها يعطي البراعم منتجات خشبية، بينما يتميز البعض الآخر إلى الثمار. تكون البراعم إما قمية، إبطية أو عرضية فتسمى قمية أو طرفية، وتلك الموجودة في النهايات المرستيمية تسبب استطاله في محاور الأوراق. وعرضية تلك التي تتشكل على الأوراق و في نقاط غير محددة، تسود البراعم الإبطية في شجرة الزيتون. ومع ذلك تم العثور على براعم عرضية في أجزاء مختلفة من الشجرة، والتي من خلالها يتم تطوير الفروع التي تقوم بإعادة بناء الفروع وبالتالي زيادة حجم الشجرة. أما الباقيات تظهر القليل من النشاط المثير (María et José, 2013).

6.I. مميزات صنفي شجرة الزيتون *Olea europaea* L. شمال وسيقواز

## 1.6.I. مورفولوجيا شجرة الزيتون صنف سيقواز (Sigoise)

صنف سيقواز (زيتون التل أو زيتون تلمسان) أصله من سهل Sig الذي يمثل 25% من بساتين أشجار الزيتون في الجزائر، يستعمل لإنتاج زيتون المائدة و زيت الزيتون، معدل مردوده يقدر ب 18 إلى 22%.

أوراقها متطاولة بيضاوية رمحية الشكل عرضها متوسط ، أزهارها قليلة متوسطة الطول، الثمار بيضاوية مختلفة بعض الشيء بقمة مدبة و قاعدة مبتورة سوداء خلال النضج الكامل، النواة بيضاوية قمتها مدبة بقاعدة دائرية (Mendil et Sebti, 2006).



الشكل I.4. شجرة الزيتون صنف سيقواز (MENDIL et SEBAL., 2006)

# Sigoise

## Caractères morphologiques



### ● ARBRE

Vigueur :	moyenne
Port :	dressé
Densité du feuillage :	moyenne
Longueur des entre-noeuds :	moyen



### ● FEUILLE

Forme :	elliptique lancéolée
Longueur :	longue
Largeur :	moyenne
Courbure longitudinale du limbe :	plan



### ● INFLORESCENCE

Longueur :	moyenne
Nombre de fleurs :	faible



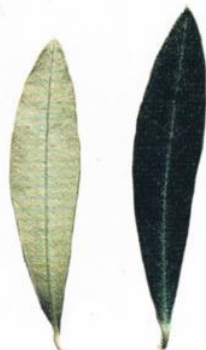
### ● FRUIT

Poids :	faible
Forme :	ovoïde
Symétrie :	legère asymétrique
Position du diamètre transversal maximal :	centrale
Sommet :	pointu
Base :	tronquée
Mamelon :	absent
Présence Lenticelles :	nombreuses
Dimension Lenticelle :	petites
Début de la véraison :	uniformément
Couleur en pleine maturation :	noire



### ● ENDOCARPE

Poids :	moyen
Forme :	elliptique
Symétrie : A	asymétrique
Symétrie : B	symétrique
Position du diamètre max :	centrale
Sommet :	pointue
Base :	arrondie
Surface :	lisse
Nombre de sillons fibrovasculaires :	moyen
Distribution sillons fibrovasculaires :	uniforme
Extrémité du sommet :	avec mucron



الشكل I.5.I. مميزات مورفولوجية لصنف سيقواز (MENDIL et SEBAI., 2006)

## 2.6.I. مورفولوجيا صنف شجرة الزيتون شمال (Chemlal)

شجرة زيتون صنف شمال هي شجرة محلية أوراقها رمحية قوية. إن دخولها إلى الإنتاج جيد نظراً لإزهارها المبكر، نضجها المتأخر وإنتاجها الوفير. هذا الصنف يتكيف مع البيئة القاحلة والمنتجة .(Cheravier, 1948). تزن نواة ثمرة شمال 54% من وزن ثمرة الزيتون (NFM, 2015).



الشكل I. شجرة الزيتون صنف شمال (MENDIL et SEBAI., 2006)

# Chemlal

## Caractères morphologiques



### ● ARBRE

Vigueur :	forte
Port :	dressé
Densité du feuillage :	moyenne
Longueur des entre-noeuds :	moyen



### ● FEUILLE

Forme :	elliptique lancéolée
Longueur :	moyenne
Largeur :	moyenne
Courbure longitudinale du limbe :	plan



### ● INFLORESCENCE

Longueur :	moyenne
Nombre de fleurs :	moyen



### ● FRUIT

Poids :	faible
Forme :	allongée
Symétrie :	asymétrique
Position du diamètre transversal maximal :	centrale
Sommet :	pointu
Base :	arrondie
Mamelon :	absent
Présence Lenticelles :	nombreuses
Dimension Lenticelle :	petites
Début de la véraison :	uniformément
Couleur en pleine maturation :	noire



### ● ENDOCARPE

Poids :	moyen
Forme :	elliptique
Symétrie : A	léger asymétrique
Symétrie : B	symétrique
Position du diamètre max :	centrale
Sommet :	pointu
Base :	arrondie
Surface :	lisse
Nombre de sillons fibrovasculaires :	moyen
Distribution sillons fibrovasculaires :	uniforme
Extrémité du sommet :	avec mucron



الشكل 7.I. مميزات مورفولوجية لصنف شمال (MENDIL et SEBAI., 2006)

# الفصل الثاني

أوراق الزيتون

*Olea europaea* L.

## 1.II. مورفولوجيا أوراق الزيتون

### 1.1.II. الشكل الورقي

الأوراق بسيطة وجدية سميكة، ويمكن أن تتساقط، لديها قمة تتناقص تدريجيا نحو القاعدة إلى سويقات قصيرة، حواف كاملة وتعكس على وجه غير محوري. ضيقه ومتطاولة بأبعاد متغيرة طولها 5 سم وعرضها من 1 إلى 1.5 cm (Rombi *et al.*, 2015).

الأوراق ترتيبها متعاكس على الفروع والأغصان، عديمة الرائحة ولاذعة، تتعدد بمقدار الثلث كل ثلاثة سنوات، وتحول إلى اللون الأصفر وتتساقط بشكل كبير في الصيف (Anginot and Isler., 2003).

### 2.1.II. خصائص سطح الورقة

الجانب العلوي للورقة أخضر داكن أو أخضر رمادي أملس ولامع، مغطى بشرة سميكة، الوجه السفلي لونه فاتح مطلي باللون الفضي خاصة على طول الجزء الأوسط والعروق الجانبية الرئيسية أسفل الشعيرات الصغيرة التي يمكن أن تحتفظ بأقل كمية من الرطوبة، وهذا الأخير قابل للفصل والخدش (Rombi *et al.*, 2015).

تتميز أوراق الزيتون بنظام الحماية الخاص بها من حرارة الصيف. يحدث التبخر من خلال الوجه السفلي للأوراق حيث توجد الطبقات، الأعضاء المكونة للتغور الميكروسكوبية، والتي تكون بشرة الورقة والشعيرات الصغيرة التي تغطيها. عندما يكون الهواء رطبًا، ترفع الشعيرات ويخرج بخار الماء، عندما يجف الهواء تسد الشعيرات فتحات الطبقة، وبالتالي تمنع عملية النتح (Bolmont *et al.*, 2015).

### 3.1.II. الكتلة الحيوية لأوراق الزيتون

بالإضافة إلى الزيت والزيتون كمنتجات رئيسية، صناعة الزيتون تنتج كميات كبيرة من المنتجات الثانوية مثل أوراق الزيتون (10% من الوزن الكلي للزيتون) والثلث (Brahmi *et al.* 2012). يتساقط من شجرة الزيتون معدل 25Kg من الأوراق والأغصان سنويًا أي 15 مليون طن في جميع أنحاء العالم (Nefzaoui, 1991). لذلك أصبح تثمين أوراق الزيتون المتولدة بكميات كبيرة ضرورة لتحسين أرباح قطاع الزيتون.

**2.II. فسيولوجيا شجرة الزيتون****1.2.II. المتطلبات البيئية**

تتميز شجرة الزيتون بصفات مقاومة للظروف البيئية القاسية، ولكن عندما يتم تلبية احتياجاتها فإنها تصبح واحدة من أكثر الأنواع إنتاجية.

**1.1.2.II. المناخ**

وفقاً لـ PAGNOL (1975)، يمثل المناخ المناسب لشجرة الزيتون في فصل الشتاء وهو موسم الأمطار، فإن مقاومة شجرة الزيتون للبرودة تختلف حسب مرحلة الإنبات في فصل الشتاء تقاوم عند درجة الحرارة (-8 إلى -10 درجة مئوية)، ولكن عند 0 إلى 1 درجة مئوية يمكن أن يحدث الضرر في مرحلة الإزهار ودرجة الحرارة تحت الصفر لعدة أيام متتالية قد تؤدي إلى عدم النمو. عند 35 إلى 38 درجة مئوية يتوقف النمو، وعند 40 درجة مئوية وما فوق يسبب أضرار الحروق على مستوى المجموع الخضري ويمكن أن يتسبب في تساقط الثمار، تتأثر شجرة الزيتون بالجفاف الشديد الموجود في المناطق الشبه رطبة مما يجعل الثمار يتعرض للأضرار قبل النضوج (PNTTA, 2003).

**2.1.2.II. الإضاءة**

تحتاج شجرة الزيتون للتعرض الجيد للشمس، فإن الشجيرات المعرضة للشمس تقدم أفضل منتوج للزيتون، الضوء عامل حاسم أثناء الإزهار لأن تطور الأزهار يحتاج توفر كمية كافية من الإضاءة (Daoudi, 1994).

**3.1.2.II. الرياح**

يجب اختيار المكان المناسب لزراعة أشجار الزيتون بعيداً مناطق هبوب الرياح الشديدة والتيارات الهوائية، كما ينصح بإقامة مصدات الرياح فقط إذا لزم الأمر (مثلاً شجرة السرو) في المناطق المعرضة للرياح لتخفييف من آثار الرياح القوية وحماية نطاق الزيتون (Jourj et al., 2008).

## 4.1.2.II التربة

تحمل شجرة الزيتون الأرضي ذات التربة القلوية والحمضية حيث يتراوح الرقم المهيروجيني بين pH 6.5-8.2)، كما تحمل نسبة ضعيفة من الملوحة التي تصل مقاومتها 2g في كل لتر ماء. تتلائم مع معظم أنواع التربةشرط توفر كمية المياه اللازمة وأن تكون جيدة الصرف، كما تحمل نسبة ارتفاع كربونات الكالسيوم الفعالة.

وتعتبر من الأشجار قليلة المتطلبات تجاه التربة وتعتبر بالشجرة المتحملة للتربة الفقيرة إذ يفضل الزراعة في التربة الخفيفة جيدة الصرف (التربة الرملية الطينية) لتفادي التعرض للأمراض الفطرية، والتربة السليمة الخفيفة والأرضي الكلسي العميق (Jourj *et al.*, 2008).

## 5.1.2.II درجة الحرارة

يمكن لشجرة الزيتون أن تحمل درجات الحرارة في حدود  ${}^{\circ}\text{C}$  8- وهي ليست حساسة لدرجات الحرارة المرتفعة ( ${}^{\circ}\text{C}$  40+) وهذا عند توفر كمية المياه اللازمة (Bendi, 2016)، وهذا ما يوضحه الجدول (1.II).

## الجدول 1.II. المتطلبات الحرارية لشجرة الزيتون (Sebai, 2007)

درجة الحرارة	مراحل التطور
-10 $^{\circ}\text{C}$ - -12 $^{\circ}\text{C}$	السبات الشتوي
-5 $^{\circ}\text{C}$ - -7 $^{\circ}\text{C}$	الخروج من السبات
9 $^{\circ}\text{C}$ - 10 $^{\circ}\text{C}$	عدم وجود انبات
14 $^{\circ}\text{C}$ - 15 $^{\circ}\text{C}$	نمو النورات
18 $^{\circ}\text{C}$ - 19 $^{\circ}\text{C}$	الإزهار
21 $^{\circ}\text{C}$ - 22 $^{\circ}\text{C}$	الخصيب
35 $^{\circ}\text{C}$ - 38 $^{\circ}\text{C}$	توقف النمو
40 $^{\circ}\text{C}$ <	خطر الاصابة بحرائق

## 6.1.2.II. التساقط

يسمح تساقط الأمطار في فصل الشتاء للترابة بتخزين المياه، وتساعد أمطار الخريف في سبتمبر وأكتوبر على نمو ونضج الثمار (kattar *et al.*, 2001) كما يجب أن يكون هطول الأمطار أكبر من 400 mm، ويجب أن لا تكون فترات جفاف أطول من 30-45 يوماً ولا فيضانات لفترة طويلة، والزيادة المفرطة في الثاج يحدث ضرر للشجرة إذ يسبب تساقط الأوراق ويقطع أغصان الأشجار والأزهار وعدم نمو الثمار (C.O.I., 2007).

## 2.2.II. مقاومة شجرة الزيتون للجفاف

شجرة الزيتون مقاومة لفترات الجفاف بفضل نظام الجذر المتكيف وتنظيم عملية التركيب الضوئي، في الواقع نظام التطور الجانبي الخاص بالجذور عميق نسبياً (من 1.25 مترًا إلى 1.80 مترًا). ومع ذلك فإن امتداد الجذر يقتصر على المتر الأول من التربة فهناك جذور تسمح بتغذية الشجرة في حالة الجفاف. ومن أجل الحد من المنافسة المائية بين أشجار الزيتون فإن التباعد بين الأشجار أقل أهمية في المناطق الجافة مقارنة بالأشجار في المناطق المروية.

من ناحية أخرى تنمو جذور أشجار الزيتون المروية بالتنقيط في الطبقات السطحية الواقعة تحت عمق (40 إلى 60cm). جذور شجرة الزيتون قادرة على ممارسة قوة صرف تصل إلى 25 bars على التربة لاستخراج المياه، فإن معظم الأشجار المثمرة تقصر على صرف يصل إلى 15 bars (1999- Xiloyannis *et al.*). على عكس الأشجار المثمرة تفضل شجرة الزيتون بقائها ونموها.

تفسر المقاومة الكبيرة للجفاف بشكل أساسي بقدرة تورم أجزاء الورقة عن طريق التعديل التناضحي، وبالتالي يمكن أن تفقد الأوراق ما يصل إلى 60% من المياه المخزنة، عندما تكون إمكانات ماء الورقة أقل من 9 bars ، فإن شجرة الزيتون تبطئ نشاطها الضوئي مما يعيق الإثمار والنمو. إذا كان ماء الأوراق أقل من 70 bars ، فإن شجرة الزيتون تمنع تماماً تبادل الغازات من خلال ثغورها. تقلل شجرة الزيتون بشكل كبير من نشاطها في التمثيل الضوئي و فقد الماء من خلال تقليل عملية النتح .(Intervention de Josep, 2019)

## 3.2.II. دورة حياة شجرة الزيتون

شجرة الزيتون تكون مرتبطة بالظروف المناخية خلال الدورة السنوية والتي تكيف على حسب المنطقة الخاصة بها (Lousert and Brousse, 1978). وفقاً لـ Boulouha (1995) تتميز الدورة البيولوجية لشجرة الزيتون بتدخل اثنان من الوظائف الفسيولوجية المختلفة:

- الإزهار والإثمار يتجلّى العام الأول على الأغصان البالغة من العمر سنة واحدة.
- النمو الخضري للفروع الجديدة التي تظهر على الأغصان التي يبلغ عمرها سنة واحدة أو عدة سنوات مختلفة وهذا ما يوضحه (الشكل II.1).

**مرحلة النمو الشتوي:** فترة الراحة حسب Lousert et Brousse (1978) خلال الشتاء من شهر نوفمبر إلى فيفري، إذ تحتاج بعض أصناف شجرة الزيتون إلى الراحة الشتوية للإزهار والثمار بشكل طبيعي، بالإضافة إلى ذلك فإن في هذه المرحلة تكون الأوراق دائمية الخضرة والتي تمنعها من الدخول في مرحلة نصف راحة، خلال هذه الفترة تقوم الشجرة بتجديد احتياطاتها وتراكم كمية معينة من الرطوبة اللازمة لنمو البراعم (Daoudi, 1994).

**مرحلة النمو الربيعي:** ظهور براعم طرفية جديدة وفتح البراعم الإبطية الأخيرة المتمايزة، فتعطي إما الخشب (براعم صغيرة) أو أزهار، توجد ثلاثة مراحل تؤدي إلى تكوين الأزهار:

يتم بدء الإزهار في شجرة الزيتون بين شهري ديسمبر وفيفري (Ouksili, 1983)، ويتم تعريف التمايز الذهري على أنه مجموعة التغييرات المورفولوجية التي يخضع لها المرستيم أثناء تحوله إلى زهرة أو نورة.

وفقاً لـ Morettini (1950) تمايز الأزهار قبل 40 إلى 60 يوماً من الإزهار، أي حوالي منتصف شهر مارس، تاريخ تمايز الأزهار يعتمد على طبيعة الصنف (مبكراً أو متاخراً).

وأخيراً تبدأ بالإزهار بمجرد أن تتمايز، لكن في الفترة الأكثر نشاطاً تحدث بعد ذلك تتمثل في الانقسام الاختزالي ونضج الخلايا التناسلية الذي يؤدي إلى خروج برم العذبة، الري والأمطار قبل الإزهار يحسن عدد الأزهار في كل نورة وعدد الأزهار بعد أن يمر الإزهار إلى فترة التلقيح.

**التلقيح:** يكون التلقيح أنيموفيلي (anémophile) في شجرة الزيتون و يتم إذا كان الملحق في حدود 30 متراً من الصنف المراد تلقيحه.

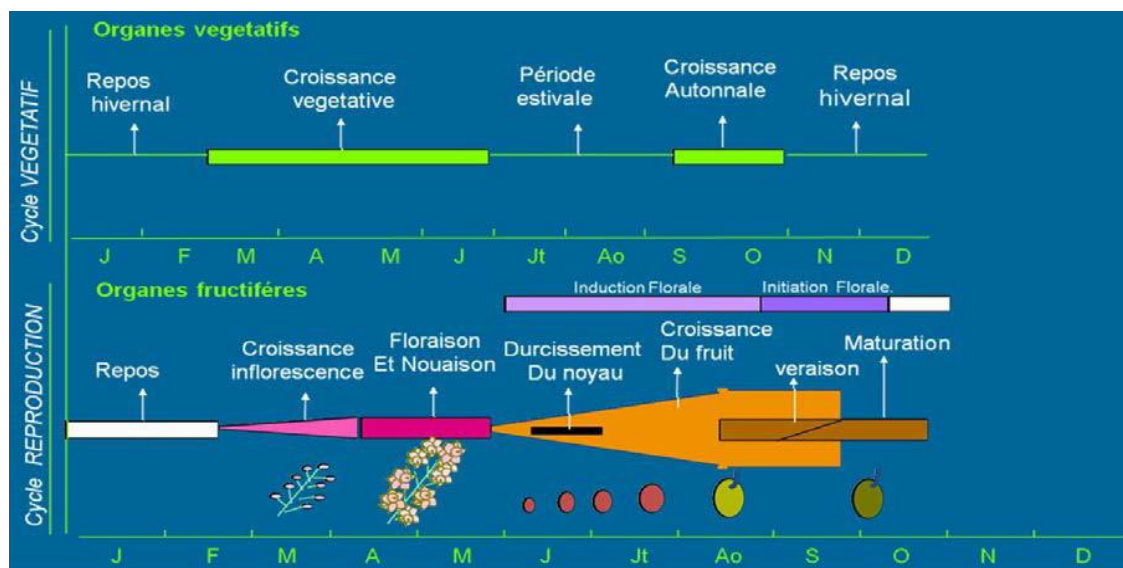
**الإخضاب:** يحدث الإخضاب نتيجة اندماج النواة التناسلية الذكرية والأنثوية لتكوين البويضة إذا كان عدد الأزهار المخصبة يتراوح من 1 إلى 5%， ثم يتم الحصول على محصول جيد (Nouri, 1994).

**تكوين الثمار:** بعد الإخضاب يتطور المبيض ويكبر لتكوين الثمرة، وهذا يتوافق مع ظهور الثمار الصغيرة بعد سقوط البتلات. وفقاً ل Villemeur et Dosba (1997)، شجرة الزيتون في حالة الإزهار القوي تتحول 500000 زهرة لكل شجرة بـ 1% إلى 2% إلى الثمار.

**الانخفاض الفسيولوجي:** يبدأ الانخفاض الفسيولوجي في شهر جوان والذي يمكن أن تتساقط فيه العديد من الثمار، وهو مفيد لأنه يشكل إضاءة طبيعية، يمكنها أن تؤثر على 50% من الثمار المتكونة وهي من الثمار الغير مكتملة للإخضاب.

**النضج:** هو عملية فسيولوجية بيوكيميائية تحدث في نهاية الدورة الخضرية السنوية لشجرة الزيتون، في هذه المرحلة يكون الزيتون غني بالزيت (Lousert and Brousse, 1978). كما تعتمد مدة النضج بشكل أساسي على تنوع الظروف المناخية المحلية (مبكراً أو متأخراً)، الارتفاع و الري. حيث أن فترة النضج خاصية وراثية ومع ذلك تتحكم فيها العوامل البيئية .

**النمو الخضري:** شجرة الزيتون تنمو في الظروف الممطرة أثناء دورة نمو ثانية، تبدأ الفترة الأولى من شهر مارس حتى بداية شهر جوان وال فترة الثانية في سبتمبر ويتوقف في نهاية نوفمبر (Poli, 1986).



الشكل 1.II. المراحل الفينولوجية لشجرة الزيتون (Girona, 2001)

#### 4.2.II التركيب التشريحي لأوراق الزيتون

تتكون الأوراق من خلايا ذات أحجام وأشكال مختلفة مثل جميع الكائنات الحية اعتماداً على الأنسجة (الأنسجة الموصلة، والأنسجة الداعمة) التي تتنمي إليها (البشرة، الثغور، الأنظمة الموصلة، البرانشيم، المرستيم.... إلخ).

ت تكون أوراق الزيتون من الخارج إلى الداخل من خلال:

#### الтриكومات Les trichomes

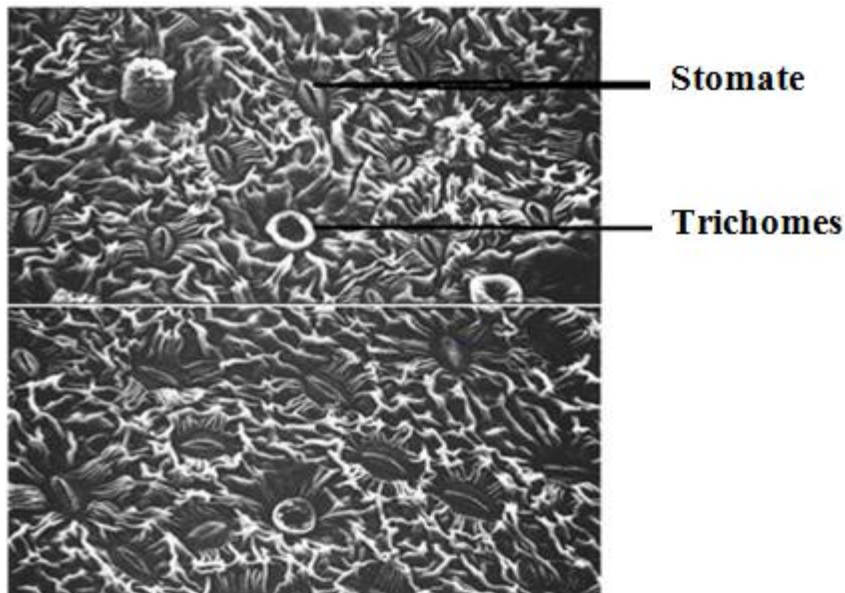
يساعد في الحفاظ على الطبقة الخارجية في مكانها وبالتالي تقليل النتح عن طريق تقليل اضطراب الهواء على سطح الورقة (Hopkins, 2003). التريكومات تشكل قشور وتشكل طبقة واقية سميكة (Rapport et al., 2016).

#### الثغور Les Stomates

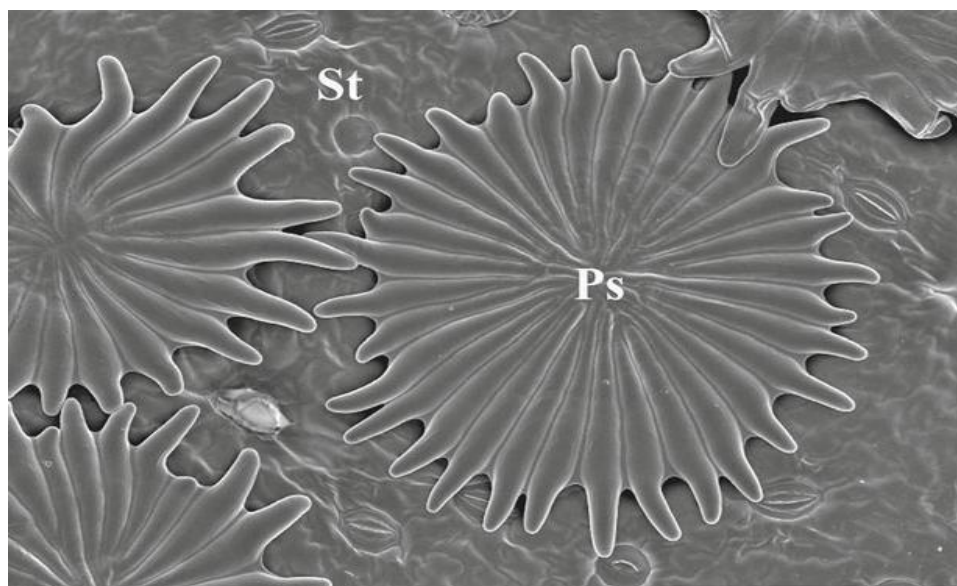
ت تكون الثغور من خلتين كبيرتين حارستين تحتويان على البلاستيدات الخضراء و تفتحان وتغلقان لتنظيم تبادل الغازات بين الداخل والخارج، ويعتمد شكلها وتوزيعها على حسب النوع (Suty, 2014). تغلق الثغور مما يمنع نتح النبات ويسمح له بالاحتفاظ بالماء الذي يتكون منه (Schmidely, 2008).

استخدام الثغور من قبل النباتات لتبادل الغازات حسب بيئتها، ويدخل الهواء المحظى على ثاني أكسيد الكربون والأكسجين من خلال فتح الثغور، لاستخدامه في التمثيل الضوئي والتنفس، الثغور مسؤولة عن فقدان الماء في الأوراق من خلال عملية النتح 95% - 90% (Steudle, 2002).

تظهر الثغور الموجودة في السطح المحوري بالأشكال التالية:



الشكل II.2. صورة بالمجهر الإلكتروني للسطح المحوري لأوراق الزيتون (Sanz, 1993)



الشكل II.3. صورة بالمجهر الإلكتروني للأوراق الصغيرة، للسطح السفلي (trichomes ) والثغور (St، المراحل الأولى من التطور) (Rapport et al., 2016) و التغور (Ps، peltées، ) والثغور (balances

البشرة

تتكون البشرة من خلية خالية من الكلورو فيل، وهي تحمي الأنسجة الأساسية، تتم تغطية البشرة في الأجزاء الهوائية بطبقة واقية وتتخصص بعض خلايا البشرة في تكوين التغور أو وبر النسج ( Sutu,

2014). تحمي البشرة النبات من الجفاف بفضل إفراز مادة دهنية غير نفوذة وتنظم تبادل الغازات بفضل تمایز خلايا معينة وهي التغور (Prat, 2007).

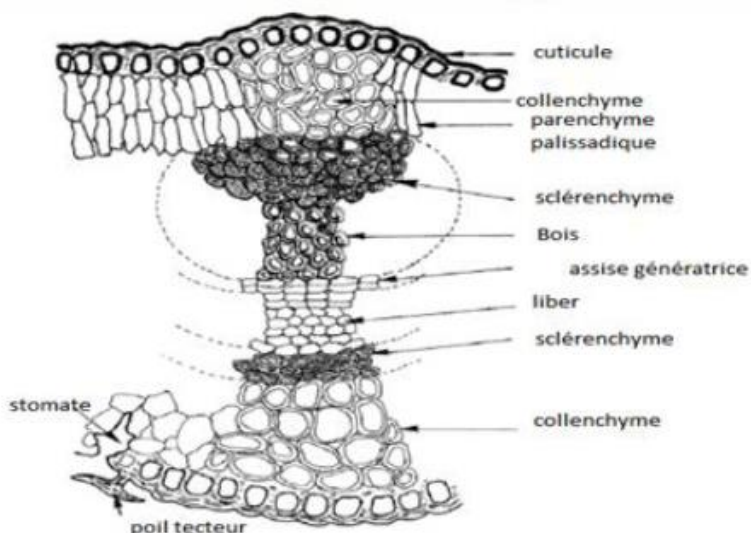
هناك نوعان من الأدمة: البشرة العلوية والأخرى السفلية:

#### ✓ البشرة العلوية

البشرة العلوية لامعة وجدية لإبطاء التبخر قدر الإمكان، وبالتالي فهي تلتقط الطاقة الشمسية لعملية التركيب الضوئي وإنتاج الكربوهيدرات التي تغذي الشجرة (Courboulex, 2016).

#### ✓ البشرة السفلية

الطبقة السفلية مغطاة بوبر النسيج الذي يلتقط الرطوبة و يجعلها متاحة للثغور (Courboulex, 2016).



الشكل II.4. مقطع لورقة الزيتون (Faurie, 2011)

### 3.II. فيتوكيمياء أوراق الزيتون

#### 1.3.II. التركيب الكيميائي لأوراق الزيتون

يختلف التركيب الكيميائي للأوراق والأغصان باختلاف العديد من العوامل (النوع، الظروف المناخية، وقت الحصاد، خصائص الخشب، عمر الشجرة ... إلخ)، بشكل عام تبلغ المادة الجافة (MS) للأوراق الخضراء حوالي 50% إلى 58%， ويترافق محتوى النيتروجين الكلي (MAT) للأوراق من 9

إلى 13%، في حين أن الأغصان بالكاد تتجاوز 5 إلى 6%， ذوبان النيتروجين منخفض بين 8 و 14%， حسب نسبة الخشب محتوى الدهون (MG) أعلى من محتوى النواة ويتراوح من 5 إلى 7%， لكن محتوى مكونات الجدار خاصة للجذور مرتفع بإستمرار من 18 إلى 20% (Ghedira, 2008).

الأوراق غنية بالكريبوهيدرات بشكل خاص، كما تتكون المادة العضوية عن طريق البروتينات والدهون وحيدة وعديدة البلمرة الفينولية (مثل التаниنات) وبشكل رئيسي عديدة السكريات (مثل السليولوز والهيميسيلولوز)، محتوى البروتين منخفض في أوراق الزيتون، كما يوضح الجدول (II.2) أن تركيز الحديد في أوراق الزيتون من أكثر التراكيب المعدنية وفرة 273 g/Kg (Aouidi, 2012).

**الجدول II.2.** التركيب الكيميائي لأوراق الزيتون (معبراً عنه بوحدة الـ g لكل 100 g) (Fathia,

Composition (en %)	Boudhrioua et al. 2009	Erbay et Icier, 2009	Martin-Garcia et al. 2006	Garcia-Gomez et al. 2003	Fegeros et al. 1995
Eau	46,2-49,7 a	49,8 a	41,4 a	nd	44,0 a
Protéines	5,0-7,6 a	5,4 a	7,0 b	nd	nd
Lipides	1,0-1,3 a	6,5 a	3,2 b	6,2 b	nd
Minéraux	2,8-4,4 a	3,6 a	16,2 b	26,6 b	9,2 b
Carbohydrates	37,1-42,5 a	27,5 a	nd	nd	nd
Fibres brutes	nd	7,0 a	nd	nd	18,0 b
Cellulose	nd	nd	nd	19,3 b	11,4 b
Hémicellulose	nd	nd	nd	25,4 b	13,3 b
Lignin	nd	nd	nd	30,4 b	14,2 b
Polyphénols totaux	1,3-2,3 b	nd	2,5 b	nd	nd
Tannins solubles	nd	nd	nd	nd	0,3 b
Tannins condenses	nd	nd	0,8 b	nd	1,0 b

**a** : correspond aux valeurs exprimées par rapport à la masse fraîche des feuilles d'olivier.

**b** : correspond aux valeurs exprimées par rapport à la masse sèche des feuilles d'olivier.

**nd** : valeur non déterminée

## 2.3.II. المركبات الفعالة في أوراق الزيتون

## 1.2.3.II. عديدات الفينول

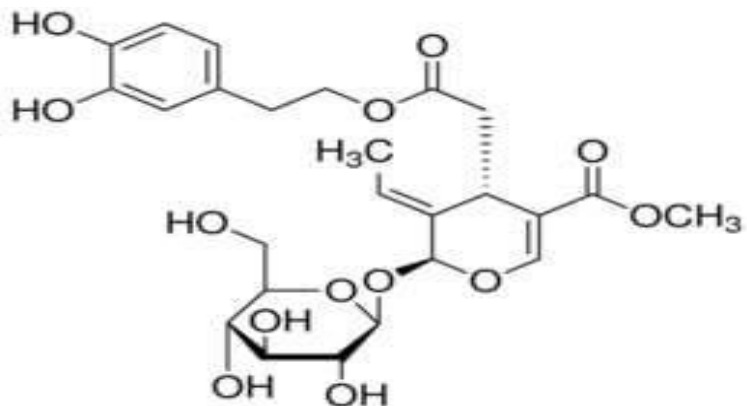
الفينولات عبارة عن مركبات كيميائية ثانوية لعملية التركيب الضوئي للنبات (نواتج الأيض الثانوي) والتي يمكن أن تترافق في مناطق معينة من الأعضاء النباتية مثل الأوراق والفاكه والجذور والسيقان كمجموعة كبيرة من المواد الكيميائية النشطة بيولوجيا، لديهم وظائف بيولوجية متنوعة (Prithviraj, 2019).

يُعرف النظام الغذائي المتوسطي بفوائده الصحية لاحتوائه على كمية كبيرة من مادة البوليفينول التي تتوارد في الفواكه، الخضروات، البذور الزيتية وزيت الزيتون.

يتم إنتاج زيت الزيتون البكر الممتاز من ثمرة شجرة الزيتون المعروفة تصنيفيا باسم *Olea europaea L.*، غني بالبوليفينول والمعروف بمضادات الأكسدة. ومع ذلك تحتوي أوراق الزيتون على كمية بوليفينول أعلى من زيت الزيتون. على سبيل المثال، كمية oleuropein (وهو المركب الفينولي الأكثر تواجدا في شجرة الزيتون)، وهي أكبر كمية من المركبات الفينول الوفيرة تتراوح من 0.005% و 0.12% في زيت الزيتون بينما في أوراق الزيتون تتراوح بين 1% و 14%.

بالنسبة لشجرة الزيتون، بوليفينول الزيتون هو نتيجة لتفاعل العوامل الممرضة والاستجابة لاصابات الحشرات. هناك خمس مجموعات من المركبات الفينولية المحددة في شجرة الزيتون :

oleuropeosides flavones, flavonols, flavan-3-ols, substituted phenols .(Partrica,2015 ) (tyrosol, hydroxytyrosol, vanillin, vanillic acid, caffeic acid)

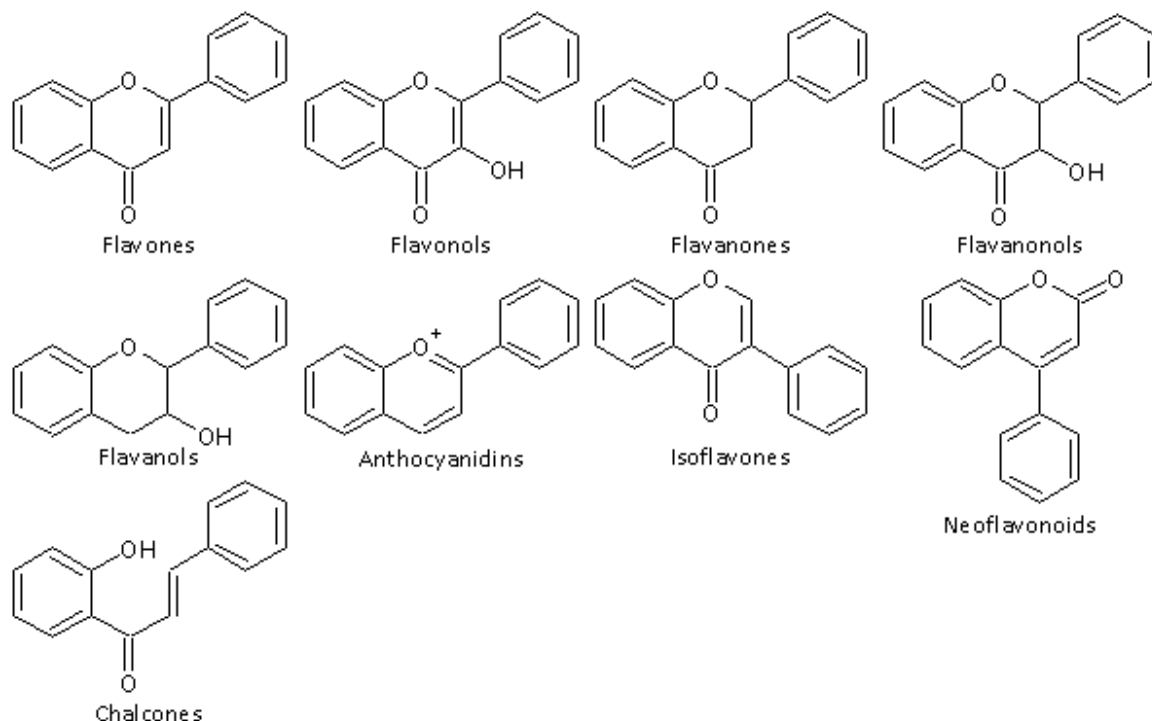


الشكل II.5. الصيغة الكيميائية لل Oleuropein (Patrica, 2015)

### 2.2.3.II. الفلافونويات

مركبات الفلافونويد هي مواد فينولية تتواجد على نطاق واسع في مختلف الأنسجة النباتية، وهي المسئولة عن الخصائص الحسية للأطعمة والمشروبات المستقاة من النباتات، وخاصة خصائص اللون والطعم. كما أنها تساهم في الخصائص الغذائية للفواكه والخضروات. مركبات الفلافونويد هي مواد فينولية هيدروكسيلية لها بنية بنزو-بيتا-بيرون ويتم تصنيعها بواسطة النباتات استجابةً للعدوى، تحتوي مركبات الفلافونويد على العديد من التأثيرات البيوكيميائية ومضادات الأكسدة المرتبطة بأمراض مختلفة مثل السرطان ومرض الزهايمير وتصلب الشرايين وما إلى ذلك، وحتى الآن تم التعرف على أكثر من 4000 نوع من مركبات الفلافونويد (Fernandez, 2006).

تتواجد الفلافونويات على شكل glycosides ومشتقات ميثلة. في النباتات تكون مركبات الفلافونويد aglycones (أي الفلافونويد بدون سكر ملتصق) في مجموعة متنوعة من الأشكال الهيكلية. التركيب الكيميائي الأساسي للفلافونويد هو هيكل عظمي من ثلثي فينيل البروبان، يحتوي على خمسة عشر ذرة كربون في نواتها الأولية: حلقتان من ستة ذرات مرتبطة بوحدة كربون ثلاثية والتي قد تكون أو لا تكون جزءاً من حلقة ثالثة. بشكل أساسي حلقيّ benzene (الحلقة A و B) مرتبطة ببعضها البعض من خلال الحلقة الثالثة من pyrene الحلقة غير المتجانسة المحتوية على الأكسجين. لذلك يُشار إلى هذا الهيكل أيضاً باسم C6-C3-C6 المسمى A و B و C (Prithviraj, 2019).



**الشكل II.** الصيغ الكيميائية لمختلف أنواع الفلافونويدات (Prithviraj, 2019)

### Tanins 3.2.3.II

التانينات عبارة عن مركبات فينولية قابلة للذوبان في الماء وذات وزن جزيئي بين 500 و 3000 دالتون، بالإضافة إلى الخصائص المعروفة للفينولات، فلها القدرة على ترسيب القلويدات والجيلاتين والبروتينات (Peronny, 2005).

يوجد في النباتات الراقية مجموعتين من التانينات على حسب الاختلافات الهيكيلية:

التانينات القابلة للتحلل في الماء والتانينات الغير قابلة للتحلل في الماء (Fiorucci, 2006).

#### - التانينات الذوابة في الماء Tanins hydrolysables

وهي تتكون من جزء كربوهيدرات يتم فيه أسترة الحمض "حمض الغاليك" أو أحد هذه المشتقات pyrogalliques et (acide éllagique, acide m-digallique) ومن هنا جاء اسم (d'ellagitanins). يتم تحللها بسهولة كيميائياً أو إنزيمياً. التانينات gallique و Elagic هي سمة من سمات كاسيات البذور ثنائية الفلقة (Bruneton, 2009).

### - التаниنات الغير ذوابة في الماء (proanthocyanidines) Tanins condensés

تنتج عن بلمرة الجزيئات الأولية للفلافانات (flavan ol-4, flavan diol -3, flavans ol-3). تسمى أيضا Proanthocyanidols catechiques و التعرف عليها في جميع المجموعات النباتية، بما في ذلك عاريات البذور والسراسخ (Bruneton, 2009).

#### 4.2.3.II مضادات الأكسدة

شجرة الزيتون (*Olea europaea L.*) شجرة نموذجية، المحتوى الكيميائي يجعل أوراق الزيتون واحدة من أكثر الأوراق مضادات الأكسدة الطبيعية القوية (triterpenes, chalcones, flavonoids) (Dragana et al., 2014) وهذا النشاط هو أفضل ما يميز مادة البوليفينول، خاصة مركبات الفلافونويد لها دور كاسحات ممتازة للأنواع الأكسجينية النشطة (-O<sub>2</sub><sup>•</sup>, NO<sup>•</sup>, HO<sup>•</sup>, H<sub>2</sub>O<sub>2</sub>) من الجزيئات الحيوية مثل البروتينات الدهنية والبروتينات والأحماض النوويـة قليلة النوكليوتيدات (DNA و RNA) التي تمت دراستها التي تقلل الإجهاد التأكسدي فيما يتعلق مباشرة مع الأمراض المزمنة مثل أمراض القلب، الأوعية الدموية، مختلف السرطانـات، الأمراض العصبية إضافة إلى الشيخوخة (Quideau et al., 2011)

#### 3.3.II تثمين أوراق الزيتون

تاريجيا كانت أوراق الزيتون موجهة بالكامل نحو طعام الحيوان ومع ذلك فهي تستخدم أيضاً في طب الأعشاب التقليدي لعلاج أمراض معينة، ومع تطور التكنولوجيا وتحسين المعرفة تم توسيع وتتوسيع مجالات استخدام أوراق الزيتون من خلال المجالات التالية:

#### 1.3.3.II الدواء

توفر أوراق الزيتون على شكل أوراق مجففة، مسحوق، كبسولات، أو مستخلصات، استخلاص المركبات الفينولية وخاصة l'oleeuropéine، إنتاج Hydroxytyrosol، استخلاص المركبات terpéniques، استخلاص Sterols والكحولات الدهنية، استخلاص Tocophérol Sanchez-Avila et al., 2009 ; Somova et al., ) Mannitol واستخلاص Flavonoides (2003).

### 2.3.3.II. مستحضرات التجميل

تستخدم أوراق الزيتون كعنصر في صياغة الكثير من مستحضرات التجميل و الحماية من الإشعاع و مقاومة الشيخوخة التي تتميز بها الأوراق و منتجات أخرى مثل الصابون والكريمات، تركيبة واقية كاستخدام المستخلص لتحسين إذابة الإيكوبين (Tadashi, 2006 ; Thomas et al., 2006).

### 3.3.3.II. الغذاء

وجدت أوراق الزيتون أيضاً في صناعة الأغذية التي تستخدم بشكل رئيسي لتحسين جودة الطعام والحفظ عليه مثل اللحوم و زيتون المائدة و الزيوت كما تستخدم لطعام الأغنام والماعز، النشاط المضاد للبكتيريا توضع أوراق الزيتون على لحم الديك الرومي المخزن عند  $8 \pm 2$  درجة مئوية لتحسين جودة لحومه، إضافة إلى حمض Oleonic الذي يستخدم للزيت و تستخدم للمشروبات الصحية للإنسان و يستعمل مسحوق الأوراق في شاي الأعشاب (Yanez et al., 2004).

### 4.3.3.II. الكيمياء

استخدام هيدروبيروكسيد من أوراق الزيتون لتسجيل ملاحظات اللون الأخضر، كما أن هناك طرق أخرى لتنمية أوراق الزيتون تم عرضها مؤخراً تتعلق بمجال مكافحة التلوث وصناعة الحديد (Ben Akacha et Gargouri, 2009).

### 4.3.II. الاستخدامات العلاجية

تستخدم أوراق الزيتون لارتفاع ضغط الدم المعتمد لأنها تعتبر مصدراً لمضادات الأكسدة، و يستخدم مستخلص الأوراق كعامل مساعد في أنماط خفيفة من مرض السكري (أثناء الحمل أو في حالات السمنة) (Visioli et al., 2002). كما تم استخدامها على نطاق واسع كعلاج الحمى وأمراض أخرى مثل الملاريا. تمتلك الأوراق أيضاً خصائص مضادة للالتهابات ونقص سكر الدم ونقص الكوليسترول، ومضادة للفيروسات و السرطان، مضادة للميكروبات ضد بعض الكائنات الحية الدقيقة مثل البكتيريا والفطريات و الميكوبلازم (Ghanbari et al., 2012).



الشكل II. بعض المنتجات المستخلصة من أوراق الزيتون (Fathia, 2012)

# **الجزء التطبيقي**

# **الفصل الثالث**

**المواد وطرق الدراسة**

### 1.III. المواقع الجغرافية لمناطق الدراسة

#### 1.1.III. الموقع الجغرافي لمنطقة الوادي

تقع ولاية الوادي في الجنوب الشرقي الجزائري، الحدود الشمالية تنتهي عند الشطوط المالحة الشمالية، وهي شط ملغي و شط مروانة، أما جنوبا فتمتد المنطقة في أعمق العرق الشرقي الكبير حتى منطقة ورقلة، و من الشرق تصل الوادي إلى الشطوط المالحة للجمهورية التونسية و هما شط الجريد و شط الغرسة، أما غربا فتنتهي عند الأراضي المنبسطة لمنطقة وادي رieg و منطقة تقرت (2007). (Halis,

تقع هذه المنطقة على بعد Km 560 جنوب شرق العاصمة، و Km 350 غرب قابس (تونس)، ترتفع هذه المنطقة الرملية على مساحة  $4458080 \text{ km}^2$ ، حيث تتميز بوجود الرمال المجاورة تصل حتى 100 m أحيانا في الارتفاع. تقع الوادي على ارتفاع متوسط بـ 20m تحت مستوى سطح البحر (D.P.A.T., 2005). و تتميز بمناخ جاف، صيف حار، و شتاء معتدل (Thamma, 2007).



الشكل III.1. الموقع الجغرافي لمنطقة الوادي (<https://www.earth.google.com/2021>)

#### 1.2.III. الموقع الجغرافي لمنطقة سطيف

تحتل ولاية سطيف مساحة  $6504 \text{ km}^2$ ، أي 0.27% من الأراضي الوطنية. تقع على بعد 300 Km شرق العاصمة. تقع في منطقة الهضاب العليا، يحدها من الشمال ولاية بجاية وجيجل ومن الجنوب ولاية المسيلة وباتنة من الشرق ولهم ميلة ومن الغرب برج بوعريريج (Khaled, 2014).



**الشكل 2.** الموقع الجغرافي لمنطقة سطيف (<https://www.earth.google.com/> 2021)

### 1.3.III. الموقع الجغرافي لمنطقة باتنة

تقع ولاية باتنة في الجزء الشرقي الشمالي للجزائر في منطقة الأوراس بين خطى طول  $4^{\circ}$  و  $7^{\circ}$  شرقاً وخط عرض  $35^{\circ}$  و  $36^{\circ}$  شمالاً. تقع على بعد 425Km جنوب شرقى الجزائر العاصمة عند مفترق طرق بسكرة وسطيف وقسنطينة وتبسة.

جغرافيا، تحدها جهة الشمال ولايات أم البواقي وميلة وسطيف، شرقاً ولاية خنشلة، جنوباً ولاية بسكرة و غرباً ولاية المسيلة (Imen, 2012).



**الشكل 3.** الموقع الجغرافي لمنطقة باتنة (<https://www.earth.google.com/> 2021)

**III.2. مواد و طرق الدراسة****III.2.1. الأدوات، الأجهزة و المحاليل المستعملة**

يوضح الجدول التالي قائمة الأدوات، الأجهزة و المحاليل المستعملة في الدراسة:

**III.1. أدوات الدراسة**

الأدوات المستخدمة	المحاليل والكواشف	الآلات
<ul style="list-style-type: none"> <li>- حاضنة Etuve</li> <li>- ميزان حساس</li> <li>- جهاز المطيافية الضوئية (Spectrophotomètre)</li> <li>- مخلط كهربائي - Agitateur</li> <li>Vortex mixe-</li> <li>Pompes Vapeur vide-</li> </ul>	<ul style="list-style-type: none"> <li>- ميثanol</li> <li>- ماء مقطر</li> <li>- حمض الغاليك (Acide gallique)</li> <li>- كربونات الصوديوم (<math>\text{Na}_2\text{CO}_3</math>)</li> <li>- كربونات الكالسيوم (<math>\text{Ca}_2\text{CO}_3</math>)</li> <li>- كاشف Folin Ciocalteau</li> <li>- ثلاثي كلور الحديد (<math>\text{FeCl}_3</math>)</li> <li>- ثلاثي كلوري드 الحديد (<math>\text{FeCl}_3</math>)</li> <li>- ثلاثي كلوريد الألمنيوم</li> <li>- هيدروكسيد الصوديوم Catechin-Quercétin-</li> <li>Acide acétique- HCl</li> <li>Chlorophorm-</li> <li>Vanilin-</li> <li>Acide ascorbique</li> <li>DPPH-</li> </ul>	<ul style="list-style-type: none"> <li>- ببisher</li> <li>- قمع</li> <li>- قطن</li> <li>- أنبوب مدرج</li> <li>- قارورات زجاجية</li> <li>- علب بلاستيك</li> <li>- مقص</li> <li>- حوجلة</li> <li>- أنابيب اختبار</li> <li>- ورق المنيوم</li> <li>- ساحة مجهرية</li> <li>Micropipette- Le cuves- ملعقة Spatul-</li> </ul>

### 2.2.3. طرق الدراسة وجمع العينات

#### 1.2.2.3. المعايير المورفوفسيولوجية المدروسة

- المادة النباتية وجمع العينات المستعملة

تمت الدراسة على أوراق صنفي الزيتون *Olea europaea* L. شمال chemlal و سيقواز segoise المأخوذة من أشجار نامية على مستوى مناطق جغرافية مختلفة في الجزائر: منطقة الوادي، منطقة سطيف ومنطقة باتنة. بحيث جمعت الأوراق الطيرية يوم 10/04/2021 بعد ذلك تم إنتقاء 10 أوراق كعينات دالة من كل صنف من المناطق الثلاث بهدف إجراء القياسات المورفولوجية.

#### 1.2.2.2.3. FF. شكل الورقة

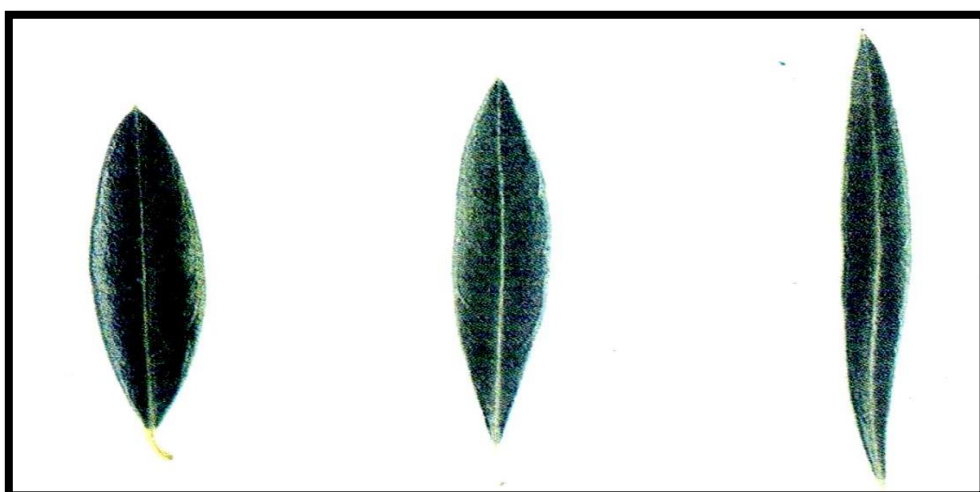
تم تحديد شكل الورقة حسب قيمة مؤشر شكل الورقة وهو نسبة الطول (LF) على العرض (IF) (III.4 (COI, 1997) حيث:

البيضاوية:  $4 > IF / LF$

البيضاوية المتطاولة:  $4 > IF / LF > 6$

المتطاولة:  $IF / LF > 6$

و قد تم قياس طول و عرض الورقة باستخدام ورقة ميليمترية.



بيضاوية

بيضاوية متطاولة

متطاولة

الشكل 4. مختلف أشكال أوراق الزيتون *Olea europaea* L.

**2.2.2.2.III مساحة الورقة LA**

يتم تحديد متوسط مساحة الورقة وفقاً لـ Ahmed et Morsi (1999) عن Shaheen و آخرون

$$\text{cm} ) \text{LA}^2 = 0.53 (\text{FL} \times \text{FL}) + 1.66 \quad (2011)$$

: طول الورقة (cm) **LF**

: عرض الورقة (cm) **lF**

**3.2.2.2.III كثافة النسيج الورقي D**

تم حساب كثافة النسيج الورقي حسب Bacelar و فريقه (2006) و ذلك وفقاً للمعادلة التالية:

$$\text{D (mg/mg)} = (\text{DM}/\text{FM}) \times 1000$$

حيث: **DM**: الوزن الجاف (mg)

: الوزن الطري (mg) **FM**

: كثافة النسيج الورقي (mg/mg) **D**

**2.2.2.4.III المساحة النوعية للورقة (SLA)**

تم الاستفادة من قياسات العينات المقدرة سابقاً لمعيار (LA) أين تم حساب المساحة النوعية للورقة

$$\text{SLA (cm}^2/\text{mg)} = \text{LA} / \text{DM} \quad \text{حسب Bisun (1999) وفقاً للمعادلة التالية:}$$

: المساحة الورقية (cm<sup>2</sup>) **LA**

: الوزن الجاف (mg) **DM**

: المساحة النوعية للورقة (cm<sup>2</sup>/mg) **SLA**

**5.2.2.2.III الوزن النوعي للورقة (SLW)**

تم الاستفادة من قياسات العينات المقدرة سابقاً لمعيار (LA) أين تم حساب الوزن النوعي للورقة

$$\text{SLW} = \text{DM} / \text{LA} \quad \text{حسب Bisun (1999) وفقاً للمعادلة التالية:}$$

حيث أن:

: المساحة الورقية (cm<sup>2</sup>) **LA**

: الوزن الجاف (mg) **DM**

: الوزن النوعي للورقة (mg/cm<sup>2</sup>) **SLW**

**6.2.2.2.III تحديد محتوى الأوراق من الكلوروفيلات و الكاروتينoids (μg/mg FM)**

تم أخذ ثلاثة أوراق من كل صنف من الجزء الوسطي من الشجرة، حيث تم أخذ 50 mg من الجزء الأوسط لورقة الزيتون، و وضع كل عينة في أنبوب و أضفنا لها 10 mg من الميثanol المركز

(99%) مع إضافة كمية صغيرة كربونات الكالسيوم ( $\text{CaCO}_3$ ) ثم أغلق الأنابيب بإحكام بعدها تركت العينات لمدة 48 ساعة في الظلام في درجة حرارة المبرد ( $4^\circ\text{C}$ )، بعد إنتهاء عملية الاستخلاص التام لعينات الأوراق (يظهر النسيج الورقي بلون شفاف) بعدها تم ترشيح المستخلص الميثانولي بمضاعفة ورق الترشيح للحصول على نقاوة عالية (Hartmut, 2001)، ثم تمت قراءة الكثافة الضوئية للعينات بواسطة جهاز المطيافية الضوئية بالأطوال الموجية التالية:

$$\lambda = 665.2 \text{ nm} , \lambda = 652.4 \text{ nm} , \lambda = 470 \text{ nm}$$

ولتقدير كمية الكلورو菲لات تم اعتماد المعادلات التالية حسب: (Lichtenthaler et Buschmann, 2001)

$$\text{Chl a} = 16.72A_{665.2} - 9.16A_{652.4}$$

$$\text{Chl b} = 30.09A_{652.4} - 15.28A_{665.2}$$

$$\text{Total chlorophyll (\mu g/ml)} = 24.93 (A_{652.4}) + 1.44 (A_{665.2})$$

$$\text{Carotenoids (x+c) (\mu g/ml)} = (1000A_{470}) - 1.63\text{Chl a} - 104.96\text{Chl b}) / 221$$

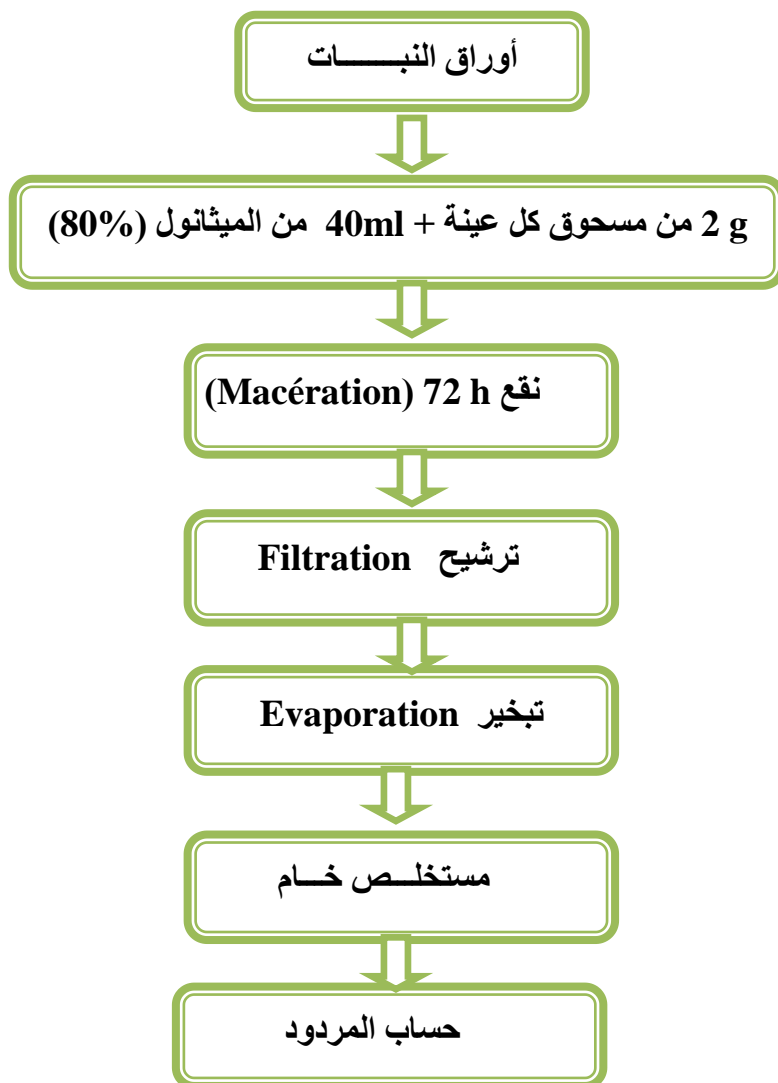
### 3.2.2. III. المعايير الفيتوكيميائية المدرosaة

#### • المادة النباتية وجمع العينات المستعملة

تم جمع عينات أوراق صنفي الزيتون *Olea europaea* L. شمال وسي gioar من مناطق جغرافية مختلفة من الجزائر (الوادي، سطيف، باتنة) يوم 20/05/2019 ثم غسلها بالماء المقطر وتتجفيفها في الظل بطريقة طبيعية بتعریضها للهواء لمدة 15 يوما ثم طحنا باستعمال آلة الطحن الكهربائية حتى الحصول على مسحوق ناعم وتخزينها في أكياس ورقية بعيدا عن الضوء والرطوبة.

#### 1.3.2.2. III. تحضير المستخلص الميثانولي لأوراق الزيتون

تم وزن 2 g من كل مسحوق للعينات النباتية وأضيف له 40 ml من الميثanol (80%) في علب محكمة الغلق. تحفظ العينات لمدة 72 ساعة تحت درجة حرارة الغرفة بعيدة عن الضوء، بعدها تم ترشيح المزيج الناتج تحت نظام السحب الفراغي باستعمال القطن، توضع جميع المستخلصات المتحصل عليها في الحاضنة الكهربائية تحت درجة حرارة  $40^\circ\text{C}$  إلى أن يتbxr الميثanol كلبا و يجف المستخلص تماما، تحفظ هذه المستخلصات في مكان بعيد عن الحرارة و الرطوبة.



الشكل III.5. خطوات تحضير مستخلص أوراق الزيتون

#### III.2.3.2.2.2. تقدير نسبة مردود الاستخلاص

تم حساب المردود لمختلف العينات حسب Taadaouit و آخرون (2012)، وفقاً للعلاقة التالية:

$$\text{المردود \%} = \left( \frac{\text{وزن المستخلص}}{\text{وزن المادة النباتية الجافة}} \right) \times 100$$

### 3.3.2.2.III طرق الكشف الفيتوكيميائي

#### • الكشف عن الفلافونويديات (Reaction à la cyanidine) Les flavonoïdes

يضاف إلى 1 ml من كل مستخلص تضاف إلى  $1\text{ }\mu\text{l}$  من HCl المركز و بعض رقائق المغنزيوم. يتم التأكيد من وجود الفلافونويديات من خلال ظهور لون أحمر أو برتقالي (Belattar et Bellebcir, 2016).

#### • الكشف عن التانينات Les tanins

يضاف إلى 1 ml من المستخلص  $200\text{ }\mu\text{l}$  من  $\text{FeCl}_3$  (1%). ظهور لون أخضر أو أزرق مسود دلالة على وجود التانينات (Karumi et al., 2004).

#### • الكشف عن التربينيات Test de Slakowski :Terpénoïdes

يضاف إلى 5 ml من المستخلص 2 ml من acide sulfurique و 3 ml chloroforme. ظهور حلقة بنية محمرة على جوانب الأنابيب دلالة على وجود التربينيات (Khan et al, 2011).

#### • الكشف عن عديدات الفينولات Les polyphénoles

يضاف إلى 2 ml من المستخلص قطرة من محلول كلوريد الحديد (2%). ظهور اللون الأزرق الداكن أو اللون الأخضر الداكن يدل على وجود عديدات الفينول (Békro et al., 2007).

#### • الكشف عن القلويديات Les alcaloïdes

يضاف إلى 1 ml من المستخلص 5 قطرات من كاشف Wagner. ظهور لونبني دلالة على وجود القلويديات (Majob, 2003).

#### • الكشف عن التريتربينيات والستيرولات Triterpènes et stérols

يتم رج المراشح الناتج عن نقع 5 g من المسحوق في 20 ml chloroforme. يضاف 1 ml من acide sulfurique إلى جدران القارورة. إن ظهور اللون الأخضر الذي يتتحول تدريجياً إلى اللون الأحمر على مستوى نقاط التماس acide sulfurique مع محلول يثبت وجود التريتربينيات و الستيرولات (Khan et al., 2011).

• الكشف عن الصابونيات (test de mousse) Saponosides

يتم نقع g 2 من المسحوق بـ 80 ml من الماء المقطر لبضع دقائق بعد رج المرشح الناتج. ظهور رغوة ثابتة في الأنوب دلالة على وجود الصابونيات (Kalla, 2012).

• الكشف عن الأنتوسيلاتين (Leucoanthocyanes) Anthocyanines

1 ml من المستخلص يضاف له 1 ml alcool chlorhydrique و 1 ml alcool iso-amylque ثم يسخن الخليط 15 لمرة دقيقة. ظهور لون أحمر كرزي أرجواني يدل على وجود، لونبني محمر وجود catechols (Belattar et Bellebcir, 2016).

• الكشف عن Anthraquinones

يتم خلط 5 ml من NH<sub>4</sub>OH (10%) مع 10 ml من المستخلص ثم الرج. ظهور اللون الأرجواني دلالة على وجود Anthraquinones.

• الكشف عن Quinones libres

يضاف للمستخلص بضع قطرات من هيدروكسيد الصوديوم (1%). ظهور لون يتتحول إلى الأصفر، الأحمر أو الأرجواني يدل على وجود quinones libres (Oloyde, 2005).

• الكشف عن المركبات المرجعة (Composés réducteurs (les glycosides))

يتم تسخين خليط مكون من 1 ml من المستخلص و 2ml من الماء المقطر و 20 قطرة من كاشف Fehling عند 90 درجة مئوية في حمام مائي، ويتم الكشف عن اختبار إيجابي من خلال ظهور لون أحمر آجوري (Tlili, 2015).

### 3.3.2.2.III (PPT) التقدير الكمي لعديدات الفينول

تم تحديد المحتوى الكلي للفينولات حسب طريقة Singleton- Rossi (1965) باستخدام كاشف Folin-ciocalteau وهو خليط يتكون من حمض الفسفوتungساتيك ( $H_3PW_{12}O_{40}$ ) وحمض الفوسفوموليبيديك ( $H_3PMo_{12}O_{40}$ ) phosphomolybdique والذى يرجع بواسطة الفينولات إلى أكسيد التنغستين ( $W_8O_{23}$ ) والموليبيدين ( $MO_8O_{30}$ ) ذات اللون الأزرق. اللون الناتج له أقصى شدة الامتصاص عند طول الموجة 765 نانومتر والذى يتاسب مع كمية البوليفينول الموجودة في المستخلص (Georgé *et al.*, 2005; Boizot et Charpentier, 2006).

تم أخذ  $\mu\text{l}$  100 من محلول المستخلص الميثانولي للأوراق ذو التركيز (1mg/ml) وأضيف له  $\mu\text{l}$  500 من كاشف (Folin-ciocalteau) المخفف 10 مرات، ترج الأنابيب لمدة 3 دقائق وبعدها تتم إضافة  $\mu\text{l}$  400 من محلول كربونات الصوديوم  $\text{Na}_2\text{CO}_3$  ذو التركيز (7.5%) ثم ترج الأنابيب جيداً وتحضن في درجة حرارة المخبر بعيداً عن الضوء لمدة 30 دقيقة، تقيس شدة الامتصاصية لمختلف العينات في جهاز المطيافية الضوئية عند طول الموجة 765 نانومتر.

ولرسم منحنى المعايرة تم تحضير محليل مخففة من حمض الغاليك (الفينول المرجعي) المذاب في الميثانول بتركيز مختلف (100 - 20  $\mu\text{g}/\text{ml}$ ).

وبالتالي تم التعبير عن النتائج بوحدة ال mg مكافئ حمض الغاليك لكل g من المستخلص (mg EAG/g)، وذلك من خلال المعادلة الخطية لمنحنى المعايرة لحمض الغاليك، تم تكرار جميع القياسات 3 مرات.

#### 4.3.2.2.III التقدير الكمي للفلافونويات (TFC)

تم تقدير محتوى الفلافونويد بطريقة مناسبة باستخدام ثلاثي كلوريد الألومنيوم وهيدروكسيد الصوديوم، يشكل ثلاثي كلوريد الألومنيوم  $\text{AlCl}_3$  مركباً أصفراء مع مركبات الفلافونويد والصودا، ويشكل مركباً وردياً يمتص في النطاق المرئي عند طول الموجة 510 نانومتر (Zhishen *et al.*, 1999).

يتم تحديد محتوى الفلافونويد لمستخلصات أوراق الزيتون بواسطة طريقة ثلاثة ثلاثي كلوريد الألومنيوم  $\text{AlCl}_3$  (Bahorun, 1998; Djeridane *et al.*, 2006) بإتباع الخطوات التالية:

يضاف 1ml من المستخلص المخفف في الميثانول إلى 1ml من  $\text{AlCl}_3$  (محلول ميثانولي 2%) ثم ترج الأنابيب وتحضن في درجة حرارة المخبر بعيداً عن الضوء لمدة 10 دقائق بعد التفاعل تمت قراءة الامتصاصية في جهاز المطيافية الضوئية عند طول الموجة 430 نانومتر.

ولرسم منحنى المعايرة تم تحضير محليل مخففة من الكيرسيتين (فلافونويد مريري) المذاب في الميثانول بتركيز مختلف (100 - 10  $\mu\text{g}/\text{ml}$ ).

حيث تم التعبير عن النتائج بوحدة ال mg مكافئ من الكيرسيتين لكل g من المستخلص (mg EQ/g) وذلك من خلال المعادلة الخطية لمنحنى المعايرة، تم تكرار جميع القياسات 3 مرات.

**5.3.2.2.III التقدير الكمي للثانيات**

تم تحديد المحتوى الكمي للثانيات من مستخلصات الأوراق وفقاً لطريقة Schofield وآخرون (2001)، يعتمد مبدأ هذا التقدير على تثبيت مجموعة الألديهيد الفانيلين (aldéhydique de vanilline) على الكربون<sub>6</sub> من الدورة A للكاتشين لتشكيل مركب أحمر (chloroforme) الذي يمتص عند طول الموجة 500 نانومتر، وفقاً للخطوات التالية:

تم أخذ  $\mu l$  400 من المستخلص بضاف له ml 3 من محلول الفانيلين (4%)، ثم يضاف 1.5 ml من حمض الهيدروكلوريك المركز، يحضن المزيج لمدة 15 دقيقة، تفاص شدة الامتصاصية عند طول الموجة 500 نانومتر.

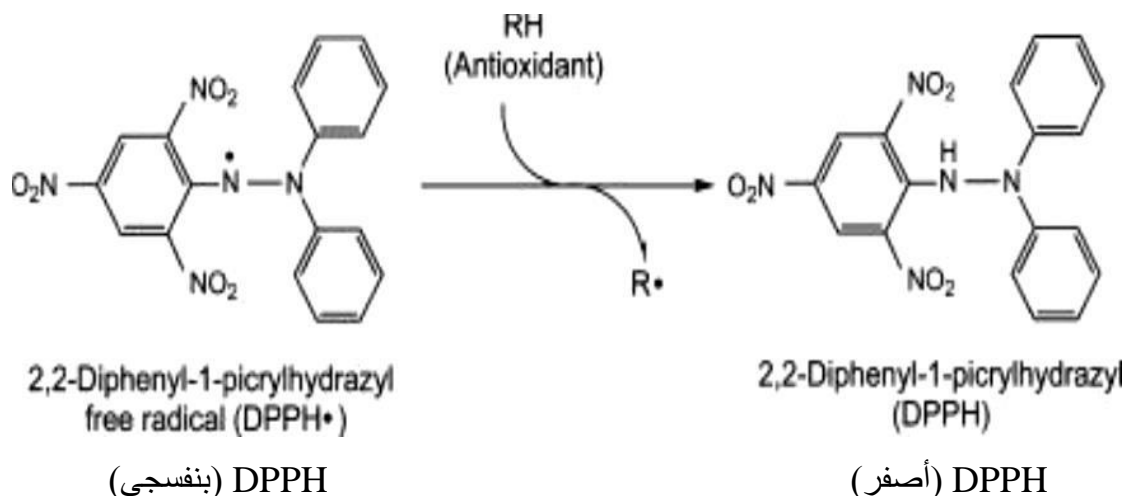
تم الاعتماد في دراستنا على الكاتشين كمركب مرجعي لمنحنى المعايرة، حيث تم تحضير محليل ممددة من الكاتشين في الميثanol ذو التراكيز ما بين ( $\mu g/ml$ ) 500-100، معبراً عن النتائج بال mg مكافئ من الكاتشين لكل g من المستخلص (mg EC/g) وذلك من خلال المعادلة الخطية لمنحنى المعايرة، تم تكرار جميع القياسات 3 مرات.

**5.3.2.2.III تقدير النشاطية المضادة للأكسدة (AAO)**

للغرض تقدير الفعل التثبيطي المضاد للأكسدة لمستخلصات أوراق الزيتون تم إجراء اختبار DPPH لكسح الجذور الحرة الذي يعتبر من أكثر الاختبارات استعمالاً في تقدير التأثير الإزاحي المضاد للأكسدة في المختبر (*in vitro*).

**1.5.3.2.2.III دراسة النشاطية المضادة للأكسدة لاختبار جذر DPPH****• تعريف جذر DPPH •**

ان جذر DPPH (2,2-diphenyl-1-picrylhydrazyl) هو جذر حر ثابت بنفسجي اللون يستعمل في اختبار DPPH وذلك اعتماداً على قابلية إعطاء المستخلصات لذرة الهيدروجين ليتم اختبارها لتصبح جزيء مستقر (Soareet *et al.*, 1997)، ويصاحب ذلك تغير في اللون من البنفسجي إلى الأصفر عند إرجاعه بواسطة المركبات المضادة للأكسدة والتي تقوم بإعطائه بروتون أو إلكترون، مما يؤدي إلى انخفاض الامتصاصية عند طول الموجة 517 نانومتر (Sreelatha et Inbavalli, 2012).



**الشكل III.6.** التركيب الكيميائي لجذر DPPH قبل وبعد التفاعل مع الفينولات (Lewis, 2012)

#### • طريقة العمل

النشاطية المضادة للأكسدة لكسر جذر DPPH للمستخلصات الميثانولية لأوراق الزيتون وفقاً للطريقة التي وصفها Benhammou وآخرون (2009)، يضاف حجم 500 $\mu$ l من تراكيز مختلفة (0.01، 0.05، 0.1، 0.15، 0.2، 0.25، 0.3، 0.35 mg/ml) من كل مستخلص إلى 500 $\mu$ l من محلول ميثانولي DPPH ذو التركيز (0.25 mM) عن طريق مزج 500 $\mu$ l من المستخلصات الميثانولية مع 500 $\mu$ l من محلول ميثانولي من DPPH بنفس التركيز المستخدم. تم اعتماد تكرارين لجميع المستحضرات، ثم ترج العينات وتحفظ في الظلام عند درجة حرارة المخبر لمدة 30 دقيقة، يتم قياس الامتصاصية القراءة الامتصاصية لوسيط التفاعل عند طول الموجة 517 نانومتر باستخدام جهاز قياس الامتصاصية الضوئية Spectrophotomètre. ويستعمل حمض الأسكوربيك (Vit. C) كأساس مرجعي في تثبيط الجذور الحرة، حيث قمنا بتحضير التراكيز التالية (0.01، 0.05، 0.1، 0.15، 0.2، 0.25، 0.3، 0.35، 0.4 mg/ml)، ويتم أيضاً معاملته بنفس الإضافات التي أضيفت للتراكيز المختلفة من المستخلصات وتقيس الامتصاصية عند طول الموجة 517 نانومتر.

يتم حساب نسبة تثبيط الجذور الحرة (%) للتراكيز المختلفة للمستخلصات المدروسة وفقاً للمعادلة التالية:

$$I\% = ((A_0 - A_i) / A_0) * 100$$

$A_0$ : امتصاصية العينة الشاهد.

$A_i$ : امتصاصية العينة المدروسة.

### • تحديد مقدار $IC_{50}$ المثبط لجزر DPPH.

قدر النشاطية المضادة للأكسدة بتحديد معامل  $IC_{50}$  والذي يعرف على أنه تركيز المستخلص اللازم لتنبيط 50% من جزر DPPH والذي يحسب من خلال منحنيات تغير نسبة التنبيط بدالة تركيز المستخلصات (Dziri et al., 2012).

### III.1. الدراسة الإحصائية

تم اعتماد تحليل التباين (ANOVA) مع اعتبار مستوى المعنوية: ( $P > 0.05$ ) التباين غير معنوي، ( $P < 0.05$ ) التباين المعنوي، ( $P < 0.01$ ) تباين عالي المعنوية، ( $P < 0.001$ ) تباين جد عالي المعنوية، بخصوص معالجة المعطيات تم استخدام البرنامج الإحصائي MininTab 17 و ذلك لتحديد نمط التباين بين العينات، كما تم أيضا استعمال برنامج Excel 2007 لرسم مخططات الأعمدة البيانية.

## **الفصل الرابع**

# **النتائج والمناقشة**

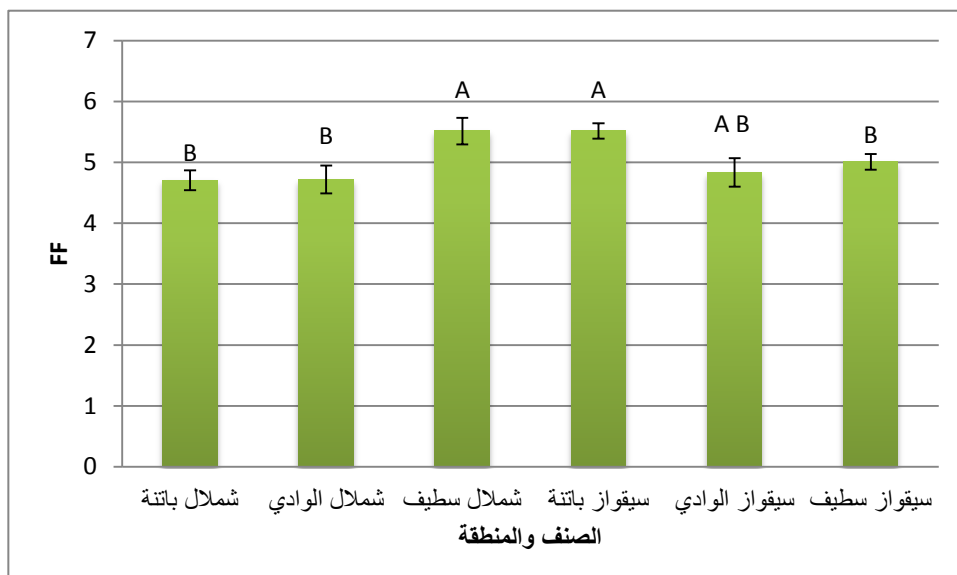
## 1.4. النتائج

### 1.1.4. المعايير المورفوفسيولوجية لأوراق الزيتون

#### 1.1.1.4. مؤشر شكل الورقة FF

يتضح من خلال النتائج المتحصل عليها في التمثيل البياني (الشكل. 1.IV) أن هناك تطابق من حيث مؤشر شكل الورقة بيضاوية متطاولة (COI, 1997) لكل من الصنفين شمال وسيقواز في مختلف المناطق المدروسة (الوادي، سطيف و باتنة) إلا أن هناك اختلاف بسيط في نسبة متوسط الطول تأرجح بين 5.56 cm و 7.43 cm وبين 1.25 cm و 1.47 cm بالنسبة لمتوسط قيم العرض، حيث أظهرت أكبر قيم متوسط مؤشر شكل الورقة لكل من صنف سيقواز باتنة  $5.514 \pm 0.127$  و شمال سطيف  $\pm 5.514 \pm 0.162$  وأقل قيمة متوسط في الصنف شمال لمنطقة باتنة  $4.707 \pm 0.162$

أشارت نتائج تحليل التباين ANOVA أن مؤشر شكل الورقة ذات تباين عالي المعنوية لأوراق صنفي الزيتون شمال وسيقواز في المناطق الوادي، سطيف وباتنة ( $P=0.004$ )

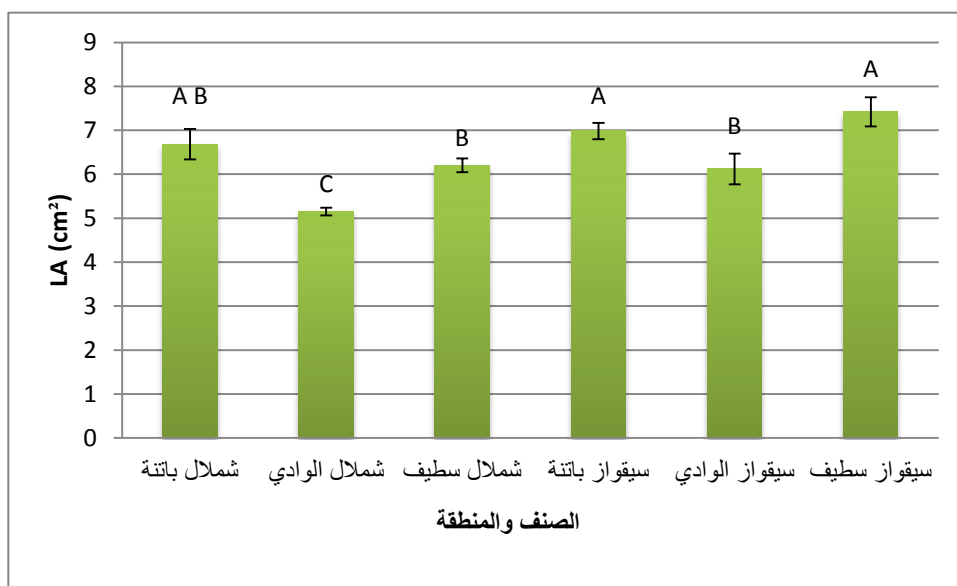


**الشكل 1.IV.** مؤشر شكل الورقة (FF) لأوراق صنفي الزيتون *Olea europaea* L. شمال وسيقواز في مناطق (الوادي، سطيف وباتنة)

**LA (cm<sup>2</sup>). مساحة الورقة 2.1.1.IV**

من خلال النتائج المتحصل عليها في (الشكل. 2.IV) أن صنف سيقواز في منطقة سطيف له أكبر متوسط لمساحة الورقية  $7.40 \text{ cm}^2$  مقارنة بصنف شمال في منطقة الوادي  $5.15 \text{ cm}^2$  الذي سجل أصغر قيمة لمساحة الورقية من بين الصنفين شمال وسيقواز في المناطق (الوادي، سطيف و باتنة).

حسب نتائج تحليل التباين ANOVA فإن التباين غير معنوي ( $P = 0.211$ ) لأوراق صنفي الزيتون شمال وسيقواز في المناطق الوادي، سطيف وباتنة.

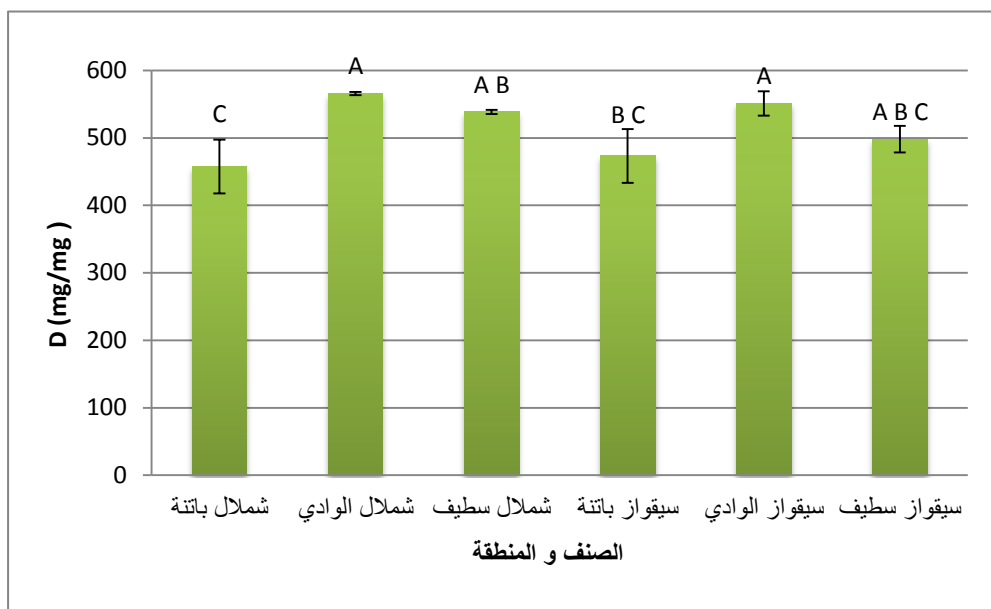


**الشكل 2.IV.** مساحة الورقة LA لأوراق صنفي الزيتون *Olea europaea* L. شمال وسيقواز في مناطق (الوادي، سطيف وباتنة)

**D. كثافة النسيج الورقي 3.1.1.IV**

يتضح من خلال (الشكل .3.IV) أن هناك تقارب في كثافة النسيج الورقي لصنفي شمال و سيقواز في المناطق المدروسة (الوادي، سطيف و باتنة) التي تتراوح بين 457.5 و (mg/mg) 565.63، في حين أن كثافة النسيج لصنف شمال منطقة باتنة (mg/mg) 457.5 أصغر كثافة من بين الصنفين في المناطق الثلاث.

و حسب نتائج تحليل التباين ANOVA تبين أن التباين غير معنوي ( $P = 0.548$ ) ما بين أوراق صنفي الزيتون شمال وسيقواز في المناطق (الوادي، سطيف و باتنة).

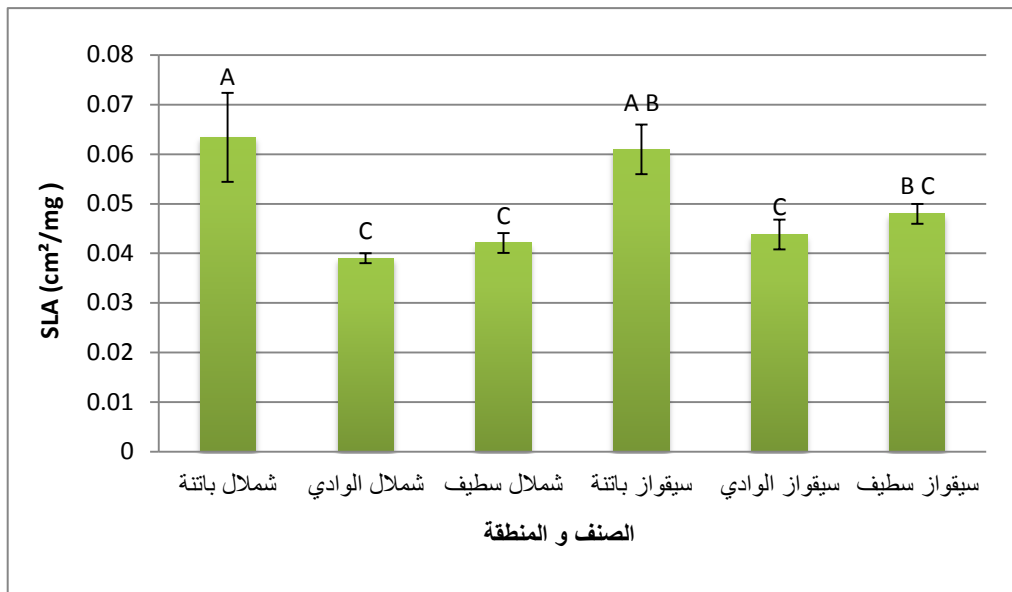


**الشكل 3.IV.** كثافة النسيج الورقي (D) لأوراق صنفي الزيتون *Olea europaea* L. شمال وسيقواز في مناطق (الوادي، سطيف و باتنة)

#### 4.1.1.IV المساحة النوعية للورقة (SLA)

من خلال (الشكل. 4.IV) نلاحظ أن صنف شمال منطقة باتنة سجل أعلى قيمة في متوسط SLA ( $\text{cm}^2/\text{mg}$ ) 0.0634، أما صنف شمال منطقة الوادي فقد سجل أقل قيمة متوسط SLA ( $\text{cm}^2/\text{mg}$ ) 0.039 من بين الصنفين شمال و سيقواز في المناطق المدروسة (الوادي، سطيف و باتنة).

كما أظهرت نتائج ANOVA تباين غير معنوي ( $P = 0.649$ ) ما بين أوراق صنفي الزيتون شمال و سيقواز في المناطق (الوادي، سطيف و باتنة).

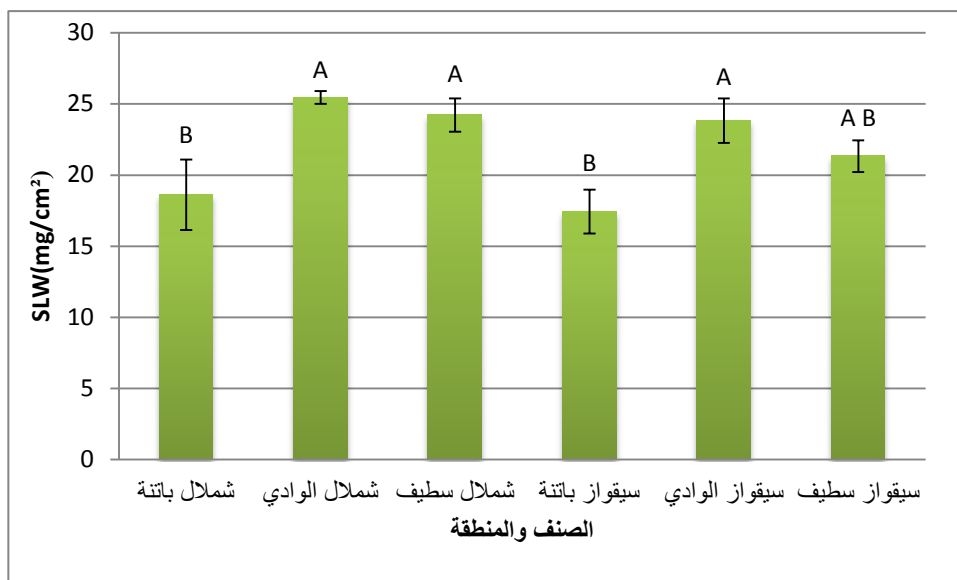


**الشكل 4.IV.** المساحة النوعية للورقة (SLA) لأوراق صنفي الزيتون *Olea europaea* L. شمال و سيقواز في مناطق (الوادي، سطيف و باتنة)

#### 5.1.1.IV الوزن النوعي للورقة (SLW)

نلاحظ من خلال (الشكل. 5.IV) أن صنف شمال منطقة الوادي سجل أعلى قيمة في متوسط SLW  $25.462 \text{ mg/cm}^2$  في حين أن صنف سيقواز منطقة باتنة سجل أقل قيمة في متوسط SLW  $17.44 \text{ mg/cm}^2$ ، مع العلم أن هذا الصنف متقارب مع صنف شمال منطقة باتنة في هذا المعيار.

و حسب نتائج تحليل التباين ANOVA لمعيار SLW نجد أن صنفي أوراق الزيتون شمال و سيقواز لا تختلف فيما بينها اختلافاً معنوياً ( $P = 0.840$ ) في المناطق (الوادي، سطيف و باتنة).



**الشكل 5.** الوزن النوعي للورقة (SLW) لأوراق صنفي الزيتون *Olea europaea* L.

شمال و سيقواز في مناطق (الوادي، سطيف و باتنة)

#### 6.1.1.IV. محتوى الأوراق من صبغات التمثيل الضوئي

##### • محتوى الأوراق من الكلورو菲ل الكلي (Chl (a + b)

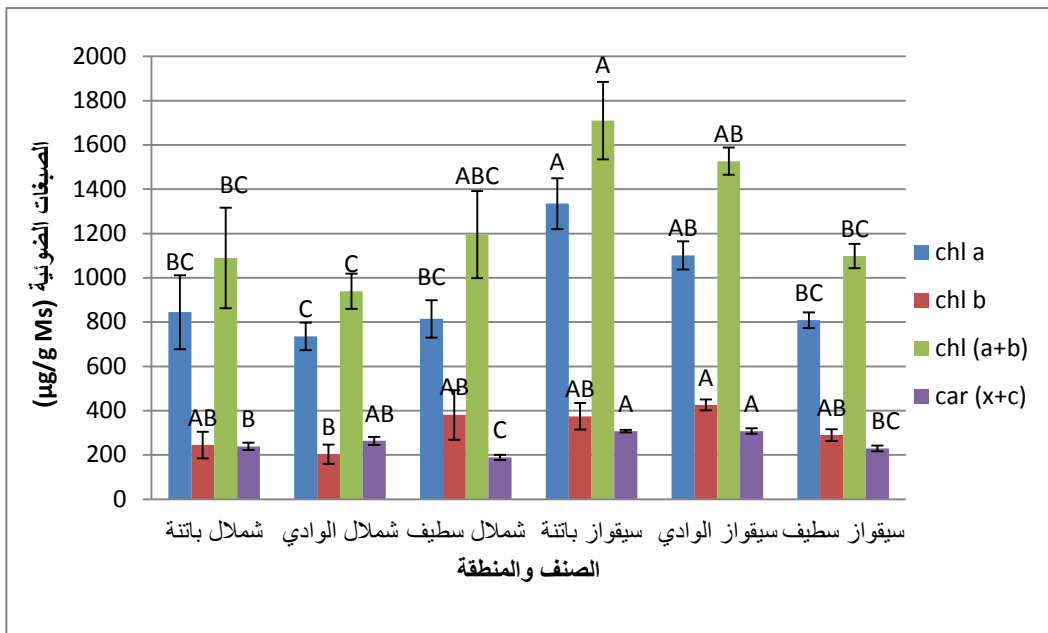
من خلال الأعمدة البيانية (الشكل. 6.IV) نجد أن صنف سيقواز منطقة باتنة سجل أعلى قيمة في كمية الكلورو菲ل الكلي (Chl (a + b)  $1710 \pm 175 \mu\text{g/g MF}$ ) بينما نجد أن صنف شمال منطقة الوادي لديه أقل كمية (Chl (a + b)  $939.5 \pm 79.8 \mu\text{g/g MF}$ ).

من خلال نتائج تحليل التباين ANOVA فإن التباين غير معنوي بين أوراق صنفي الزيتون شمال و سيقواز في كمية الكلورو菲ل الكلي (Chl (a + b) حيث أن قيمة ( $P = 0.093$ ) في مناطق (الوادي، سطيف و باتنة).

##### • محتوى الأوراق من الكاروتينويدات (Car (x + c)

من (الشكل. 6.IV) يتبيّن أن صنف سيقواز منطقة الوادي لديه أعلى قيمة للمحتوى من الكاروتينويدات (Car (x + c)  $307.6 \pm 12.3 \mu\text{g/g MF}$ )، في حين أن صنف شمال منطقة سطيف لديه أقل محتوى من الكاروتينويدات (Car (x + c)  $189.1 \pm 11.4 \mu\text{g/g MF}$ ).

من خلال نتائج تحليل التباين ANOVA فإن التباين ليس معنويا فيما يخص المحتوى من الكاروتينويدات، حيث أن قيمة ( $P = 0.621$ ) بين أوراق صنفي الزيتون شمال وسيقواز في المناطق الوادي، سطيف وباتنة.



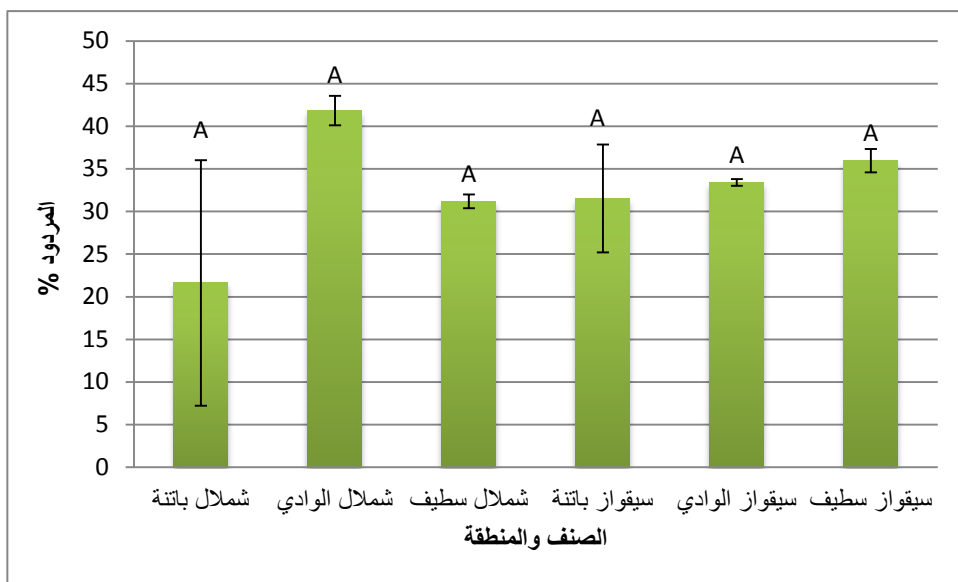
**الشكل IV.6.** محتوى الكلوروفيلات الكلية و الكاروتينويدات لأوراق صنفي الزيتون *Olea europaea* L. شمال وسيقواز في المناطق (الوادي، سطيف و باتنة).

## 2.1.IV. المعايير الفيتوكييمائية لأوراق الزيتون

### 1.2.1.IV. مردود المستخلصات الميثانولية للأوراق

نلاحظ من خلال (الشكل. 7.IV) أن النتائج المتحصل عليها لمردود المستخلصات الميثانولية متقاربة لكل من الصنفين شمال وسيقواز في المناطق (الوادي، سطيف و باتنة)، حيث أن صنف شمال منطقة الوادي سجل أعلى متوسط نسبة المردود 41.83% و صنف شمال منطقة باتنة أقل متوسط نسبة المردود 21.6%.

حسب نتائج تحليل التباين ANOVA (الملحق IV الجدول 1.IV) نجد أن تأثير أوراق صنفي شمال وسيقواز في المناطق الوادي، سطيف و باتنة ليس معنويا ( $P = 0.403$ ) لمعيار مردود مستخلصات الأوراق.



**الشكل 7.IV.** مردود المستخلصات الميثانولية لأوراق صنفي الزيتون *Olea europaea* L. شمال و سيقواز في المناطق (الوادي، سطيف وباتنة)

#### 2.2.1.IV. نتائج اختبارات الكشف الفيتوكييميائي لمستخلصات أوراق الزيتون

من النتائج الموضحة في (الجدول. 1.IV) لوحظ وجود مركبات عديدات الفينول بأكبر كمية في صنفي أوراق الزيتون شمال و سيقواز في المناطق الجغرافية (الوادي، سطيف، باتنة)، تليها كمية معتبرة من Stérols et triterpènes، Saponosides، Flavonoïdes، Terpénoïdes، Quinones libres، Tanins، Composés réducteurs، Alcaloïdes، Anthraquinones و Anthocyanines، Aclaloïdes، Flavonoïde، Tanins و Quinones libres.

#### الجدول 1.IV. نتائج اختبارات الكشف الفيتوكييميائي لأوراق صنفي الزيتون *Olea europaea* L. شمال و سيقواز في مناطق (الوادي، سطيف و باتنة)

سيقواز سطيف	سيقواز الوادي	سيقواز باتنة	شمال سطيف	شمال الوادي	شمال باتنة	
-	-	-	-	-	-	<b>Alcaloïdes</b>
+	+++	+	++	+++	++	<b>Flavonoïde</b>
+	++	+	+	++	+	<b>Tanins</b>
++	++	++	++	+	+	<b>Quinones libres</b>

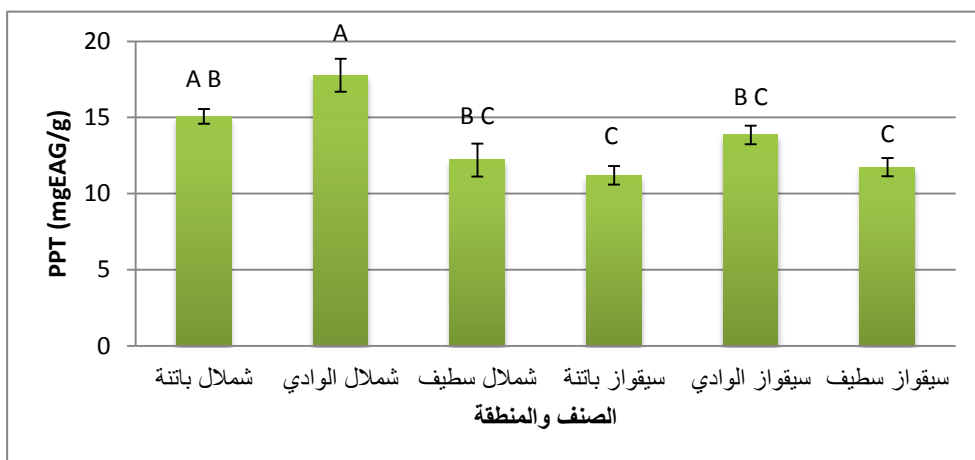
+++	++	++	++	+	++	Stérols et triterpènes
+	+++	+	+++	+	++	Terpénoïdes
+++	+++	++	++	++	+	Saponosides
++	+++	++	++	+++	++	Polyphényles
-	-	-	-	-	-	Composés réducteurs
-	-	-	-	-	-	Anthocyanines
-	-	-	-	-	-	Anthraquinones

تواجد بوفرة (+++), تواجد متوسط (++)، تواجد ضعيف (+)، اختبار سلبي (-)

### 3.2.1.IV PPT المحتوى الإجمالي من عديدات الفينول

كشفت نتائج المحتوى من عديدات الفينولات الكلية PPT في (الشكل. 8.IV) أن مستخلصات صنفي أوراق الزيتون شمال وسيقواز في المناطق (الوادي، سطيف وباتنة) تراوحت بين  $1.09 \pm 17.77$  إلى حيث تم تسجيل أعلى محتوى عند صنف شمال منطقة الوادي ( $\text{mg EAG/g Ms}$ )  $11.200 \pm 0.607$  وأقل محتوى عند صنف سيقواز منطقة باتنة ( $\text{mg EAG/g Ms}$ )  $17.77 \pm 1.09$  ( $\text{mg EAG/g}$   $11.200$ ).

من خلال نتائج تحليل التباين ANOVA لمعيار PPT (الملحق IV الجدول 2.IV) نجد أن تأثير أوراق صنفي الزيتون شمال و سيقواز في المناطق الوادي، سطيف وباتنة كان غير معنوي ( $P = 0.159$ ).

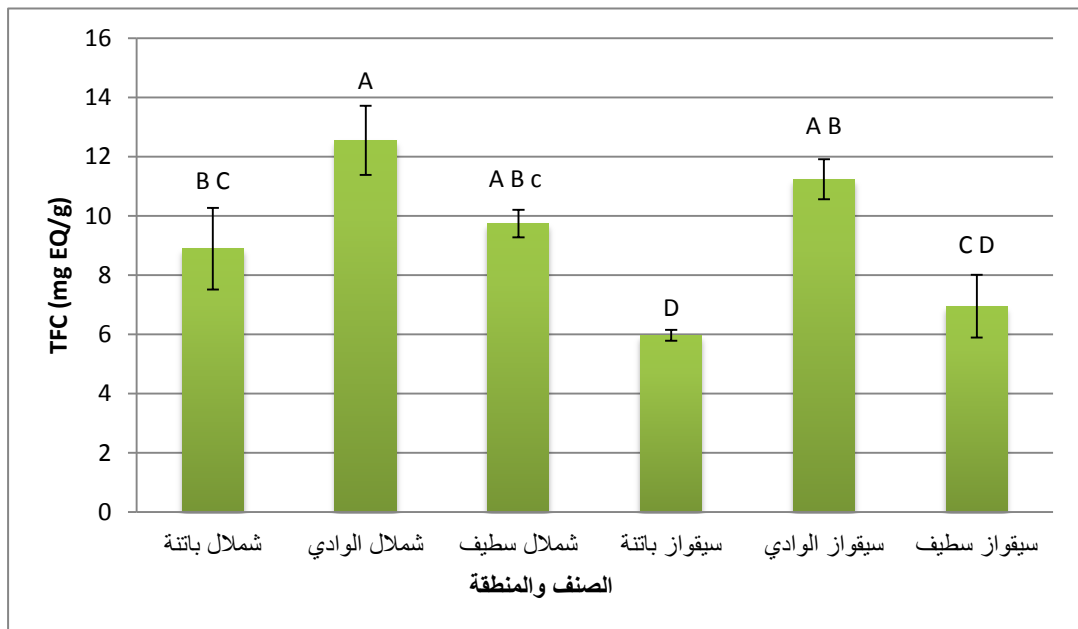


الشكل 8.IV. المحتوى الإجمالي لعديدات الفينول PPT لأوراق صنفي الزيتون *Olea europaea* L. شمال وسيقواز في المناطق (الوادي، سطيف و باتنة)

**TFC. 4.2.1.IV**

من خلال النتائج الموضحة في (الشكل.9.IV) أن متوسط أوراق الصنف شمال منطقة الوادي سجل أعلى قيمة لمحتوى الفلافونويات الكلية (mg EQ/g)  $12.55 \pm 1.17$  TFC بينما الصنف سيقواز منطقة باتنة سجل أقل قيمة (mg EQ/g)  $5.967 \pm 0.184$  مقارنة بالصنفين شمال وسيقواز للمناطق (الوادي، سطيف وباتنة).

حسب تحليل النتائج التباين ANOVA (الملحق IV الجدول 3.IV) نجد أن أوراق صنفي الزيتون شمال وسيقواز في مناطق جغرافية مختلفة (الوادي، سطيف، باتنة) ذات فروقات غير معنوية ( $P = 0.633$ ).

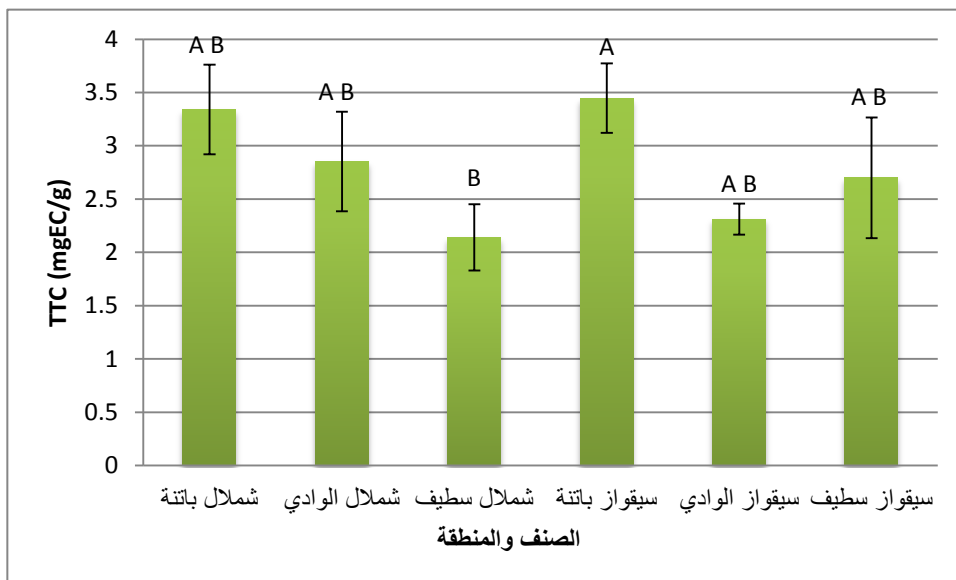


**الشكل 9.IV.** محتوى الفلافونويات الكلية TFC لأوراق صنفي الزيتون *Olea europaea* L. شمال وسيقواز في المناطق (الوادي، سطيف وباتنة)

**TTC. 5.2.1.IV**

من خلال (الشكل. 1.IV) تبين أن المحتوى الإجمالي للثانيين TTC في مستخلصات أوراق الزيتون عند صنف سيقواز منطقة باتنة سجل أعلى قيمة لمحتوى الثانيين (mg EC/g)  $3.477 \pm 0.327$  بينما صنف شمال منطقة سطيف سجل أقل قيمة (mg EC/g)  $2.140 \pm 0.311$  من بين أوراق صنفي الزيتون شمال و سيقواز في مناطق جغرافية مختلفة (الوادي، سطيف، باتنة).

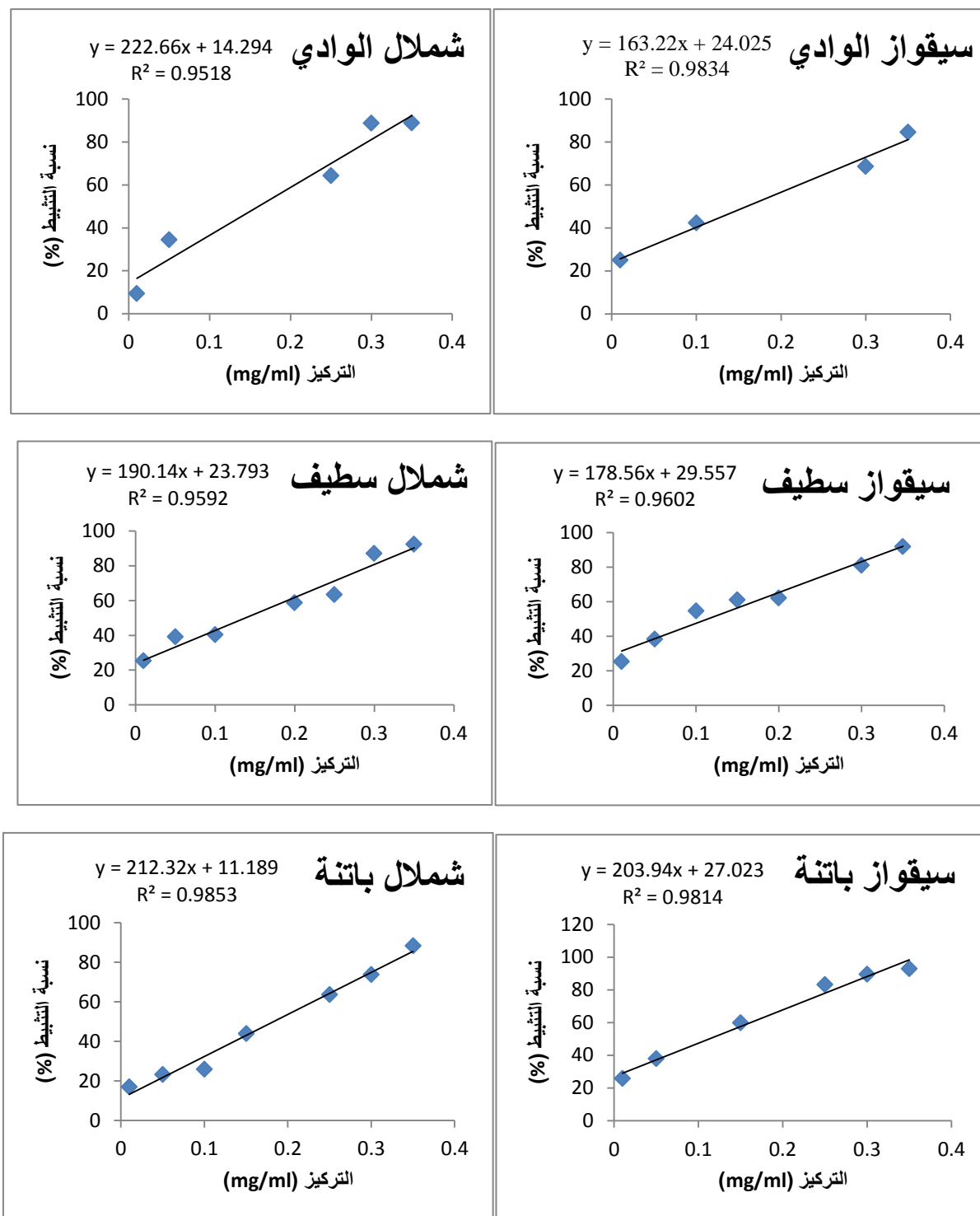
أظهرت نتائج تحليل التباين ANOVA (الملحق IV الجدول 4.IV) أن معيار TTC أن أوراق صنفي الزيتون شمال وسيقواز لا يختلفان اختلافاً معنوياً ( $P = 0.406$ ) في مناطق (الوادي، سطيف وباتنة).



**الشكل 10.IV.** المحتوى الإجمالي للثانيون لأوراق صنفي الزيتون *Olea europaea* L. شمال وسيقواز في المناطق (الوادي، سطيف و باتنة)

#### 6.2.1.IV تقدير النشاطية المضادة للأكسدة مخبرياً (in vitro) • اختبار تثبيط الجذر الحر DPPH<sup>•</sup>

تعتمد طريقة اختبار DPPH على إرجاع مستخلص محلول الميثانولي لـ DPPH في وجود مضادات الأكسدة التي تعطي الهيدروجين أو الإلكترون. يتتحول إلى الشكل المرجع DPPH-H. توضح المنحنيات البيانية أدناه (الشكل 11.IV) التباين في النسبة المئوية للقدرة المثبتة كدالة لتركيز كل مستخلص من أوراق صنفي الزيتون في المناطق الوادي، سطيف، وباتنة.



الشكل 11.IV. تباين في القدرة المتبعة اعتماداً على تركيز مستخلصات الميثانولية لأوراق صنفي الزيتون *Olea europaea* L. شمال و سيقوواز في المناطق (الوادي، سطيف و باتنة)

من خلال قيم  $IC_{50}$  المتبطة لـ 50% من الجذر الحر DPPH و الموضحة في الجدول (2.IV). تبين أن النشاطية المضادة للأكسدة مرتفعة نسبيا عند أوراق صنفي الزيتون شمال وسيقواز في مناطق جغرافية مختلفة من الشرق الجزائري (الوادي، سطيف، باتنة) حيث سجل صنف شمال منطقة الوادي أعلى نشاطية مضادة للأكسدة بأقل قيمة  $IC_{50} (0.032 \pm 0.013)$ ، في المقابل أظهر صنف سيقواز منطقة باتنة أقل نشاط مضاد للأكسدة من بين الصنفين المدروسين في المناطق الوادي، سطيف وباتنة بأعلى قيمة  $IC_{50} (0.172 \pm 0.005)$ .

وبحسب نتائج التحليل ANOVA فان التباين جد عالي المعنوية ( $P=0.001$ ) ما بين أوراق صنفي الزيتون شمال وسيقواز في المناطق الوادي، سطيف وباتنة.

**الجدول 2.IV.** النشاطية المضاد للأكسدة لتثبيط الجذر الحر DPPH للمستخلصات الميثانولية لأوراق صنفي الزيتون شمال وسيقواز للمناطق الوادي، سطيف وباتنة

(mg/ml) $IC_{50}$	المعيار	الأصناف والمناطق
	شمال باتنة	
$0.12850 \pm 0.00837$		شمال الوادي
$0.0325 \pm 0.0130$		شمال سطيف
$0.14850 \pm 0.00664$		سيقواز باتنة
$0.17200 \pm 0.00577$		سيقواز الوادي
$0.13000 \pm 0.00808$		سيقواز سطيف
$0.16200 \pm 0.00173$		

## 2.IV. المناقشة

### 1.2.IV. الخصائص المورفوفسيولوجية لأوراق الزيتون صنفي شمال وسيقواز

وفقاً ل COI (1997) وانطلاقاً من النتائج التي تم الحصول عليها فإن مؤشر شكل الورقة لأوراق صنفي الزيتون شمال وسيقواز في المناطق: الوادي، سطيف وباتنة يكون ضمن مجموعة الأصناف ذات الشكل البيضاوي المتراوّل.

بالنسبة لمساحة الورقة أكدت الكثير من الأبحاث أن الظروف البيئية أثناء النمو لها تأثير ملحوظ على خصائص أوراق الزيتون (Shaheen *et al.*, 2011)، حيث بينت النتائج أن صنف سيقواز منطقة سطيف سجل أعلى قيمة بينما سجل صنف شمال منطقة الوادي أقل قيمة، من بين الخصائص البنوية الشكلية التي تدعم النبات لمقاومة الجفاف عند شجرة الزيتون: إنخفاض مساحة الورقة، وصغر حجم

الخلية والتغيرات في مرونة جدار الخلية (Connor, 2005). يساهم الحجم الصغير لأوراق الزيتون أيضاً في التكيف القوي، على سبيل المثال يعتبر العجز في ضغط بخار الهواء المتغير الرئيسي المؤدي إلى نتح النبات (Tognetti *et al.*, 2009; Diaz-Espejo *et al.*, 2012).

أظهرت النتائج المتحصل عليها وجود تباين بين أوراق صنفي الزيتون شمال و سيقواز في المعايير المورفوفسيولوجية، حيث سجل صنف شمال منطقة الوادي أعلى كثافة للنسيج الورقي كما سجل أعلى قيمة في الوزن النوعي للورقة، في حين أظهر أقل قيمة لمساحة النوعية للورقة، بينما سجل صنف سيقواز منطقة باتنة أعلى محتوى من الكلوروفيلات الكلية في الأوراق.

نتائج معايير التمثيل الضوئي كانت مختلفة حسب الصنفين حيث تميز صنف سيقواز بمحتوى أعلى للكلوروفيلات والكاروتينoids من صنف شمال.

وهذا ما أكد كل من (Ying, 2019) و (Zhong-sheng, 2019) و (Ağagündüz, 2018) فإن محتوى الكلوروفيلات في الأوراق هو عامل مهم في تحديد معدل التركيب الضوئي. كما تُعزى زيادة كفاءة التركيب الضوئي إلى أن الأوراق تحافظ على محتوى أصباغ الكلوروفيل والكاروتينoids واستقرار المعقد البروتيني لأنظمة الضوئية (Murullo-Amador, 2015).

#### IV.2.2. الخصائص الفيتوكيمائية لصنفي أوراق الزيتون شمال و سيقواز

##### IV.2.2.1. مردود المستخلص الميثانولي لأوراق الزيتون

تحديد مردود المستخلص الميثانولي لأوراق الزيتون التي تمت دراستها مكنا من استخلاص المركبات الفينولية حيث تم التعبير عنه ب (النسبة المئوية من المادة النباتية الجافة).

يفسر تباين نسب المردود بين أوراق صنفي الزيتون شمال و سيقواز في المناطق الجغرافية الوادي، سطيف وباتنة باختلاف عمر زراعة أشجار الزيتون، وأيضاً مرتبطة بالخصائص الوراثية لكل صنف (Acila, 2018)، حيث أن نموه في مختلف الظروف المناخية والجغرافية أثر على نسب المردود مع العلم أنه تمت عملية الاستخلاص بنفس المذيب (Madani, 2017).

النتائج التي حصل عليها (Abaza *et al.*, 2011) تؤكد أن الميثانول يعتبر أفضل مذيب تم اختياره لاستخلاص مضادات الأكسدة من أوراق الزيتون المدرسوة.

يمكن أن يرجع اختلاف النتائج إلى عدة عوامل: درجة الحموضة، درجة الحرارة، وقت الاستخراج وبنية العينة. بالإضافة إلى ذلك فإن وقت ومكان الحصاد يؤثران على إنتاجية المردود (Madani, 2017)، وقد أفادت الدراسات أنه يتم الحصول على نسب مردود عالية عادة من الميثانول ومزيجه مع الماء (Santos *et al.*, 2012; Touaibia *et al.*, 2012)، في الواقع يلعب الماء دوراً أساسياً في عملية استخلاص مادة البولييفينول عن طريق زيادة انتشارها في أنسجة النبات.

#### IV.2.2.2. إجمالي محتوى أوراق الزيتون من عديدات الفينول (PPT)

من خلال إجمالي محتويات البولييفينول لشجرة الزيتون، كشف الباحثون أن تركيبة أوراق شجرة الزيتون تختلف من حيث المركبات النشطة بيولوجياً باختلاف الأصل، وطريقة التجفيف، وقتأخذ العينات الورقية من الأشجار، نوع مذيب الاستخلاص وظروف التخزين (Baccouri *et al.*, 2007; Rotondi *et al.*, 2004) تختلف محتويات الفينولات الكلية من حيث النوعية والكمية من نبات إلى آخر، ويمكن أن يعزى ذلك إلى العوامل المناخية والبيئية (Alupului, Miliauskas *et al.*, 2004, 2012).

أظهرت النتائج اختلافات في محتوى عديدات الفينول بين الأصناف والمناطق وهذا ما يفسر تفاوت تركيز المركبات الفينولية في أوراق الزيتون على حسب تنوع أصناف شجرة الزيتون والظروف المناخية، كما يرجع الاختلاف لتأثير طريقة تحضير أوراق الزيتون (التجفيف والطحن) وتقنيات التحليل النوعي والكمي للمركبات الفينولية. تماشياً مع هذه النتائج أظهرت العديد من الدراسات أن التربة لها تأثير أكبر بكثير من العوامل الوراثية بين الأصناف (Romero *et al.*, 2016).

كما توافقت نتائجنا مع نتائج Faten وآخرون (2013) الذي قام بتقدير كمية المستخلص الميثانولي لأوراق الزيتون وأظهرت أن محتوى من الفينولات الكلية للأوراق عند صنف شمال يحتوي على تراكيز أعلى من الأصناف الأخرى، حيث بينت نتائجنا أن صنف شمال سجل أعلى تركيز بولييفينول مقارنة بصنف سيقواز في نفس المنطقة، وبالتالي يبدو أن التباين في محتوى البولييفينول مرتبط بزراعة الزيتون والمنطقة الجغرافية (Baccouri *et al.*, 2007; Rotondi *et al.*, 2004).

للمركبات الفينولية دور مهم في تغذية الإنسان، تعمل كمضادات للأكسدة، مضادة للالتهابات، مضادة للفيروسات والعوامل المضادة للسرطان (Zahao *et al.*, 2005; Kountouri *et al.*, 2007).

### 3.2.2.IV. إجمالي محتوى أوراق الزيتون من الفلافونويات (TFC)

يمكن أن يرجع الاختلاف الملحوظ في المحتوى الفينولي والفلافونويات لمستخلص أوراق الزيتون الذي تم التوصل إليه من خلال الدراسات إلى الطرق المختلفة المطبقة في الاستخراج (تقنية الاستخلاص، طبيعة المذيب ووقت الاستخراج)، وكذلك تأثير أصل العينة.

وقد بيّنت نتائج دراستنا أن صنف شملال منطقة الوادي سجل أعلى قيمة في محتوى الأوراق من الفلافونويات مقارنة بالصنفين شمال وسيقواز في المناطق الأخرى المدروسة، حيث أن المحتويات من عديدات الفينول والفلافونويات التي تم الحصول عليها متناسبة طردياً عند الصنفين المدروسين أي أنه يوجد ارتباط بين هذين المحتويين، على العكس من ذلك أظهرت نتائج Acila (2018) أنه لا يوجد ارتباط بين محتوى أوراق أصناف الزيتون من عديدات الفينول والفلافونويات.

### 4.2.2.IV. إجمالي محتوى أوراق الزيتون من التаниنات (TTC)

تلعب التаниنات عند الأنواع النباتية دوراً رئيسياً في الدفاع ضد العوامل الممرضة (Karen, 2015) كما تساهم في ربط البروتينات (Jones & Palmer, 2000; Karonen et al., 2015) بالإضافة إلى النشاطية المضادة للأكسدة (Moilanen et al., 2016).

أظهرت النتائج المتحصل عليها وجود تباين في المحتوى الإجمالي للتаниنات بين أوراق صنفي الزيتون شملال وسيقواز، كما أن هناك تفاوت في المحتوى من التаниنات بين المناطق الجغرافية الوادي، سطيف و باتنة لكلا الصنفين وهذا ما يتوافق مع نتائج Nadia (2015) لأوراق صنفي الزيتون شملال Maiatica, Leccino, Coratina, Frantoio, Nicola (2015) للأصناف، و سيقواز ونتائج Ogliarola فإن محتوى الأوراق من التаниنات يختلف باختلاف المناطق الجغرافية.

### 5.2.2.IV. النشاطية المضادة للأكسدة

#### • اختبار تثبيط الجذر الحر DPPH

تعتبر مستخلصات أوراق الزيتون مصدرًا مهمًا لمضادات الأكسدة، مثل مركبات الفينول ومركبات الفلافونويد، التي تظهر نشاطًا فعالًا مضادًا للأكسدة (Patricia, 2018)، فقد تتجاوز كمية المركبات الفينولية في أوراق الزيتون 250 ملغم / غرام من المادة الجافة، وهذا فإن فعالية مضادات الأكسدة تعتمد على نشاط كل مستخلص وعلى طبيعة وفاعلية مركباته الفينولية حيث يعتبر الأوليوروبين أهم مركب فينولي في مستخلص أوراق الزيتون (Faizaet al., 2017).

ترتبط قيمة  $IC_{50}$  بالقدرة المضادة للأكسدة للمستخلص ارتباطاً عكسيّاً، حيث تعبّر عن كمية مضادات الأكسدة اللازمة لکسح 50% من الجذور الحرة. كلما انخفض  $IC_{50}$ ، زاد نشاط مضادات الأكسدة للمركب .(Villano et al., 2007)

حسب قيم  $IC_{50}$  المثبتة لـ 50% من الجزر الحر DPPH تبين أن النشاطية المضادة للأكسدة جد عالية عند مستخلصات أوراق صنفي الزيتون شمال وسيقواز المأخوذة من مناطق جغرافية مختلفة في الجزائر (الوادي، سطيف، باتنة) حيث تفوق صنف شمال منطقة الوادي بأعلى نشاطية مضادة للأكسدة مقارنة بشمال وسيقواز في المناطق الثلاث المدروسة و يفسر ذلك بتسجيل أقل لقيمة  $IC_{50}$  ( $0.032 \pm 0.013$  mg/ml)، في المقابل أظهر صنف سيقواز منطقة باتنة أقل نشاط مضاد للأكسدة من بين الصنفين المدروسين في المناطق الوادي، سطيف وباتنة أعلى قيمة لـ  $IC_{50}$  ( $0.172 \pm 0.005$  mg/ml) وهذا ما تؤكده نتائج كل من (Zeitoun, 2017) (Acila, 2018) (Francesca, 2019) وأن اختلاف الأصناف والمناطق يؤدى إلى تباين في النشاطية المضادة للأكسدة.

# **خلاصة عامة**

### خلاصة عامة

بهدف تحديد بعض خصائص التكيف والمحتوى من المواد الفعالة لأوراق صنفي الزيتون *Olea europaea* L. شمال وسيقواز النامية في مناطق جغرافية مختلفة من الشرق الجزائري (الوادي، سطيف، باتنة)، تمت دراسة عدة معايير مورفوفسيولوجية وفيتوكيميائية لأوراق صنفي الزيتون المأخوذة من المناطق محل الدراسة.

أجريت مختلف القياسات والتحاليل على مستوى المخبر 14 لكلية علوم الطبيعة والحياة، بحيث تمت تحديد الخصائص المورفوفسيولوجية: مؤشر شكل الورقة، المساحة الورقية، كثافة النسيج الورقي، المساحة النوعية والوزن النوعي للأوراق و محتوى الكلوروفيلات و الكاروتينويدات، والخصائص الفيتوكيميائية: محتوى الفينولات الكلية، الفلافونويدات، التаниنات و اختبار تثبيط الجذر الحر DPPH<sup>•</sup> لأوراق صنفي الزيتون شمال وسيقواز لثلاث مناطق جغرافية مختلفة: الوادي، سطيف و باتنة.

أظهرت نتائج المعايير المورفوفسيولوجية لأوراق صنفي الزيتون شمال و سيقواز في المناطق الوادي، سطيف وباتنة أن هناك تباين عالي المعنوية ( $P = 0.004$ ) من حيث مؤشر شكل الورقة بيضاوية متطاولة لكل من الصنفين شمال وسيقواز، ووجود فروقات غير معنوية ( $P = 0.211$ ) في المساحة الورقية أين أظهر صنف سيقواز لمنطقة سطيف أكبر متوسط للمساحة الورقية  $7.40 \text{ cm}^2$  بينما صنف شمال لمنطقة الوادي له أصغر قيمة للمساحة الورقية  $5.15 \text{ cm}^2$ ، بالإضافة إلى تباين غير معنوي ( $P = 0.548$ ) في كثافة النسيج الورقي حيث سجل صنف شمال لمنطقة الوادي أعلى كثافة للنسيج الورقي ( $565.63 \text{ mg/mg}$ )، كما أن هناك اختلافاً معنواً ( $P = 0.840$ ) في الوزن النوعي للورقة فسجل صنف شمال منطقة الوادي أعلى قيمة ( $25.462 \text{ mg/cm}^2$ )، بينما أظهرت النتائج تباين غير معنوي ( $P = 0.649$ ) في المساحة النوعية للورقة حيث سجل شمال باتنة أعلى قيمة ( $\text{cm}^2/\text{mg}$ )  $0.0634$ .

أوضحت نتائج معايير التمثيل الضوئي وجود تباين غير معنوي ( $P = 0.093$ ) في محتوى الأوراق من صبغات الكلوروفيلات حيث أظهر صنف سيقواز منطقة باتنة أعلى قيمة في محتوى الكلوروفيل الكلي ( $b$ ) ( $1710 \pm 175 \mu\text{g/g MF}$ )  $\text{Chl (a + b)}$ ، بينما نجد أن صنف شمال منطقة الوادي لديه أدنى قيمة ( $939.5 \pm 79.8 \mu\text{g/g MF}$ )  $\text{Chl(a+b)}$ ، كما سجلت فروقات غير معنوية في المحتوى من الكاروتينويدات، صنف سيقواز منطقة الوادي لديه أعلى قيمة للمحتوى من الكاروتينويدات ( $x$ )

في حين أن صنف شمال منطقة سطيف لديه أقل محتوى (307.6 ± 12.3 µg/g MF) Car (+ c للأوراق من الكاروتينويدات ( 189.1 ± 11.4 µg/g MF) Car (x + c).

أوضحت النتائج المتحصل عليها للمعايير الفينوكيميائية لأوراق صنفي الزيتون شمال وسيقواز في المناطق: الوادي، سطيف وباتنة وجود تباين غير معنوي ( $P = 0.159$ ) في المحتوى من الفينولات الكلية فسجل صنف شمال منطقة الوادي أعلى قيمة للفينولات الكلية  $17.77 \pm 1.09$  mg EAG/g ( )، أيضاً كان محتوى الفلافونويدات الكلية ذات فروقات غير معنوية ( $P = 0.633$ ) حيث أظهر شمال منطقة الوادي أعلى قيمة ( $12.55 \pm 1.17$  mg EQ/g)، بالإضافة إلى أن أوراق صنفي الزيتون شمال وسيقواز لا يختلفان اختلافاً معنوباً ( $P = 0.406$ ) في المحتوى من التаниنات حيث سجل صنف سيقواز منطقة باتنة أعلى قيمة ( $3.477 \pm 0.327$  mg EC/g)، بينما سجل تباين جد عالي المعنوية ( $P = 0.001$ ) في النشاطية الكابحة للجذر الحر DPPH ما بين أوراق صنفي الزيتون شمال و سيقواز في المناطق الوادي، سطيف وباتنة حيث تفوق صنف شمال منطقة الوادي بأعلى نشاطية كابحة للجذر الحر DPPH بأقل قيمة  $IC_{50} 0.0325 \pm 0.0130$  (mg/ml) و سجل صنف سيقواز منطقة باتنة أقل نشاطية كابحة للجذر الحر DPPH بأعلى قيمة  $IC_{50} 0.17200 \pm 0.00577$  (mg/ml).

على ضوء النتائج المتحصل عليها، فإن أوراق صنفي الزيتون شمال وسيقواز للمناطق الوادي، سطيف وباتنة ذات خصائص مرفوسيولوجية هامة تمكناها للتأقلم مع مناطق جغرافية مختلفة، ومن جهة أخرى تعتبر أوراق صنفي الزيتون المدروسة ذات خصائص فينوكيميائية هامة يمكن استغلالها كمصدر حيوي للمواد الفعالة بيولوجيا.

# قائمة المراجع

### المراجع

- **Abaza, L., Ben Youssef, N., Manai, H., Mahjoub Haddada, F., Methenni, K., Zarrouk, M., 2011.** Grasas Aceites, 62 (1): 96-104.
- **ABDESSEMED, S., 2015.** Assessment of genetic diversity among Algerian olive (*Olea europaea*L.) cultivars using SSR marker. Univeristé Hadj Lakhdar Batna, Algeria.
- **ABDESSEMED, S ., 2017.** Contribution à la caractérisation et à l'identification des écotypes d'olivier *Olea europaea*. L dans la région des Aurès. Université de Batna 2.
- **Acila, S., 2018.** Introduction de l'olivier (*Olea europaea* L.) à Oued Souf : Situation actuelle et perspectives de développement, cas de l'exploitation DAOUIA. Thèse DOCTORAT en Sciences Agronomiques, Université Kasdi Merbah – Ouargla, Algérie .
- **Alireza H., 2020.** Olive leaf and its various health-benefitting effects: a review study, Article in Pakistan Journal of Medical and Health Sciences. Iran University of Medical Sciences.
- **Alupului A., 2012.** Microwave extraction of active principles from medicinal plants. U.P.B. Science Bulletin, Series B 74(2).
- **ANGINOT P et ISLER F ., 2003.** L'Olive. Libris: 43.
- **Aouidi, F., 2012.** Etude et Valorisation des Feuilles d'Olivier *Olea Europaea* L. dans l'industrie Agro-Alimentaire. Thèse de doctorat, Institut National des Sciences Appliquées et de Technologie. Université du Carthage, Tunisie, 139 p
- **Baccouri B, Zarrouk W, Krichene D, Nouairi I, Ben Youssef N, Daoud D, Zarrouk M ., 2007.** Influence of fruit ripening and Crop yield on chemical properties of virgin olive oils from seven selected Oleasters (*Olea europaea* L.). J. Agro. 6 (3): 388-396.
- **Baccouri B., Zarrouk W., Krichene D., Nouairi I., Ben Youssef N., Daoud D., Zarrouk M., 2007.** Influence of fruit ripening and Crop yield on chemical properties of virgin olive oils from seven selected Oleasters (*Olea europaea* L.). J. Agro. 6 (3); 388-396. In Rotondi A., Magli M. Ripening of olives var. Correggiolo: Modification of oxydative stability of oils during fruit ripening and oil storage. J. Food Agric. Env. 2, 2004; 193-199.

- **Bacelar, E., Santos, D., Moutinho-Pereira, J., Berta, G., Ferreira, H., Correia, C., 2006.** Immediate responses and adaptative strategies of three olive cultivars under contrasting water availability regimes: Changes on structure and chemical composition of foliage and oxidative damage. Plant Science journal, p 596–605 p.
- **Bahorun, T., 1998.** Substances naturelles actives: la flore mauricienne, une source d'approvisionnement potentielle. Second Annual Meeting of Agricultural Scientists, 83 p.
- **Bassi D., Tura D., Geuna F., Failla O. and Pedo S. , 2002.** Characterization of local olive (*Olea europaea* L.) accessions by oil composition, Morphological and molecular markers methods. ISHS ActaHorticulturae 586 IV International Symposium on OliveGrowing Vol. 2, 20. PP: 57-60.
- **Békro Y.A, Békroj A.M, Bouab.B, Trab F.H. and Ehilé E.E., 2007.** Etude ethnobotanique et Screening phytochimique de *Caesalpinia benthamiana*. (Bai) Herend et Zarucchi (caesalpiniaceae). Rev. Sci. Nat, 4 (2): P 217-225.
- **Belattar, H ., Leila, B ., 2016.** Etude phytochimique de feuilles d'*Olea europaea* L. var Chemlal d'Algérie ,Vol. 1 (1), pp (34-38).
- **Ben Akacha, N., Gargouri, M., (2009).** Enzymatic synthesis of green notes with hydroperoxide-lyase from olive leaves and alcohol-dehydrogenase from yeast in liquid /gas reactor. Process Biochemistry, 44 (10), 1122-1127.
- **BENDI D., Mounsif Ch., 2016.** Influence du Sol, de l'Altitude et de la Variété sur la qualité de quelques huiles d'olives dans l'ouest algérien. P 28.
- **Benhammou, N., Bekkara, F.A., Panovska, T.K., 2009.** Comptes Rendus Chimie, 12 (12): 1259-1266.
- **Boizot, N., Charpentier, J.-P., 2006.** Le Cahier des Techniques de l'INRA, Numéro spécial 2006: Méthodes et outils pour l'observation et l'évaluation des milieux forestiers, prairiaux et aquatiques: Pp. 79-82.
- **BOLMONT R., BUSSLER L., JAUBERT J-P et le chantier BT de l'ICEM., 2015 .** L'Olivier: 3.

- **Boulouha B., 1995.** Contribution à l'amélioration de la productivité et de la régularité de production chez l'olivier (*Olea europaea* L.) « Picholine Marocaine ». *Olvae* n°58. PP: 54-57.
- **Brahmi, F., Mechri, B., Dabbou, S., Dhibi, M., & Hammami, M., 2012.** The efficacy of phenolics compounds with different polarities as antioxidants from olive leaves depending on seasonal variations. *Industrial Crops and Products*, 38(1), 146–152.
- **Breton C, Besnard G, Bervillé A, 2006.** Using multiple types of molecular markers to understand olive phylogeography. In: Zeder MA, DeckerWalters D, Bradley D, Smith B, eds. *Documenting Domestication : new genetic and archaeological paradigms*. Berkeley: University of California Press,
- **Castellano, JM., Delgado Hervás, T., Guinda Garín, MÁ., Gutiérrez-Adánez, P., Rada, M., Santos- Lozano, JM., 2015.** Determination of major bioactive compounds from olive leaf. *Food Science and Technology – Zurich*. 64(1): 431–8.
- **Chevalier , Aug., 1948.** L'origine d'olive cultivé et ses variations (article). *Revue internationale de botanique appliquée et d Agriculture tropicale*. Volume 28/N°303 /pp.1-25.
- **COI., 1997.** Méthodologie pour la caractérisation primaire des variétés d'olivier. Projet RESGEN-CT (67/97), Union Européenne/COI, 10 p.
- **COI., 2007.** Méthodologie pour la caractérisation primaire des variétés d'Olivier. Projet RESGEN-CT (67/97), Union Européenne/COI.
- **Connor, D., Fereres, E., 2005.** *Hortic. Rev*, 31: 155-229.
- **Connor, D.J., 2005.** *Australian Journal of Agricultural Research*, 56 (11): 1181-1189.
- **Courboulex, M., 2016 .** Les oliviers: plantation, Entretien, Espèces.120p.
- **Daoudi L., 1994.** Etude des caractères végétatifs et fructifères de quelques variétés locales et étrangères d'olivier cultivées à la station expérimentale de Sidi-Aich (Bejaia). Thèse de magister .Inst. Nat. Agr. El-Harrach. P132.

- **De Bock M., Thorstensen EB., Derraik JG., HendersonHV., Hofman PL., Cutfield WS., 2013.** Human absorption and metabolism of oleuropein and hydroxytyrosol ingested as olive (*Olea europaea L.*) leaf extract. Mol Nutr Food Res. Nov; 57(11): 2079–85.
- **Diaz-Espejo, A., Buckley, T., Sperry, J.S., Cuevas, M., De Cires, A., Elsayed-Farag, S., Martin-Palomo, M., Muriel, J., Perez-Martin, A., Rodriguez-Dominguez, C., 2012.** Agric. Water Manage., 114: 37-49.
- **Djeridane, A., Yousfi, M., Nadjemi, B., Boutassouna, D., Stocker, P., Vidal, N., 2006.** Food Chem., 97 (4): 654-660.
- **Dziri S., Hassen I., Fatnassi S., Mrabet Y., Casabianca H., Hanchi B., Hosni K., 2012.** Phenolic constituents, antioxidant and antimicrobial activities of rosy (*Allium roseum* var. *odoratissimum*) J. Funct. Food. 4:423–432.
- **Edeoga H.O., Okwu D.E., Mbaebie B.O., 2005.** Phytochemical constituents of some Nigerian medicinal plants. African Journal of Biotechnology. 4: 685-688.
- **Faiza I, Kenza M, Nassira G., 2017.** phenolics compounds of olive and olive leaves identified in the resistance to prays oleae (Bernard); Vol. 17 No. 2, 2017 pp. 1761-1764.
- **Faten, B., Beligh M., Madiha, D., Mohamed, H., 2013.** Variations in phenolic compounds and antiradical scavenging activity of *Olea europaea* leaves and fruits extracts collected in two different seasons. Industrial Crops and Products 49; 256–264.
- **Fathia, B., 2012.** Etude et vilarisation des feuille d'olivier *olea europaea* dans l'industrie agro-Alimentair. Université du Carthage, tunisie .p 9-10.
- **Faurie, C., 2011.** Ecologie - approche scientifique et pratique. Lavoisier 6 édition).450p.
- **Fereshteh, S, M ., José A. T ., Cristina M. R. Rocha., 2020.** Olive Tree Leaves A Source of Valuable Active Compounds CEB Centre of Biological Engineering, University of Minho, Campus of Gualtar, 4710-057 Braga, Portugal.
- **Francesca N, Carmine N, Marzia V, Alessio A, Eliana N, Erika S, Antonio M, Andrea Land Luigi D., 2019.** Evaluation of Phytochemical and Antioxidant Properties of 15 Italian *Olea europaea* L. Cultivar Leaves ;p: 2 of 12.

- **Georgé, S., Brat, P., Alter, P., Amiot, M.J., 2005.** J. Agric. Food Chem., 53 (5): 1370-1373.
- **Ghanbari R., Farooq A., Alkharfy K. M., Gilani A.H. and Saari N., 2012.** Valuable Nutrients and Functional Bioactives in Different Parts of Olive (*Olea europaea L.*) A Review. Int. J. Mol. Sci. Vol. 13, pp 3291-3340.
- **GHARABI, D., 2018.** "Effet du stress salin sur le comportement physiologique et morpho-biochimique de jeunes plants de variétés d'olivier cultivé (*Olea-europea*) locales et introduites non greffés et greffés sur oléastre ". universite djillali liabes de sidi bel abbes.
- **Ghedira K., 2008.** L"olivier, Phytothérapie, 6: 83–89.
- **Gilani, A.H., Khan, A.U., 2010.** Medicinal Value of Combination of Cholinergic and Calcium Antagonist Constituents in Olives. In Olives and Olive Oil in Health and Disease Prevention; Preedy, V.R., Watson, R.R., Eds.; Elsevier: Amsterdam, The Netherlands, pp. 835–843.
- **Girona, J., 2001.** Strategie di deficit controllato nell'olivo. Proceeding of International olive course "Gestione dell'acqua e del territorio per un'olivicoltura sostenibile", Naples, Italy, 138-48.
- **Gomes, S., Martins-Lopes, P et Guedes-Pinto, H., 2012.** Olive Tree Genetic Resources Characterization through Molecular Markers, Genetic Diversity in Plants, Prof. Mahmut Caliskan (Ed.), ISBN: 978-953-51-0185-7, InTech, Available from
- **Hassen, I., Casabianca, H., Hosni, K., 2015.** Biological activities of the natural antioxidant oleuropein: exceeding the expectation – A mini-review. J Funct Foods. 18: 926–40.
- **Hopkins, W. G., 2003.** Physiologie végétale. 1ère Ed. De boeck. Paris, Bruxelles. 53.56p
- **Imen ., 2012.** La ville de Batna, à la recherche d'un schéma de cohérence urbaine Thèse MAGISTERE en Architecture. Université de Biskra Anais.
- **Intervention de Josep RUFAT., 2019.** *ingénieur agronome, spécialiste en irrigation et ferti-irrigation à l'IRTA (Institut de Recherche régional de Catalogne spécialisé dans les productions fruitières et l'élevage)* lors du SITEVI.
- **Jinfu L and Wei H ., 2019.** Response of Photosynthesis and Chlorophyll.

- **Jin-fu Liu and Wei Hong., 2019.** Response of Photosynthesis and Chlorophyll Fluorescence Parameters of *Castanopsis kawakamii* Seedlings to Forest Gaps.
- **Jones R, Palmer B., 2000.** In vitro digestion studies using 14C-labelled.
- **Jourj Hadad, zinat moussa, khristo hilan, ali bassl., 2008.** livre l'olive Agrucultural Developement Project; p 6.
- **Kalla, A., 2012.** Etude et valorisation des principes actifs de quelquesplantes du sud algérien :*Pituranthos scoparius*, *Rantherium adpressum* et *Traganum nudatum*.
- **Karen J. M , Ian R. Wallis, Carsten K , Robert C , Dean N , William J. Foley and Juha-Pekka S ., 2015.** New approaches to tannin analysis of leaves can be used to explain in vitro biological activities associated with herbivore defence.
- **Karonen M., Oraviita M., Mueller-Harvey I., Salminen JP., Green RJ., 2015.** Binding of an oligomeric ellagitannin series to bovine serum albumin (BSA): analysis by isothermal titration calorimetry (ITC). Journal of Agricultural and Food Chemistry 63: 10647–10654.
- **Karumi Y., Onyeyili P.A., Ogugb V.O., 2004.** Identification of active principales of *M. balsamina* (Balsam apple) leaf extract. Journal of Medical Sciences. 4: 179-182.
- **Kattar S. Stéphan N et Youssef S., 2001.** La culture des oliviers. Institut lib.
- **Khaled ., 2014 .** Aménagement et valorisation des boisements urbains et périurbains de la ville de Sétif .Thèse MAGISTERE EN BIOLOGIE. Univ. Ferhat Abbas Sétif1.
- **Khan A.M., Qureshi R.A., Ullah F., Gilani S.A., Nosheen A., Sahreen S., 2011.** Phytochemical analysis of selected medicinal plants of Margalla Hills and surroundings. Journal of Medicinal Plants Research. 5 : 6017-6023.
- **Kountouri, A., A. Mylona, A. Kaliora and N. Andrikopoulos., 2007.** Bioavailability of the phenolic compounds of the fruits (drupes) of *Olea europaea* (olives): Impact on plasma antioxidant status in humans. Phytomedicine, 14(10): 659-667.
- **Lewis, M.J., 2012.** J. Agric. Food Chem., 15: 3-11.

- **Lichtenthaler, H.K., Buschmann, C., 2001.** Chlorophylls and carotenoids: Measurement and characterization by UV- VIS spectroscopy. Current protocols in food analytical chemistry.
- **M. Mendil et A. Sebai., 2006.** Catalogue des variétés algériennes d’olivier Eds.
- **Madani Yousfi M., 2017.** Dosage des polyphénols et recherche d’activité antiradicalaire de feuilles d’olives [thèse]. Tlemcen : Université de Tlemcen; p.28.
- **Majob F., Kamalinejab M., Ghaderi N., VahidipourH.R., 2003.** Phytochemical screening of some species of Iranien plants. Iranian Journal of
- **María, R et José, M ., 2013.** HISTORIA DEL CULTIVO DEL OLIVO Y EL ACEITE .
- **Miliauskas G., Venskutonis PR., Van Beek TA., 2004.** Screening of radical scavenging activity of some medicinal and aromatic plant extracts. Food chemistry ;85 (2): 231-237.
- **Moilanen J., Karonen M., Tahtinen P., Jacquet R., Quideau S., Salminen JP., 2016.** Biological activity of ellagittannins: effects as anti-oxidants, pro-oxidants and metal chelators. Phytochemistry 125: 65–72.
- **Morettini , 1950.** olivicolutra Ramo .ed .degli . agric .Roma .595pp.
- **Muzzalupo, I. Vendramin, G.G. et Chiappetta, A., 2014.** Genetic Biodiversity of Italian Olives (*Olea europaea*) Germplasm Analyzed by SSR Markers. The Scientific World Journal, 12 pages.
- **N. Romero, J. Saavedra, F. Tapia, B. Sepúlveda and R. Aparicio., 2016.** Influence of agroclimatic parameters on phenolic and volatile compounds of Chilean virgin olive oils and characterization based on geographical origin, cultivar and ripening stage, J. Sci. Food Agric. 96, 583–592.
- **Nadia D, Nicola M, Daniela R, Immacolata F, Nunziatina De T, Souad A, Lorella S, Luigi M., 2015.** Phenolic Compounds from *Olea europaea* L. Possess Antioxidant Activity and Inhibit Carbohydrate Metabolizing Enzymes *In Vitro*.
- **Nefzaoui, A., 1991.** Valorisation des sous-produits de l’olivier, 108, 101–108.

- **Nerín, C., 2010.** Antioxidant active food packaging and antioxidant edible films. Oxidation in Foods and Beverages and Antioxidant Applications, 496–515.
- **Nilüfer, Acar-Tek Duygu., 2020.** Olive Leaf (*Olea europaea L. folium*): Potential Effects on Glycemia and Lipidemia, Ağagündüz Department of Nutrition and Dietetics, Faculty of Health Sciences, Gazi University, Ankara, Turkey.
- **Nouri, S., 1994.** Contribution à l'étude des phénomènes de croissance et développement chez l'olivier (*Olea europaea L.*) comportements de différents types de rameaux. Essai de détermination de la période de pollinisation effective. Thèse. Ing. 132P.
- **Nunziatina D., Souad A., Lorella S., LuigiMilella ., 2015.** Phenolic Compounds from *Olea europaea L.* Possess
- **Nunziatina De T., Souad A., Lorella S., LuigiMilella., 2015.** Phenolic Compounds from *Olea europaea L.* Possess Antioxidant Activity and Inhibit Carbohydrate Metabolizing Enzymes In Vitro.
- **Oloyede OI., 2005.** Chemical profile of Unripe Pulp of *Carica papaya*. Pak J Nutr; 4. P379 - 381.
- **ONFAA., 2016 .** Suivi de campagne : huile d'olive. Note de conjoncture N° 02. Alger.
- **Ouksili, A., 1983.** Contribution à l'étude de la biologie florale de l'olivier (*Olea europaea L.*). De la formation des fleurs à la période de pollinisation effective. Thèse Doct. Ing. E.N.S.A.M. Montpellier. 143 p.
- **PAGNOL J., 1975.** L'olivier. Ed. Edition Aubanel. p. 70.
- **Patricia Goldschmidt Lins, Silvana Marina, Piccoli Pugine, Antonio Marcio Scatolini, Mariza Pires de Melo., 2018.** In vitro antioxidant activity of olive leaf extract (*Olea europaea L.*) and its protective effect on oxidative damage in human erythrocytes; Department of Basic Science, Faculty of Animal Science and Food Engineering (FZEA), University of São Paulo, Pirassununga, SP, Brazil. Pharmaceutical Research. 77-82.
- **Poli, M., 1986.** L'alternance de la production de l'olivier . *Olivae* n°10. P :11-13.
- **Prat, R., 2007.** Expérimentation en biologie et physiologie végétales. Éditions quae. 296 p.

- Prithviraj, K., 2019. BIOLOGICAL ACTIVITIES OF FLAVONOIDS: AN OVERVIEW, Bankura Christian College, IJPSR ,Vol. 10(4): 1567-1574.
- Programme National De Transfert De Technologie En Agriculture (PNTTA)., 2003. L'amandier, l'olivier, le figuier et le grenadier. Rabat: Institut agronomique et vétérinaire. P 4.
- Qiufeng W, Ximin Z and Xiuqin Wu., 2018. Factors Influencing Leaf Chlorophyll Content in Natural Forests at the Biome Scale.
- ROMBI M., ROBERT D., GUEDON D., ROSIER-SALA C et RENZACCI E ., 2015. Le dictionnaire des plantes medicinales. Composition/Mode d'action. Editions Alpen: 517-519-520 et 521.
- Rotondi A, Magli M., 2004. Ripening of olives var. Correggiolo: Modification of oxydative stability of oils during fruit ripening and oil storage. J. Food Agric 2 :193-199.
- Salah, MB., Hafedh, A., Manef, A., 2017Anti-diabetic activity and oxidative stress improvement of Tunisian Gerboui olive leaves extract on alloxan induced diabetic rats. J Mater. 8: 1359–64.
- Sánchez-Á, N., Priego C , F., Ruiz-J, J., Luquede C ., 2009. Fast and selective determination of triterpenic compounds in olive leaves by liquid chromatography–tandem mass spectrometry with multiple reactions monitoring after microwave-assisted extraction. Talanta, 78, 40-48.
- Santos R D., Shetty K., Lourenco A., Miglioranza L., 2012. Phenoliccoumpond and total antioxidant activity determinition in rosemary and oreganoextract. doi: 10.5433/1679-0359. 2012 v33 n2 p 655.
- Sanz, L. C., Fernandez, J. C., Mez, D., Blancavioque and Oliast, J. M., 1993. Effect of methyl jasmonate on ethyléne biosynthesis and stomatal closure in olive leaves. phytochimistry, volume.33, n° 2, pp. 285-28.
- SCHMIDELY P., MOUROT J., CHILLIARD Y., BAUCHART D., LESSIRE M., 2008. Qualité des produits : modulation par l'alimentation des animaux de la composition en acides gras du lait et de la viande. INRA Prod. Anim., 21, 95-106.

- **SCHOFIELD P., MBUGUA D.M. et PELL A.N., 2001.** Analyses of condensed tannins. Anim. Feed Sci. Technol. 91 : 21-4.
- **Sebai A., 2007.** Physiologie de l'olivier et ses besoins. ITAFV, Juillet 2007.
- **Shaheen, M.A., Hegazi, A.A., Hmmam, I.S., 2011.** American-Eurasian Journal of Agricultural and Environmental sciences, 11 (5): 663-670.
- **Soare, J.R., Dinis, T.C., Cunha, A.P., Almeida, L., 1997.** Free Radical Res., 26 (5): 469-478.
- **SomovaL.I., ShodeF.O .,Ramnanan P ., Nadar, A., 2003.** Antihypertensive, antiatherosclerotic and antioxidant activity of triterpenoids isolated from Olea europaea, subspecies africana leaves. Journal of Ethnopharmacology, 84(2-3), 299-305.
- **Sreelatha S., and Inbavalli R., 2012.** Antioxidant, Antihyperglycemic, and Antihyperlipidemic Effects of *Coriandrum sativum* Leaf and Stem in Alloxan-Induced Diabetic Rats.
- **Steudle, E., 2002.** Transport of water in plants, Environnement control in biology, vol 40, n° 1. P: 29-37.
- **Suty, L., 2014.** Les végétaux évolutifs. Développement et Reproduction. Édition quae. 64p.
- **Tadashi, U., 2006.** Antiaging food compositions containing collagen, and their manufacture. Patent written in Japanese. Application: JP 2006191845 A 20060727, 7 pp.
- **Tammah Adbelkader., 2007.** Suivi sanitaire des plants de pomme de terre sous pulvérisation axiale, cas de la région de l'Oued Souf, brevet d'ingénieur, ITAS, Université Kasdi Merbah, Ouargla, .
- **Thomas, D., Anemone, T., Marianne, WL., Armin, W., 2006.** Cosmetic and dermatological composition for the treatment of aging or photodamaged skin. Patent written in German. EP 2005- 20052 20050915, 40 pp.
- **TLILI, M ., 2015.** Contribution à la caractérisation physico-chimique et biologique des extraits de *Pergularia tomentosa* issue de quatre sites sahariens différents (Sahara septentrional). Thèse MAGISTÈRE EN BIOLOGIE. Univ. KASDI MERBAH Ouargla.

- **Tognetti, R., Giovannelli, A., Lavini, A., Morelli, G., Fragnito, F., d'Andria, R., 2009.** Agricultural and Forest Meteorology, 149 (8): 1229-1243.
- **Tognetti, R., Giovannelli, A., Lavini, A., Morelli, G., Fragnito, F., d'Andria, R., 2009.** Agricultural and Forest Meteorology, 149 (8): 1229-1243.
- **Touaibia M, & Chaouch FZ., 2014.** Evaluation de l'activité anti-oxydante des extraits aqueux, méthanolique et éthanolique de l'espèce saharo-endémique *Myrtusnivellei*Batt et Trab.(Myrtaceae) [Evaluation of the antioxidant activity of aqueous, methanolic and ethanolic extracts of the Sahara-endemic species *Myrtusnivellei*Batt and Trab. (Myrtaceae)]. International Journal of Innovation and Applied Studies.6 (3): 407.
- **Villano, D., Fernández-Pachón, M., Moyá, M., Troncoso, A., García-Parrilla, M., 2007.** Talanta, 71 (1): 230-235.
- **Villemeur ,P et Dosba, F., 1997.** Oléiculture. Evaluation variétale et aquision de la maîtrise des pratiques culturales. OCL.Vol 4 n°5. Septembre/Octobre. PP: 351 – 355.
- **Visioli F., Galli C., 2002.** Biological properties of olive oil phytochemicals. Crit Rev Food Sci Nutr. 42,p; 209-210.
- **Vogel , P., Juliano, K., Valdeni ,G., Daiana, S., Simone , M., 2015.** Polyphenols benefits of olive leaf (*Olea europaea* L) to human health; Nutr Hosp.;31(3):1427-1433Departament of Nutrition. 3Universidade do Vale do Rio dos Sinos - UNISINOS. Brazil Aperçus sur le patrimoine génétique Autochtne. p7-11.
- **Xiloyannis, C., Nuzzo, V., Dichio, B. Celano, G., 1996.** Esigenze idriche nutrizionali dell'actinidia Atti del convegno nazidinal " Cultura dell'actinidia . Ghedira K, L'olivier, Phytothérapie 2008, 6: 83–89.
- **Yáñez Ruiz, D. R., Martín García, A. I., Moumen, A., Molina Alcaide, E., 2004.** Ruminal fermentation and degradation patterns, protozoa population and urinary purine derivatives excretion in goats and wethers fed diets based on olive leaves. J Anim Sci., 82, 3006-3014.
- **Ying Li , Nianpeng He, Jihua Hou1, Li Xu, Congcong Liu, Jiahui Zhang, Qiufeng Wang, Ximin Zhang and Xiuqin Wu., 2018.** Factors Influencing Leaf Chlorophyll Content in Natural Forests at the Biome Scale.

- Youcef Halis., 2007. L'Encyclopédie botanique de la région d'Eloued, Ph.D. Production d'impression Al-Walid, Al-Wadi.252 p.
- ZeitounM.A.M, Hanem M.M. Mansour, Sameh Ezzat and S.A. El Sohaimy., 2017. Effect of Pretreatment of Olive Leaves on Phenolic Content and Antioxidant Activity ; 1Department of Food Science, Faculty of Agriculture, Saba Basha, Alexandria University, Egypt , p: 132-139.
- Zhao, C., G. Dodin, C. Yuan, H. Chen, R. Zheng, Z. Jia and B.T. Fan., 2005. "In vitro" protection of DNA from fenton reaction by plant.
- Zhishen, J., Mengcheng, T., Jianming, W., 1999. Food Chem., 64 (4): 555-559.
- Zhong-sheng He, Rong Tang, Meng-jia Li, Meng-ran Jin, Cong Xin, Jin-fu Liu and Wei Hong., 2019. Response of Photosynthesis and Chlorophyll Fluorescence Parameters of Castanopsis kawakamii Seedlings to Forest Gaps.

موقع الانترنت:

- FAOSTAT, 2013. Site web : <http://faostat.fao.org/>
- <http://www.NFM-DZ.com> (nouvelle forêt du maghreb).
- Google Earth Pro.Ink,2021 ,Nom de la page d'accueil: Google Earth  
<https://www.earth.google.com/>

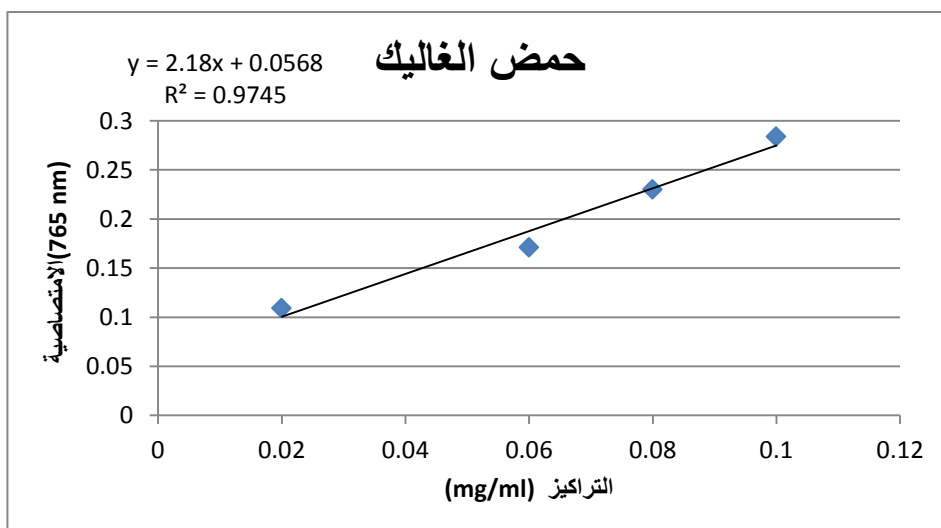
# **الملاحق**

## الملحق I.

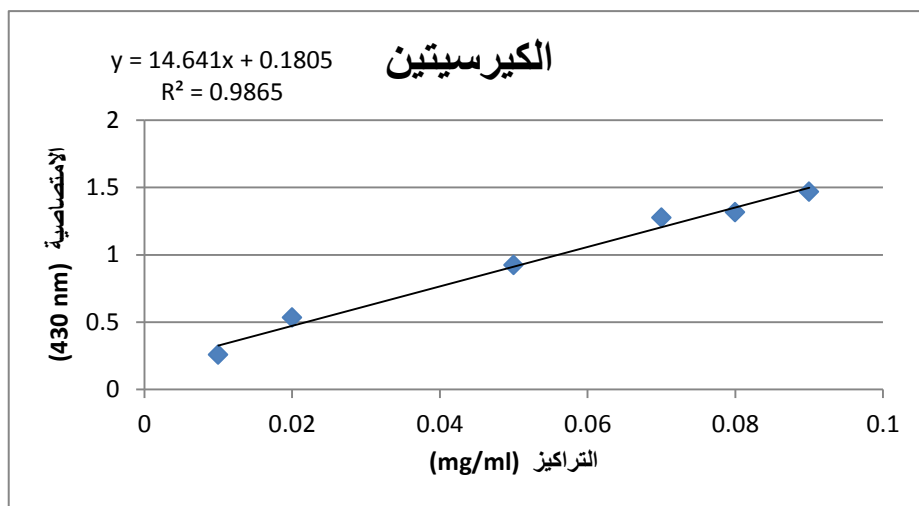
**الجدول I.1.** المعايير الضوئية لأوراق صنفي الزيتون *Olea europaea* L. شمال وسيقواز في المناطق الجغرافية: الوادي، سطيف وباتنة

Car (x + c) ( $\mu\text{g/g MF}$ )	Chl (a + b) ( $\mu\text{g/g MF}$ )	Chl b ( $\mu\text{g/g MF}$ )	Chl a ( $\mu\text{g/g MF}$ )	المعايير الأصناف والمناطق
238.2 $\pm$ 16.6	1090 $\pm$ 227	245.0 $\pm$ 60.1	845 $\pm$ 167	شمال باتنة
263.7 $\pm$ 18.0	939.5 $\pm$ 79.8	203.8 $\pm$ 43.5	735.7 $\pm$ 62.0	شمال الوادي
189.1 $\pm$ 11.4	1195 $\pm$ 196	814.4 $\pm$ 85.0	814.4 $\pm$ 85.0	شمال سطيف
307.21 $\pm$ 5.39	1710 $\pm$ 175	1335 $\pm$ 115	1335 $\pm$ 115	سيقواز باتنة
307.6 $\pm$ 12.3	1526.5 $\pm$ 61.2	1100.8 $\pm$ 63.9	1100.8 $\pm$ 63.9	سيقواز الوادي
229.8 $\pm$ 13.1	1098.4 $\pm$ 55.0	808.5 $\pm$ 35.8	808.5 $\pm$ 35.8	سيقواز سطيف

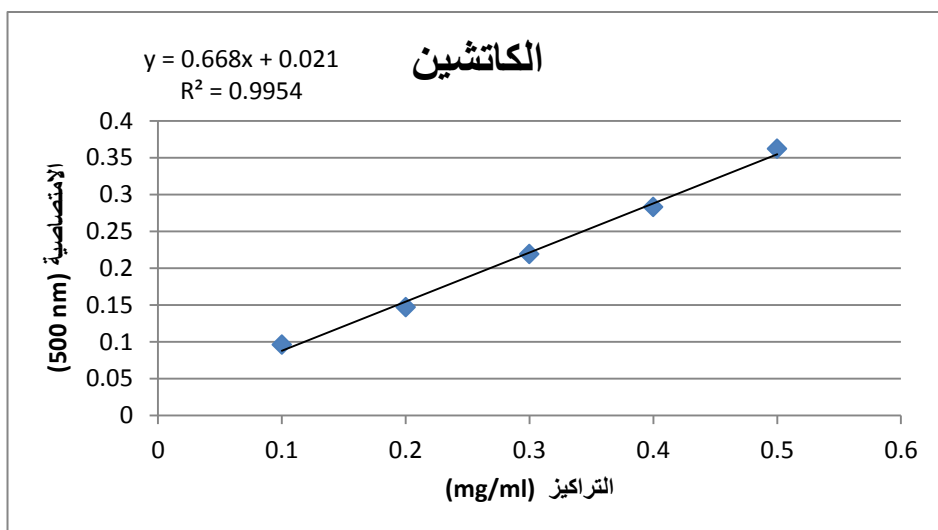
**الملحق II.** المنحنيات القياسية للمعايير الفيتو كيميائية



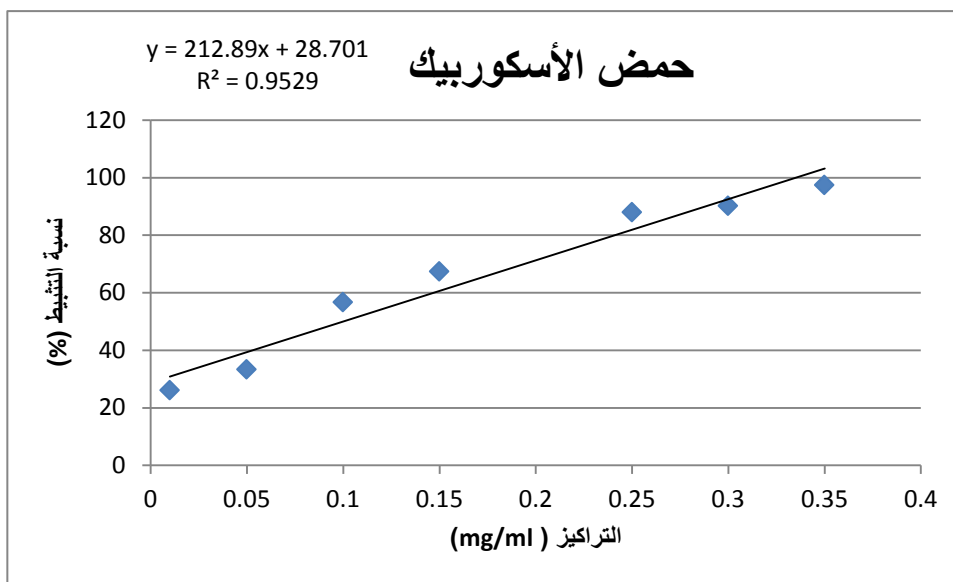
**الشكل I.II.** المنحنى القياسي لحمض الغاليك البولي فينول الكلي



الشكل II. المنحنى القياسي للكيرسيتين الفلافونويدات الكلية



الشكل III. المنحنى القياسي للكاتشين التаниنات الكلية



الشكل 4.II. المنحنى القياسي لحمض الأسكوربيك

### الملحق III. جداول تحليل التباين ANOVA للمعايير المورفسيولوجية

الجدول 1.III. تحليل التباين ANOVA لمؤشر شكل الورقة FF لأوراق صنفي الزيتون *Olea europaea L.* شمال وسيقواز في مناطق الوادي، سطيف وباتنة

Source	DF	Adj SS	Adj MS	F-Value	P-Value
Var.	1	0,2845	0,2845	0,80	0,376
Rég.	2	2,4522	1,2261	3,43	0,039
Var.*Rég.	2	4,3166	2,1583	6,05	0,004
Error	54	19,2772	0,3570		
Total	59	26,3304			

**الجدول 2.III.** تحليل التباين ANOVA للمساحة الورقية LA لأوراق صنفي الزيتون *Olea europaea* L. شمال وسيقواز في مناطق الوادي، سطيف وباتنة

Source	DF	Adj SS	Adj MS	F-Value	P-Value
Var.	1	10,302	10,3022	14,86	0,000
Rég.	2	18,772	9,3860	13,54	0,000
Var.*Rég.	2	2,222	1,1109	1,60	0,211
Error	54	37,434	0,6932		
Total	59	68,730			

**الجدول 3.III.** تحليل التباين ANOVA كثافة النسيج الورقي D لأوراق صنفي الزيتون *Olea europaea* L. شمال وسيقواز في مناطق الوادي، سطيف وباتنة

Source	DF	Adj SS	Adj MS	F-Value	P-Value
Var.	1	2561	2561	0,39	0,534
Rég.	2	87026	43513	6,67	0,003
Var.*Rég.	2	7931	3966	0,61	0,548
Error	54	352402	6526		
Total	59	449920			

**الجدول 4.III.** تحليل التباين ANOVA المساحة النوعية للورقة SLA لأوراق صنفي الزيتون *Olea europaea* L. شمال وسيقواز في مناطق الوادي، سطيف وباتنة

Source	DF	Adj SS	Adj MS	F-Value	P-Value
Var.	1	0,000108	0,000108	0,48	0,491
Rég.	2	0,005032	0,002516	11,27	0,000
Var.*Rég.	2	0,000195	0,000097	0,44	0,649
Error	54	0,012058	0,000223		
Total	59	0,017392			

## الملحق

**الجدول 5.III.** تحليل التباين ANOVA الوزن النوعي للورقة SLW لأوراق صنفي الزيتون *Olea europaea* L. شمال وسيقواز في مناطق الوادي، سطيف وباتنة

Source	DF	Adj SS	Adj MS	F-Value	P-Value
Var.	1	54,47	54,466	2,37	0,130
Rég.	2	465,63	232,817	10,13	0,000
Var.*Rég.	2	8,05	4,025	0,18	0,840
Error	54	1241,30	22,987		
Total	59	1769,45			

**الملحق IV.** جداول تحليل التباين ANOVA للمعايير الفيتو كيميائية  
**الجدول 1.IV.** تحليل التباين ANOVA مردود المستخلصات الميثانولية لأوراق صنفي الزيتون *Olea europaea* L. شمال وسيقواز في المناطق الوادي، سطيف، وباتنة

Source	DF	Adj SS	Adj MS	F-Value	P-Value
Var	1	13,23	13,23	0,16	0,706
Reg	2	250,81	125,40	1,48	0,300
Var*Reg	2	179,55	89,78	1,06	0,403
Error	6	507,50	84,58		
Total	11	951,10			

**الجدول 2.IV.** تحليل التباين ANOVA لعديدات الفينول لأوراق صنفي الزيتون *Olea europaea* L. شمال وسيقواز في المناطق الوادي، سطيف وباتنة

Source	DF	Adj SS	Adj MS	F-Value	P-Value
var	1	34,11	34,114	12,47	0,004
region	2	46,46	23,230	8,49	0,005
var*region	2	11,77	5,884	2,15	0,159
Error	12	32,84	2,737		
Total	17	125,18			

**الجدول 3.IV.** تحليل التباين ANOVA الفلاغفونويدات الكلية لأوراق صنفي الزيتون *Olea europaea* L. شمال وسيقواز في المناطق الوادي، سطيف وباتنة

Source	DF	Adj SS	Adj MS	F-Value	P-Value
var	1	24,547	24,547	9,62	0,009
reg	2	67,074	33,537	13,14	0,001
var*reg	2	2,426	1,213	0,48	0,633
Error	12	30,617	2,551		
Total	17	124,664			

**الجدول 4.IV.** تحليل التباين ANOVA التانينات لأوراق صنفي الزيتون *Olea europaea* L. شمال وسيقواز في المناطق الوادي، سطيف وباتنة

Source	DF	Adj SS	Adj MS	F-Value	P-Value
var	1	0,00802	0,00802	0,02	0,898
region	2	3,26031	1,63016	3,46	0,065
var*region	2	0,91684	0,45842	0,97	0,406
Error	12	5,65680	0,47140		
Total	17	9,84198			

**الجدول 5.IV.** تحليل التباين ANOVA لقيم IC<sub>50</sub> المتبطة لجذر DPPH لأوراق صنفي الزيتون *Olea europaea* L. شمال وسيقواز في المناطق الوادي، سطيف وباتنة

Source	DF	Adj SS	Adj MS	F-Value	P-Value
Var.	1	0,011935	0,011935	62,07	0,000
Reg.	2	0,020524	0,010262	53,37	0,000
Var.*Reg.	2	0,005436	0,002718	14,13	0,001
Error	12	0,002307	0,000192		
Total	17	0,040203			

مَوْلَانَاهُ مُحَمَّدُ رَحْمَةُ اللَّهِ عَلَيْهِ